

# GM 71565

Rapport de prospection 2019 sur la propriété Opinaca

Documents complémentaires

*Additional Files*



Licence



*Licence*

Cette première page a été ajoutée  
au document et ne fait pas partie du  
rapport tel que soumis par les auteurs.

Énergie et Ressources  
naturelles

Québec 

# RAPPORT DE PROSPECTION, 2019

SUR LA  
**PROPRIÉTÉ OPINACA**

(SNRC: 33C6 et 33C11)

Préparé pour  
**CORPORATION MÉTAUX PRÉCIEUX DU QUÉBEC**

1080, Côte du Beaver Hall  
Montréal, QC H2Z 1S8

Préparé par  
Jean-Sébastien Lavallée, P. Géologue  
Benoit Martin-Tanguay, Géologue stg.  
Val-d'Or (Québec)



Consul-Teck Exploration Minière inc.  
1576, chemin Sullivan, Val-d'Or, QC J9P 1M3  
[jslavallee@consul-teck.com](mailto:jslavallee@consul-teck.com)

**25 janvier, 2020**

# TABLE DES MATIÈRES

<b>1. SOMMAIRE</b> .....	<b>4</b>
<b>2. INTRODUCTION</b> .....	<b>5</b>
<b>3. PROPRIÉTÉ OPINACA, LOCALISATION ET INFORMATION GÉNÉRALE</b> .....	<b>5</b>
3.1. LOCALISATION ET ACCÈS .....	5
3.2. TITRES MINIERS .....	5
3.3. GÉOGRAPHIE ET GÉOMORPHOLOGIE .....	6
<b>4. CONTEXTE GÉOLOGIQUE</b> .....	<b>9</b>
4.1. FORMATION DE BERNOU (OGW) .....	9
4.2. FORMATION DE PILIPAS (OGW) .....	9
4.3. BATHOLITE DE DUXBURY (OGW ET OGL-1) .....	10
4.4. FORMATION DE KAUPUTAUCH (OGL-1).....	10
4.5. FORMATION DE KOMO (OGL-2) .....	10
4.6. BATHOLITE DE KASAPAWATISH (OGL-2) .....	10
4.7. PLUTON DE KAWACHUSI (OGL-2).....	10
4.8. FORMATION DE WABAMISKE (OGL-2).....	11
4.9. STRUCTURES.....	11
4.10. MÉTAMORPHISME.....	12
<b>5. CONTEXTE MÉTALLOGÉNIQUE</b> .....	<b>13</b>
5.1. SULFURE MASSIF VOLCANOGÈNE.....	13
5.2. OR-OROGÉNIQUE .....	13
5.3. FORMATION DE FER.....	14
<b>6. TRAVAUX HISTORIQUES</b> .....	<b>15</b>
6.1. OPINACA GOLD WEST .....	15
6.2. OPINACA GOLD LITHIUM-1 .....	15
6.3. OPINACA GOLD LITHIUM - 2 .....	15
<b>7. TRAVAUX RÉCENTS (2019)</b> .....	<b>16</b>
7.1. RÉSULTATS OPINACA GOLD WEST .....	16
7.2. RÉSULTATS OPINACA GOLD LITHIUM-1 .....	17
7.3. RÉSULTATS OPINACA GOLD LITHIUM-2.....	18
7.4. PRÉPARATION DES ÉCHANTILLONS .....	19
7.5. PROTOCOLE D'ANALYSE.....	20

<b>8. RÉSULTAT ET RECOMMANDATION</b> .....	<b>21</b>
<b>9. RÉFÉRENCES</b> .....	<b>22</b>

## LISTE DES FIGURES

---

FIGURE 1: LOCALISATION GÉNÉRALE DE LA PROPRIÉTÉ OPINACA .....	7
FIGURE 2 : CARTE DE LOCALISATION RÉGIONALE DE LA PROPRIÉTÉ OPINACA GOLD WEST ET OPINACA GOLD LITHIUM .....	8
FIGURE 3 : LOCALISATION DES PROPRIÉTÉS SUR FOND GÉOLOGIQUE RÉGIONAL.....	12
FIGURE 4 : INTERPRÉTATION GÉOLOGIQUE SUR LA PROPRIÉTÉ OPINACA GOLD WEST .....	17
FIGURE 5 : INTERPRÉTATION GÉOLOGIQUE SUR LA PROPRIÉTÉ OPINACA GOLD LITHIUM - 1.....	18
FIGURE 6 : INTERPRÉTATION GÉOLOGIQUE SUR LA PROPRIÉTÉ OPINACA GOLD LITHIUM - 2.....	19

## LISTE DES TABLEAUX

---

TABLEAU 1: STATISTIQUE SUR LES VALEURS DE CU DU BLOC OPINACA GOLD LITHIUM-1.....	18
TABLEAU 2: STATISTIQUE SUR LES VALEURS D'AU DU BLOC OPINACA GOLD LITHIUM-2 .....	19

## LISTE DES ANNEXES

---

ANNEXE I:	TABLEAU DES TITRES MINIERS
ANNEXE II:	PLAN DE LOCALISATION DES TITRES MINIERS
ANNEXE III:	TABLEAU DES STATIONS DE LA PROSPECTION 2019
ANNEXE IV:	TABLEAU DES ÉCHANTILLONS DE ROCHES 2019
ANNEXE V:	PLAN DE LOCALISATION DE LA PROSPECTION 2019
ANNEXE VI:	RÉSULTATS D'ANALYSES DES ÉCHANTILLONS DE ROCHES 2019



## 1. SOMMAIRE

Le projet Opinaca est divisé en trois blocs de claims, soit 1 bloc de claims Opinaca Gold West (OGW) et 2 blocs de claims pour Opinaca Gold Lithium (OGL). Ces 3 blocs sont la propriété de la Corporation Métaux Précieux du Québec (QPM ou "la compagnie") à 100%. La campagne de prospection fut exécutée entre le 21 octobre 2019 et le 04 novembre 2019. La cartographie géologique effectuée a permis d'identifier des lithologies propices à de la minéralisation en or et en métaux de base. Au total, cent-cinquante-cinq (155) échantillons furent récoltés, quatre-vingt-dix (90) sur OGW, trente-six (36) sur OGL-1 et vingt-neuf (29) sur OGL-2. De ce nombre, cinq (5) échantillons retournèrent des valeurs anomaliques en Cu, supérieur à 500 ppm sur le bloc OGL-1 variant entre 527 ppm Cu et 1190 ppm Cu. Deux (2) autres échantillons rapportèrent des valeurs anomaliques en Au, supérieur à 100 ppb sur la propriété OGL-2, donnant respectivement 0.106 g/t Au et 0.348 g/t Au.

La cartographie de détail a permis d'identifier plusieurs structures majeures propices à différents types de minéralisation en or ce qui nécessiterait plus de travaux de prospection et d'échantillonnage afin de cibler des secteurs d'intérêts. Il est recommandé de poursuivre les travaux sur l'ensemble des blocs de la propriété.

## 2. INTRODUCTION

Durant l'automne 2019, la propriété minière d'Opinaca, détenue à 100% par Corporation Métaux Précieux du Québec (QPM ou "la compagnie") fût l'objet d'une campagne de cartographie et de prospection. Ce programme a été réalisé sur 3 blocs de claims distincts : le premier et le plus imposant se situe le plus au nord et s'appelle Opinaca Gold West (OGW), le second et le troisième bloc se situent plus au sud et regroupés sous l'appellation Opinaca Gold Lithium (OGL). Au total, cent-cinquante-cinq (155) échantillons de roche furent récoltés entre le 21 octobre 2019 et le 4 novembre 2019. Les travaux furent exécutés et dirigés par Consul-Teck Exploration inc. de Val-d'Or.

## 3. PROPRIÉTÉ OPINACA, LOCALISATION ET INFORMATION GÉNÉRALE

### 3.1. LOCALISATION ET ACCÈS

La propriété est géographiquement localisée dans la région administrative du Nord-du-Québec sur le territoire de la municipalité d'Eeyou Itchee Baie-James (**Figure 1**). Elle est divisée en 3 blocs de claims distincts tous accessibles via la Route de la Baie-James depuis Matagami en direction nord. Le centre géographique de ces 3 derniers se trouve approximativement à quatre-cent-quatre-vingt-huit (488) kms au nord de Val-d'Or, huit-cent-quinze (815) kms au nord-nord-ouest de la ville de Montréal et à cent-cinquante (150) kms au sud-sud-est de Radisson. Les aéroports les plus près sont ceux d'Opinaca et La Grande Rivière, localisés respectivement à environ 50 kms au sud-est et accessible via la route de La Sarcelle et 140 kms au nord sur la Route de la Baie-James.

### 3.2. TITRES MINIERS

La propriété Opinaca est composée de cent-soixante-huit claims (168) titres miniers (CDC) tenus en vertu d'une licence d'exploration couvrant un total approximatif de 87km<sup>2</sup> (**Figure 2 et Annexes I et II**). Tous sont détenus à 100% par la Corporation Métaux Précieux du Québec (QPM) et sont de catégorie 3 et font l'objet d'aucune restriction en vertu de l'entente signée entre les Cree de la Baie James et le gouvernement du Québec couvrant le territoire de la Baie James. La propriété est divisée en trois (3) blocs de claim distincts, soit du nord vers le sud, Opinaca Gold West (OGW), Opinaca Gold Lithium-1 (OGL-1) et Opinaca Gold Lithium-2 (OGL-2).

Le statut des titres miniers a été vérifié en utilisant GESTIM PLUS, un outil de gestion des titres miniers du *Ministère des Ressources naturelles et de la Faune*. GESTIM PLUS est accessible par le site internet: <http://gestim.mrn.gouv.qc.ca/mines/index.jsp>

Nom: Corporation Métaux Précieux du Québec (97787)  
Adresse: 1080, Côte du Beaver Hall, bureau 2101  
Montréal, Québec, Canada  
H2Z 1S8

### 3.3. GÉOGRAPHIE ET GÉOMORPHOLOGIE

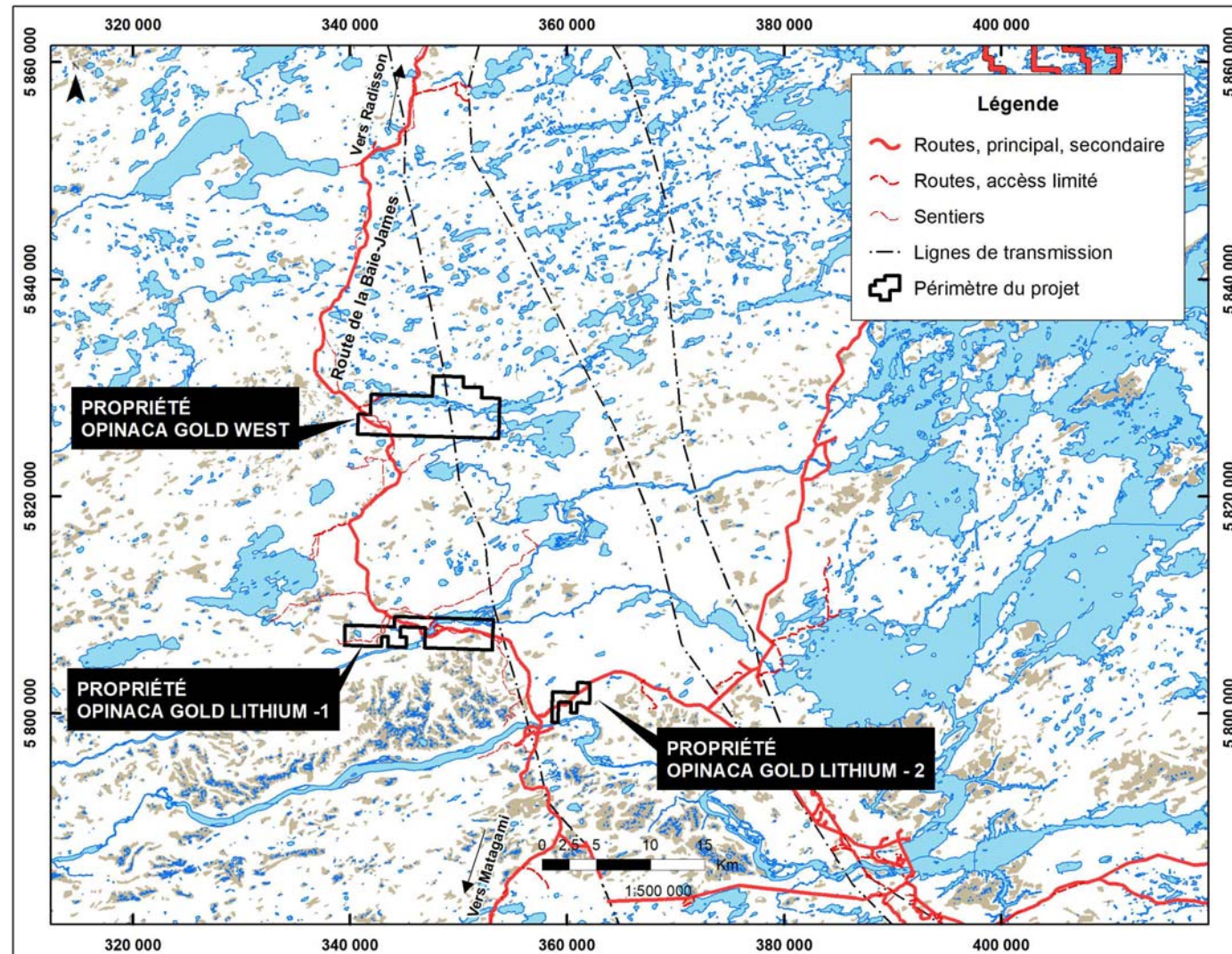
Les différents blocs constituant la propriété présentent une géomorphologie allant de plat à accidentée. Plusieurs collines et buttes généralement formés de roches granitiques ont été façonnés par les glaciers qui avaient une direction d'écoulement ENE-WSW. Un important feu a rasé une grande partie de la végétation dans la région, ce qui a eu pour effet d'exposer un certain nombre d'affleurements. Localement, des marais, lacs et ruisseaux recouvrent des surfaces plus ou moins importantes de terrain. La végétation est essentiellement composée d'arbustes tels que des aulnes, de thé du Labrador et de plans de bleuets. Les principales espèces d'arbres rencontrées sont l'épinette noire et le pin gris.

Figure 1: Localisation générale de la propriété Opinaca





Figure 2 : Carte de localisation régionale de la propriété Opinaca Gold West et Opinaca Gold Lithium



## 4. CONTEXTE GÉOLOGIQUE

La propriété d'Opinaca se situe dans la sous-province géologique de La Grande. Cette dernière est composée en très grande proportion de pluton syn-tectonique à tardi-tectonique et de quelques ceintures volcano-sédimentaire reposant sur un socle tonalitique très ancien (2.79-3.39 Ga, Bandyayera et al, 2010). Ces plutons sont tous de composition felsique à intermédiaire et on dénombre 2 ceintures de volcano-sédimentaire : soit celles d'Eastmain et de La Grande.

Les trois (3) blocs de la propriété se composent de différentes parties de la ceinture volcano-sédimentaire de l'Eastmain (**Figure 3**). Le bloc OGW est localisé sur la bordure est du batholite de Duxbury et est composé de deux (2) formations en contact discordant, les formations de Bernou et de Pilipas. Le bloc OGL-1 est localisé en bordure de la rivière Opinaca chevauchant un contact entre le batholite de Duxbury et la formation de Kauputauch. Le dernier bloc, celui d'OGL-2 se trouve sur la bordure nord de la rivière Eastmain et chevauche le contact du batholite de Kapawasatish et des formations de Kawaschusi et de Wabamisk. Une description sommaire de chacune des formations mentionnées est fournie ici-bas.

### 4.1. FORMATION DE BERNOU (OGW)

Cette formation volcanique est observée pour la première fois aux environs du Lac Bernou, juste au sud de la propriété d'OGW. Celle-ci fût d'abord assimilée à la formation de Kauputauch jusqu'à ce que des datations faites dans un tuf felsique lui donnent un âge plus jeune que cette dernière (David et al. 2010). Cette formation contient quatre (4) unités distinctes (Bandyayera et al, RP 2009-06). En premier lieu viennent des basaltes cousins à bréchiques avec des textures locales gloméroporphyrrique, vésiculaires et parfois amphibolitisées, aillant une polarité vers le NE. Cette unité contient également des niveaux secondaires d'un à dix mètres de mudstone noir, grès arkosique et des formations de fer oxydées. Vient ensuite une unité de gabbro anorthositique syn-volcanique contenant de 40-60% de glomérocristaux de plagioclase fracturé dans une matrice amphibolitisée. Des lits de tufs felsiques à intermédiaires à cristaux, à lapillis et à bloc, d'amplitude métrique à hectométrique, sont également observables. Finalement des amphibolites métamorphisées, localement migmatisées et/ou injectées de mobilisa granitique sont présentes.

### 4.2. FORMATION DE PILIPAS (OGW)

Cette formation sédimentaire en contact discordant avec la formation de Bernou (Bandyayera et al, RP 2009-06) compose une grande partie du bloc de claim OGW. Elle est composée, de sa base vers son sommet stratigraphique, de 4 unités distinctes; un conglomérat polygénique "clast supported", formation de fer, un assemblage de grès-wacke-schiste interlité en bande décimétrique à métrique et d'un paragneiss interprété comme étant ce même assemblage métamorphisé. Au moins trois (3) de ces quatre unités ont été observées lors de la reconnaissance géologique effectuée sur la propriété. Les conglomérats furent suivis sur six (6) km à l'est de la route de la Baie-James et atteignent plusieurs centaines de mètres d'épaisseur par endroit.

#### 4.3. BATHOLITE DE DUXBURY (OGW ET OGL-1)

Le batholite de Duxbury se divise en trois (3) lithologies principales (Moukhsil et *al*, 2001) : 1) une tonalite très foliée à gneissique, 2) une tonalite-granodiorite peu déformée et 3) une diorite quartzifère peu déformée. Sur la propriété d'OGW, la tonalite-granodiorite est généralement massive, peu foliée et peut contenir jusqu'à 10% de minéraux mafiques. Sur la propriété OGL-1, on retrouve une granodiorite fortement injectée de dykes, décimétrique à métrique, d'une pegmatite blanche ou rose et des enclaves d'amphibolites fortement déformées et/ou migmatisées.

#### 4.4. FORMATION DE KAUPUTAUCH (OGL-1)

Cette formation volcanique appartient au groupe de la Basse-Eastmain et fut cartographiée par Moukhsil et *al* en 2000 et 2001 (RG 2001-08). Elle est principalement constituée de basalte amphibolitisé, cousiné à massif, d'amphibolite laminée, de quelques niveaux de tufs felsiques et finalement de niveaux de lave mafique à intermédiaire. Elle est surtout présente dans le centre du feuillet SNCR 33C06 et se prolonge vers l'ouest dans le feuillet 33C05. Elle recouvre presque la totalité du bloc de claims formant la propriété d'OGL-1.

#### 4.5. FORMATION DE KOMO (OGL-2)

Cette formation fut d'abord observée et définie en 2000 par Moukhsil et *al* (RG 2000-04) lors de la cartographie du feuillet 33C07. Elle contient 2 lithologies principales, soit des amphibolites fines à moyennement grenues, vertes claires en patine et vertes sombre en cassure. Elles se présentent sous forme de coulées massives ou coussinées localement. Les coussins, lorsqu'observables, ont une polarité vers le nord-ouest et contiennent parfois quelques amygdules remplies de quartz. La seconde unité est composée de tufs laminés, felsique à intermédiaire, de couleur gris clair en patine et blanchâtre en cassure. Ces derniers sont interlités avec les amphibolites de la première unité et peuvent atteindre une épaisseur décamétrique localement.

#### 4.6. BATHOLITE DE KASAPAWATISH (OGL-2)

Cet énorme complexe intrusif prend place entre les rivières Eastmain (au sud) et Opinaca (au nord). Il s'étend depuis la route de la Baie-James à l'est jusqu'à 20 km vers l'Ouest. Il comprend principalement trois (3) unités selon Moukhsil et *al*, 2001 (RG 2001-08) : soit une monzonite, une tonalite gneissique et une granodiorite injectée de pegmatite. Cet ensemble d'unités prend place sur la partie nord du bloc de claims d'OGL-2.

#### 4.7. PLUTON DE KAWACHUSI (OGL-2)

Cette unité semble être la continuité du batholite de Kasawatish et affleure à l'est du feuillet 33C/06 et continue dans le feuillet 33C/07. Ce pluton semble constitué d'une seule lithologie de tonalite foliée peu déformée et riche en enclave de paragneiss et volcanites mafiques orientées parallèlement à la foliation magmatique de la tonalite. Cette unité semble être dominante sur la partie nord du bloc de claims d'OGL-2 selon la roche observée le long du chemin de La Sarcelle le traversant.

#### 4.8. FORMATION DE WABAMISKE (OGL-2)

Cette formation fût observée par Moukshil et al en 2000 (RG 2001-08) et s'étend du feuillet 33C/07 jusqu'au 33D01 sur le bord de la Baie-James. Cette dernière est bien visible sur le bord de la rivière Eastmain sur le second bloc d'Opinaca Lithium. Elle est surtout composée de sept (7) lithologies : soit de la base vers le sommet stratigraphique :

- 1) Basalte amphibolitisé et amphibolite à grains moyens avec > 75% amphiboles avec quelques plagioclases idiomorphes et faiblement altérés et d'épidote (< 10%)
- 2) De volcanoclastite composée surtout de tufs à lapilli intermédiaire interlités avec des tufs à cristaux et à blocs polygénique. Des dykes pegmatitiques concordants, d'épaisseur décimétrique, ont été observés non loin du bord de la rivière Eastmain
- 3) Volcanoclastite composée de tufs à blocs à fragments felsiques et mafiques, tufs à cendre, de tufs à lapillis et de tufs à cristaux. Quelques horizons très minces de grès graphiteux et de paragneiss à biotite, andalousite et de grenats peuvent également être observés
- 4) Cette unité affleurant uniquement au nord-nord-ouest de la région cartographiée (33C/04) correspond à un conglomérat "*matrix-supported*" polygénique essentiellement composé de cailloux de composition tonalitique et de quelques fragments, ici et là, d'amphibolite et de diorite porphyrique feldspathique. Tous les fragments sont fortement déformés et contiennent une linéation d'étirement subverticale très marquée
- 5) Le cinquième groupe est beaucoup plus important en proportion par rapport au dernier et est observé abondamment dans le feuillet 33C/06 et 33C/07. Il est constitué de deux (2) unités lithologiques, soit des conglomérats monogéniques à polygéniques composés de cailloux de granodiorite et dioritique interlités avec des niveaux de grès lithique (arkose). Les niveaux de conglomérat varient entre "*matrix supported*" à "*clasts supported*" et sont la lithologie la plus abondante. Plusieurs affleurements de cette dernière ont été observés le long de la rivière Eastmain
- 6) Cette dernière unité n'est observable que dans le feuillet 33C/04 et consiste en un assemblage de tufs et de formations de fer au niveau des oxydes. Ces dernières sont affectées par un pli régional dans le secteur et sont constituées essentiellement de niveaux centimétriques de chert, de lits millimétriques de magnétites et de lits centimétriques de tufs à cendre.

#### 4.9. STRUCTURES

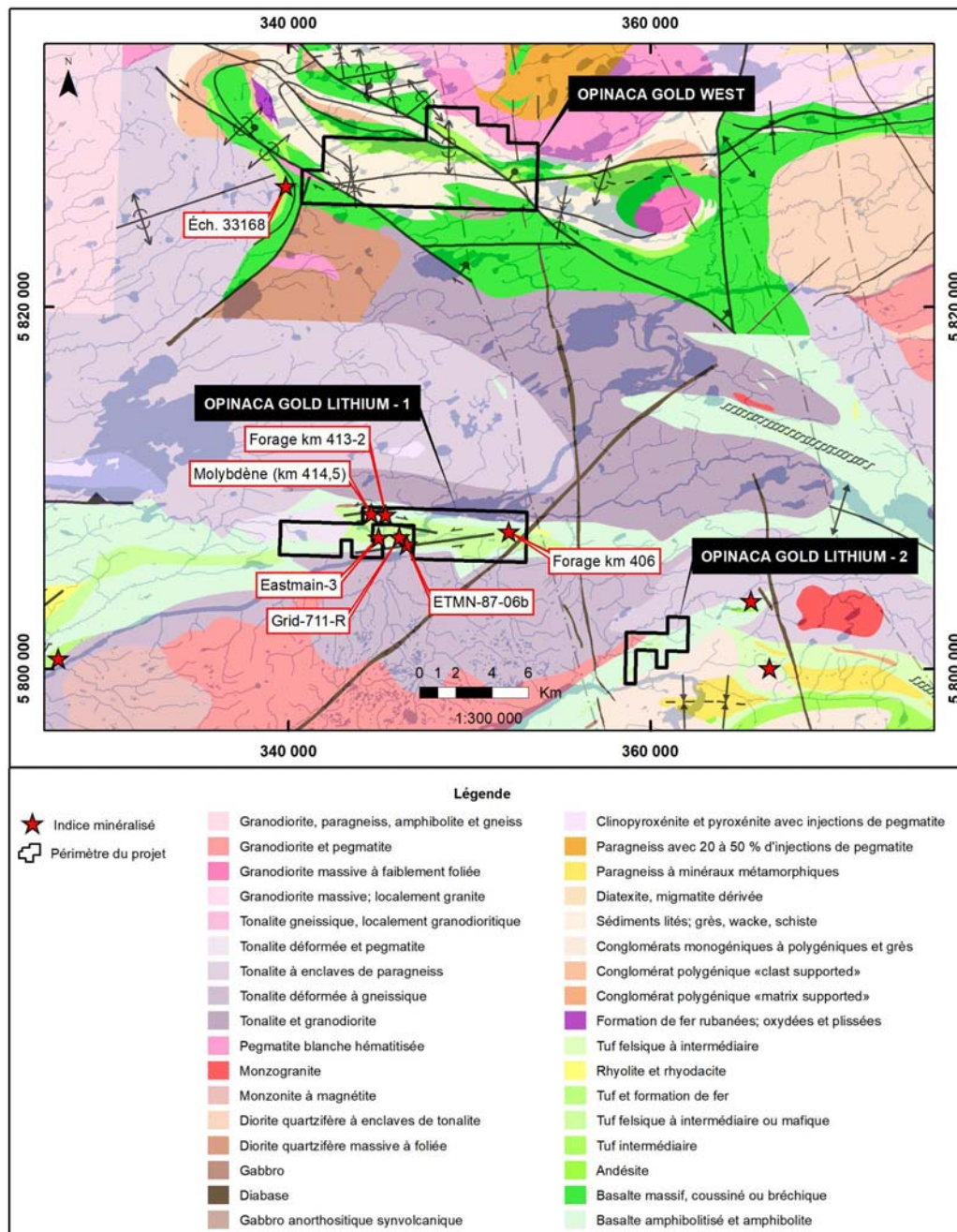
On dénombre trois événements de déformation (D1, D2, D3) dans la sous-province de La Grande (Bandyayera et al, 2009). Il est parfois difficile de déterminer à quel événement les structures observées sont associées dû à la superposition de ces derniers. Localement S0, S1 et/ou S2 peuvent être parallèles ajoutant une difficulté supplémentaire. La S1 associée à l'évènement D1 est bien préservée dans les sédiments de la formation de Pilipas qui se trouvent sur le bloc Opinaca West. Cette dernière est orientée E-O à ENE-OSO et généralement parallèle à S0 même si toutefois de nombreux nez de plis associés à la phase D1 sont présents, spécialement dans les formations de fer. Sur les blocs 1 et 2 de la propriété Opinaca Lithium est également observable cette même S1 en bordure des batholites de Duxbury et de Kasapawatish et du pluton de Kawachusi. Dans le batholite de Duxbury, la foliation suggère la présence d'un pli régional au cœur de ce dernier. Aucune indication des événements de déformation D3 ne fut observée sur la propriété du projet Opinaca.



#### 4.10. MÉTAMORPHISME

Le métamorphisme observé sur les propriétés du projet Opinaca varie généralement entre schiste vert et amphibolite supérieure. Dans les séquences volcanites, les amphiboles (surtout hornblende), l'épidote, la chlorite, la biotite et localement le grenat sont des minéraux récurrents observables dans ces unités. Dans les séquences sédimentaires, la biotite, séricite, chlorite et des aluminosilicates tels qu'andalousite, cordiérite et grenat sont les minéraux métamorphiques les plus communs. Les formations de fer contiennent fréquemment des grenats et certains niveaux de ses dernières sont complètement amphibolitisés.

Figure 3 : Localisation des propriétés sur fond géologique régional



## 5. CONTEXTE MÉTALLOGÉNIQUE

### 5.1. SULFURE MASSIF VOLCANOGÈNE

Les gisements de type sulfure massif volcanogène (SMV) sont des gîtes polymétalliques de petite taille (2-5 M tonnes) dans lesquels on retrouve les éléments d'intérêt comme Cu, Zn, Pb, Au et Ag. La pyrite apparaît généralement dans ce type de gisement comme un minéral stérile malgré son abondance. L'exemple de choix dans la région de Eeyou Itchee Baie-James est le dépôt de Coulon qui compte 3.675 Mt à 1.27% Cu, 3.61% Zn, 0.4% Pb, 0.25 g/t Au et 37.5/t Ag qui se trouve dans la formation du même nom. Les gisements de type SMV sont formés en contexte volcanique sous-marin. La minéralisation se dépose sous forme de lentilles stratiformes le long des flancs de ces volcans. Les contextes tectoniques que l'on peut attribuer au SMV sont les dorsales océaniques, les îles en arcs et les bassins d'arrière-Arcs. Une interaction avec l'eau de mer est une caractéristique très visible de ce type de gisement. L'eau riche en chlore, se charge en métaux pendant son mécanisme de convection, circule dans les structures synvolcaniques et précipite au contact d'un milieu réducteur, généralement juste avant ou à la sortie d'une cheminée de type "black smoker", ce qui génère une minéralisation stratiforme. L'intérieur du dôme felsique présente une minéralisation épigénétique, de remplacement, dans les stockwerk.

Les SMV sont contrôlés en grande majorité par les failles synvolcaniques ainsi que les essaims de dykes qui composent la pipe centrale du gisement. En surface, les gisements se présentent sous forme de dôme felsique composé d'horizons stratiformes de pyrite, sphalérite, chalcopryrite, pyrrhotite et se termine par un horizon cherteux. Ils ont une bordure d'altération caractéristique proximale en Chl-Fe à Chl-Ser et distale en Ser. La séquence d'altération latérale de la pipe, de son centre vers l'extérieur, est caractérisée par une altération proximale chloriteuse, altération potassique à séricite et une altération distale propylique

### 5.2. OR-OROGÉNIQUE.

Il s'agit de l'un des types de dépôts les plus abondants. Bien que ces dépositions puissent se produire dans n'importe quelle lithologie, une attention particulière est accordée à la roche sédimentaire qui répond aux conditions des dépôts d'Éléonore et la zone Isabelle de Virginia Mine.

Les dépôts d'Or orogénique sont issus d'un régime tectonique compressif le long de marges actives convergentes. Ce contexte favorise la circulation des fluides hydrothermaux le long des zones de cisaillement importantes qui agissent comme corridor principal pour les fluides minéralisateurs. Ces derniers précipiteront le plus souvent lorsqu'ils atteindront un niveau réducteur qui coïncide généralement avec des changements physico-chimiques lors de l'interaction entre ceux-ci et la roche encaissante. Les failles cassantes en bordure des zones de cisaillement, les veines de quartz parallèles (veines de cisaillement) ou perpendiculaires (veines d'extensions) au plan d'anisotropie principal et à la linéation deviennent donc des cibles de choix. La sulfuration des parois enrichie en Fe est un

mécanisme efficace de mise en place de dépôt dans les roches mafiques et les formations de fer. Ces zones de failles sont ciblées grâce un éventail de méthode. L'analyse des linéaments magnétiques et des discontinuités topographiques, les zones de plis, les contacts lithologiques régionaux, les bordures et zones d'ombre de pluton felsique ou intermédiaire et la variation du gradient métamorphique sont autant de méthodes utilisées pour la prospection de ces dépôts. La géochimie des sols, du till glaciaire et de la roche encaissante sont également pris en considération et permettent de remonter à des dépôts. Les mines Sigma-Lamarque (Val-d'Or) et Éléonore (Baie-James) ont été trouvées grâce au suivi de blocs erratiques du till glaciaire.

À l'échelle régionale, on cherchera pour ce type de gisement à proximité des grandes zones de faille, en particulier celles qui se développent le long de contacts entre roches volcaniques et sédimentaires. Il existe souvent un contrôle local dû à la nature de l'encaissant et la présence de zones de plis.

### 5.3. FORMATION DE FER

Ces dépôts appartiennent à la catégorie des dépôts de type or orogénique. Les gisements d'or dans les formations de fer sont abondants en Amérique du Nord et contribuent largement à l'apport en Or dans les roches précambriennes, notamment avec des gisements à forte teneur et au tonnage important tel que Homestake, Musselwhite, Meadowbank et plusieurs autres. Ces dépôts peuvent être de type syngénétique, généralement caractérisés par une extension latérale importante, une faible complexité structurale avec une quasi-absence d'altération. Ou de type épigénétique, les caractéristiques principales deviennent donc une transition latérale entre les zones sulfurées aurifères et les zones non sulfurées non aurifères, la zonalité des altérations enveloppant les minéralisations, la présence de veines et filons, et les fortes complexités structurales marquées par d'intenses plissements et cisaillements.

Dans le modèle syngénétique, l'or est déposé lors de la diagenèse des sédiments (Ridler, 1970; Hutchinson et al, 1971; Hutchinson, 1976; Saager et al, 1987; Slack et al, 2007), L'exploration focalise donc sur les contrôles stratigraphiques. Dans le modèle épigénétique, l'or est piégé subséquentement grâce à des pièges stratigraphiques et géochimiques (Fyon et al, 1983; Philips et al, 1984; Lhotka et Nesbitt, 1989; Caddey et al, 1991; Bullis et al, 1993; Kerswill, 1996; Martins et al, 2007; Ribeiro et al, 2007, Bell, 2013; Janvier et al, 2015a, b; Lawley et al, 2015). Les structures, plis et zone de failles, agissent donc comme conduit pour les fluides hydrothermaux et deviennent conséquemment des cibles de choix.

## 6. TRAVAUX HISTORIQUES

### 6.1. OPINACA GOLD WEST

Le bloc de claims composant la propriété d'Opinaca West fut abondamment exploré à l'époque des travaux de cartographie du territoire de la SDBJ\* entre 1977 et 1980. La SDBJ lança des travaux de cartographie du territoire à la suite d'un levé géophysique aéroporté exécuté par Géoterrex en 1977 (GM 34166). Trois anomalies interprétées comme des conducteurs (2 se trouvant sur la propriété Opinaca West) furent sélectionnées pour des travaux de prospection et un suivi de géophysique de surface, cartographie géologique et de forage (GM 38003 et GM 38160). Bien que ces travaux n'aient donné aucun résultat probant, ils mirent en lumière un contexte géologique favorable pour les métaux de base. Depuis, plusieurs compagnies ont périodiquement revisité la propriété en partie sans jamais découvrir d'indice significatif en or ou autres métaux. Les plus récents travaux datent de 2005 et furent exécutés par Service Technique Géonordique Inc. (GM 62450).

### 6.2. OPINACA GOLD LITHIUM-1

Ce bloc de claims se situe de part et d'autre de la rivière Opinaca à l'intersection de cette dernière avec la route de la Baie-James. Ce dernier s'étire sur environ sept (7) km, selon un axe est-ouest, et fait maximum 1.2 km, sur son axe nord-sud. Ce terrain fut cartographié par Franconni (1978) pour le compte du Ministère des Richesses Naturelles du Québec (DPV 574) durant les étés de 1975 et 1976. Plusieurs levés de géophysique aéroportés furent conduits par une multitude d'intervenants à partir des années 1960, et ce jusqu'à la fin des années 1980, parmi ceux-ci, Eastmain Ressources inc., Société de Développement de la Baie-James, Key Lake Ressources et Canico. Cela mena à la découverte d'une multitude d'anomalies EM dont plusieurs furent l'objet de travaux de suivi. La SDBJ effectua également une campagne de cartographie de détails le long de la route de la Baie-James, ce qui mena à la découverte de plusieurs indices, notamment les indices de molybdène KM 414.5, et plus tard ceux de Forage KM 413.2 et Forage KM 406 en 1980 (GM 37997). En 1988, Eastmain découvre deux (2) indices d'or (Grid 711-R et Eastmain-3) dans le même secteur (GM 48733) consistant en des veines de quartz-carbonate concordantes d'épaisseur centimétrique dans des amphibolites très déformées.

### 6.3. OPINACA GOLD LITHIUM - 2

Ce bloc de claims se situe à environ 2 km à l'est de l'intersection entre la route de La Sarcelle et de la route de la Baie-James. Cette propriété fût très peu travaillée par le passé à l'exception d'une cartographie faite pour le compte du MNRF (Franconni, 1975-1976, DPV 574), un levé géophysique aéroporté suivi d'un programme de prospection furent entrepris par Eastmain Ressources LTD (GM 49370) en 1990 ne rapportèrent aucun résultat significatif. La propriété fut également l'objet d'un échantillonnage de sol (till) par Dior en 2008 dans le cadre d'une campagne d'échantillonnage régionale à l'échelle de la Baie-James. Plus récemment, en 2017, la propriété voisine Annabelle a été l'objet d'une campagne de prospection ayant rapporté plusieurs valeurs anormales en or le long

des mêmes horizons stratigraphiques observés sur le deuxième bloc d'Opinaca Gold Lithium (GM 70903).

## 7. TRAVAUX RÉCENTS (2019)

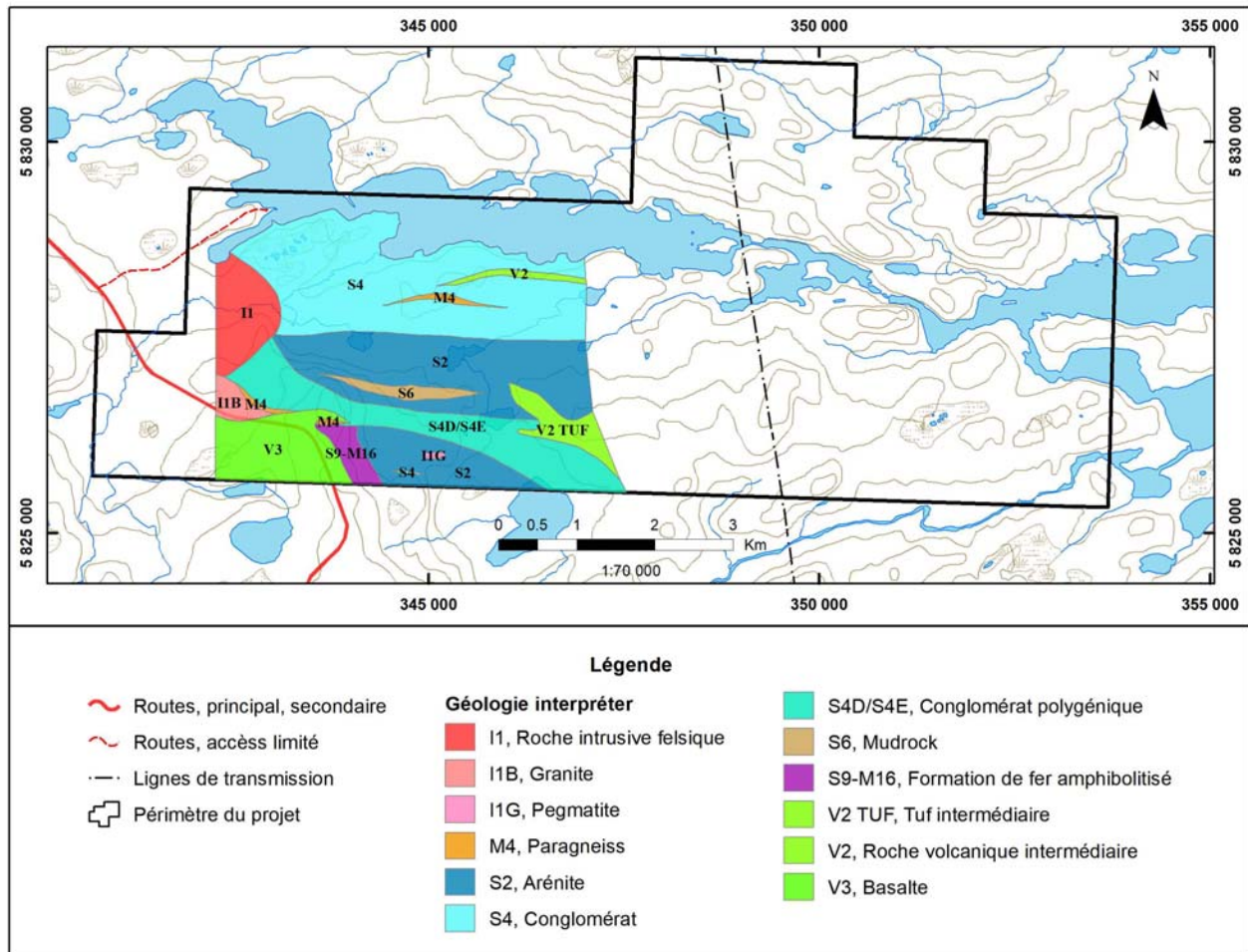
L'objectif de la campagne de prospection de l'automne 2019 était de confirmer le potentiel de minéralisation des différents blocs de la propriété. Pour ce faire, une équipe d'un (1) géologue stagiaire et d'un (1) technicien, basé au Relais routier KM 381 de la SDBJ, avait pour mandat de revisiter les propriétés afin d'échantillonner au maximum les unités rencontrées. Un total de sept (7) jours de prospection fut effectué sur le bloc Opinaca Gold West, trois (3) jours sur le bloc Opinaca Gold Lithium-1 et trois (3) jours pour le bloc Opinaca Gold Lithium-2. Au total, cent-cinquante-cinq (155) échantillons de roches furent pris, quatre-vingt-dix (90) de ceux-ci sur le bloc de claims OGW et les soixante-cinq (65) restants sont répartis sur les 2 blocs d'Opinaca Gold Lithium (**Annexes III et IV**). Une cartographie détaillée à l'échelle de 1 :5000 a été produite des différents secteurs visités. Tous les résultats d'analyse sont disponible en **Annexe V** et les certificats de laboratoire le sont en **Annexe VI**.

### 7.1. RÉSULTATS OPINACA GOLD WEST

Aucun des échantillons choisis sur la propriété Opinaca West ne rapporta de valeurs significatives en or ou métaux de bases. L'échantillon A0716694 rapporta 0.026 g/t Au et représente la meilleure valeur obtenue. Aucun échantillon ne présente de valeur supérieure à 223 ppm de Cu, 330 ppm de Zn, 69 ppm de Ni et 13.45% de Fe. Les principales lithologies observées appartiennent à la formation de Pilipas et consiste en des séquences de grès, wackes, et conglomérats interlités sur des épaisseurs décimétriques à décamétriques. Les conglomérats polygéniques à monogéniques, souvent constitués de cailloux à composition granodioritique ou tonalitique, quelques-uns sont de composition volcanique et plus rarement quartzeux. Ces derniers sont souvent "matrix supported" avec une matrice amphibolitisée. Dans le coin inférieur gauche de la propriété, sur le bord de la route, il est possible d'observer des amphibolites et des basaltes amphibolitisés qui contiennent souvent de 1-3% de Py avec des traces de Po et Mt. Ceux-ci sont en contact avec des formations de fer. Ces dernières sont constituées de lits de chert pyriteux (3-15%), de grès laminés et de lits mm de magnétite également riches en amphiboles. Elles sont globalement très déformées. Cela se manifeste par une grande variance dans la direction sud-ouest remarquée dans ces unités. Plus au nord, on retrouve des unités de paragneiss interlités et de tufs intermédiaires faisant quelques mètres d'épaisseur. Ces derniers sont probablement signe d'une proximité certaine avec les volcanites de la formation de Bernou vers le nord. Les paragneiss représentent probablement un faciès plus métamorphisé des conglomérats présents sur la propriété. La **figure 4** illustre la géologie de la propriété.



Figure 4 : Interprétation géologique sur la propriété Opinaca Gold West



## 7.2. RÉSULTATS OPINACA GOLD LITHIUM-1

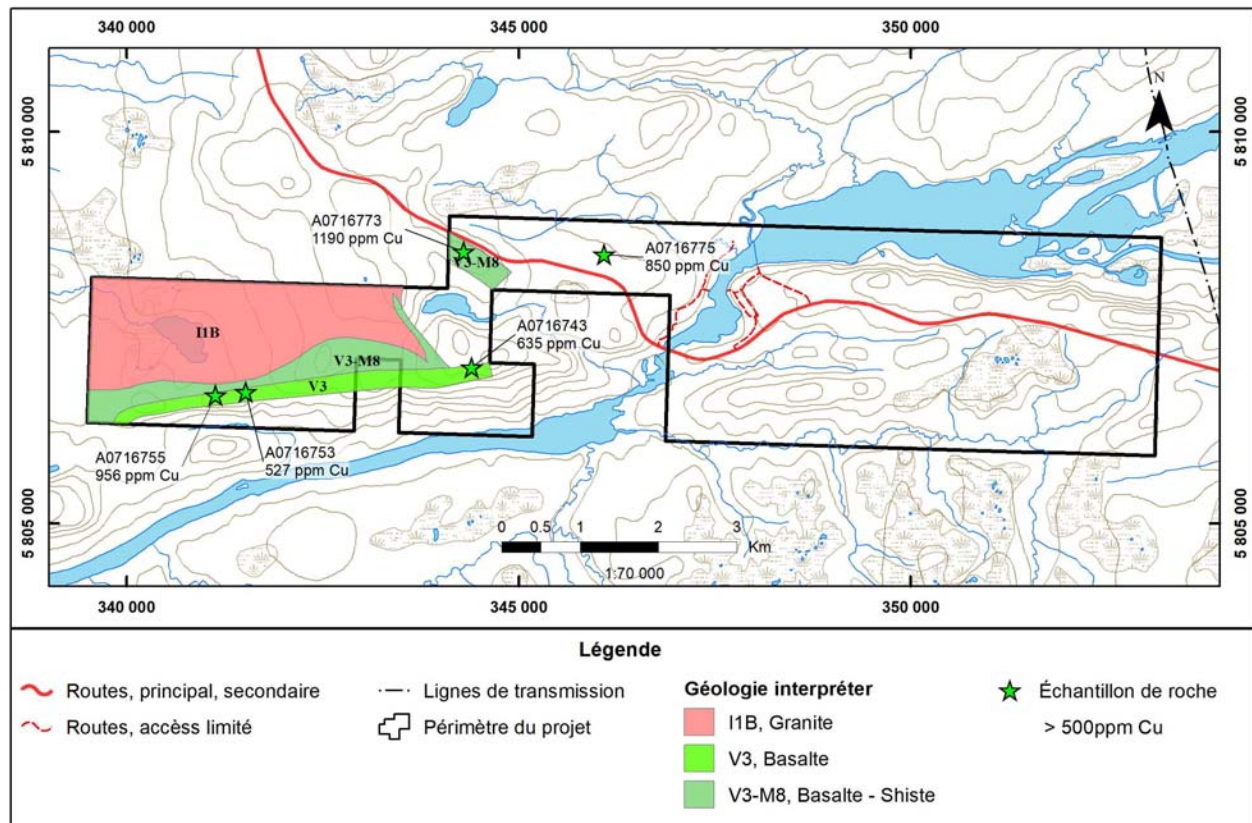
Sur Opinaca Gold Lithium-1, on distingue deux (2) lithologies principales : soit la tonalite/granodiorite peu déformée associée au batholite de Duxbury qui occupe tout le secteur nord-ouest de la propriété et les basaltes amphibolitisés de la formation de Kaputauch. Ces derniers sont généralement cisailés et présentent une schistosité bien développée ainsi que localement des textures de bréchification avec des veinules de quartz-carbonate en remplissage. Ils sont peu à moyennement altérés en silice et localement épidote, chlorite et biotite. La minéralisation se présente sous forme de veinules de Py d'épaisseur millimétrique concordante à la schistosité associée à des zones de cisaillement et/ou de  $Py \pm Po \pm Cp$  disséminée dans des épontes de veinules ou à l'intérieur de ces dernières. Sur le bord de la route de la Baie-James, plusieurs affleurements de tufs intermédiaires à mafiques peuvent être observés. Ces derniers sont cisailés et présentent un  $Sc$  orienté vers le ONO à NO. Ils sont altérés en chlorite, biotite et sont localement silicifiés. Certains présentent des zones de rouille pouvant faire plusieurs mètres en taille. Un total de trente-six (36) échantillons fut récolté sur le bloc Opinaca Gold Lithium-1, de ce nombre cinq (5) rapportèrent des valeurs supérieures à 500 ppm de Cu le meilleur étant 1190 ppm Cu (échantillon A0716743, A0716753, A0716755, A0716773 et A0716755). Le **tableau 1** montre que les résultats moyens des échantillons en Cu se situe à un peu plus de 260 ppm. Quatre

de ses échantillons sont localisés le long d'une zone de cisaillement d'orientation E-O qui semble longer le flanc sud du batholite de Duxbury. **Figure 5**

**Tableau 1: Statistique sur les valeurs de Cu du bloc Opinaca Gold Lithium-1**

Moyenne	Écart-type	Médiane	Nombre d'échantillon > 500 ppm
267.52 ppm	277.99 ppm	141.5 ppm	5

**Figure 5 : Interprétation géologique sur la propriété Opinaca Gold Lithium - 1**



### 7.3. RÉSULTATS OPINACA GOLD LITHIUM-2

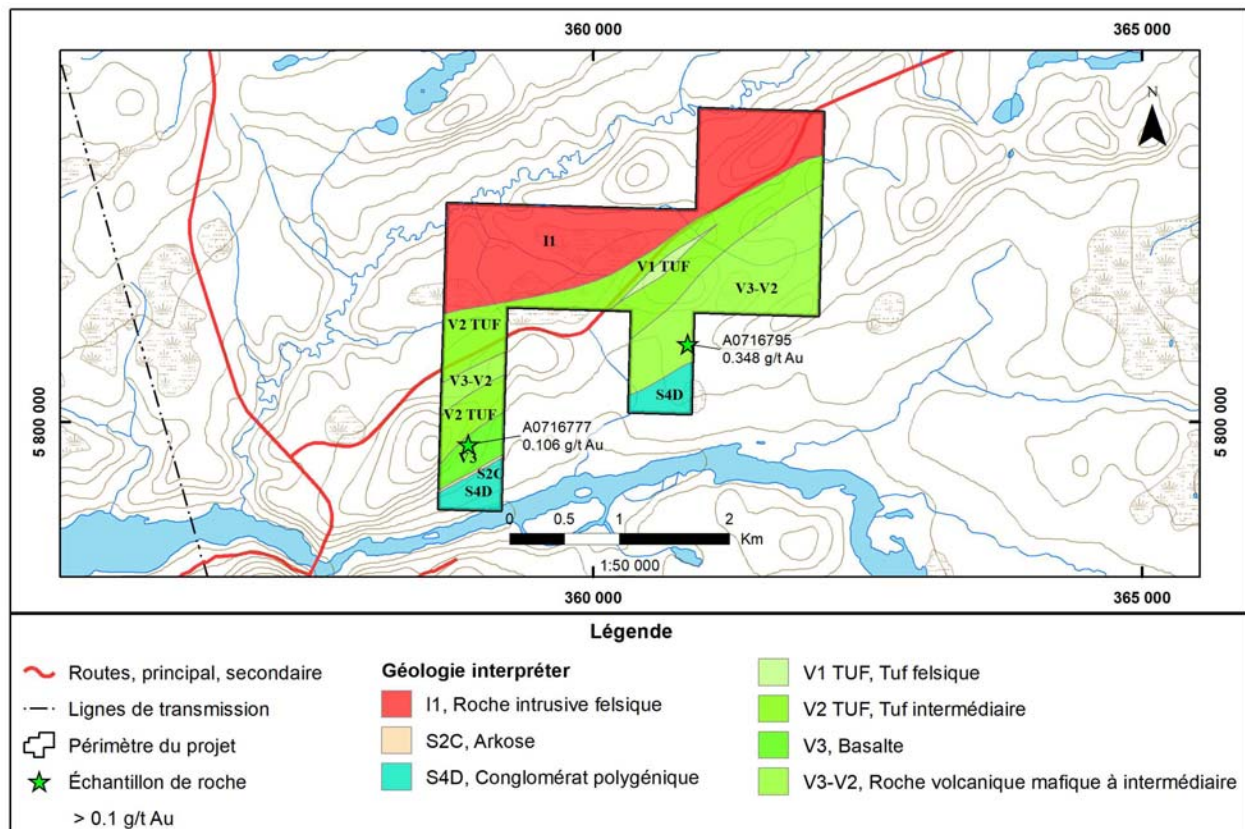
Le bloc Opinaca Gold Lithium-2 se trouve entièrement dans la formation de Wabamisk. Les principales lithologies identifiées consistent, du nord vers le sud, en des basaltes amphibolitisés à grain fin ou moyen qui contiennent des lits de tufs à lapillis ou à cendre de composition intermédiaire à felsique et d'épaisseur métrique. Ces basaltes sont en contact avec des grès arkosique et des conglomérats polygéniques juste au nord de la rivière Eastmain. Au total, vingt-neuf (29) échantillons de roche furent pris, la majorité le long d'un cisaillement près du contact entre les tufs intermédiaires/ basaltes et les grès arkosique (**Figure 6**). De ce nombre, deux (2) échantillons rapportèrent des valeurs

anormales en or : l'échantillon A0716795 rapporta 0.348 g/t Au et l'échantillon A0716777 0.106 g/t Au. Ces derniers semblent être localisés le long d'un cisaillement de forte amplitude. Dans les 2 échantillons pris, on peut retrouver des veinules de quartz-carbonate avec de la Py ±Po ± Cp variant entre traces et 3% autant dans les veinules qu'en éponte. Le **tableau 2** présente les statistiques pour les échantillons pris sur le bloc Opinaca Gold Lithium-2.

**Tableau 2: Statistique sur les valeurs d'Au du bloc Opinaca Gold Lithium-2**

Moyenne	Écart-type	Médiane	Nombre d'échantillon > 100 ppb Au
0.028 ppm	0.065 ppm	0.011 ppm	2

**Figure 6 : Interprétation géologique sur la propriété Opinaca Gold Lithium - 2**



#### 7.4. PRÉPARATION DES ÉCHANTILLONS

Un échantillon choisi est récolté à l'aide d'une masse, ou d'une pioche de prospecteur, d'un ciseau à froid (pic en métal) et occasionnellement d'une scie à roche. Généralement, un morceau de la grosseur du poing de la main, au minimum, et pesant entre un (1) et deux (2) kilos est requis pour l'analyse. La roche doit être non météorisée le plus possible afin d'avoir sa composition la plus exacte possible. Les échantillons sont placés dans un sac en plastique avec une étiquette numérotée fournie par le laboratoire. Ceux-ci étaient ensuite placés dans des poches blanches par groupe de dix (10) et



entreposés dans une remorque cadenassée jusqu'à leur transport à la carothèque de Consul-Teck, puis au laboratoire ALS Mineral de Val-d'Or.

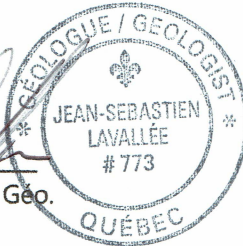
## 7.5. PROTOCOLE D'ANALYSE

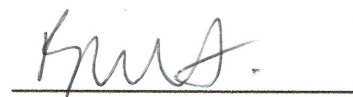
Tous les échantillons choisis ont été analysés par ICP-AES avec digestion à l'aqua regia (méthode ME-ICP41) pour 35 éléments. Si les valeurs dépassent le seuil de détection supérieur de la méthode, ME-ICP41, ils étaient alors analysés par spectrométrie d'absorption atomique avec digestion préalable à l'aqua regia (AA46). Toutefois, cela ne fut pas nécessaire pour cette propriété. Les échantillons furent analysés par pyroanalyse avec une finition par spectrométrie d'absorption atomique (méthode AU-AA23) ou gravimétrie (Au-AA25) si les échantillons titrent plus de 10 g/t Au. Ceci ne fut pas nécessaire pour ce programme. Tous les certificats du laboratoire sont fournis en **Annexe V**.

## 8. RÉSULTAT ET RECOMMANDATION

Les travaux ont permis d'identifier des lithologies propices à des minéralisations de métaux de bases et aurifères. Également, plusieurs structures importantes de déformations ont été observées sur les trois blocs de claims du projet Opinaca. Il est recommandé de poursuivre les travaux d'exploration sur l'ensemble des blocs de la propriété en mettant l'accent sur les secteurs aillant rapportés des valeurs anormales. Un retour sur les secteurs ayant rapporté des valeurs anormales pour un échantillonnage plus intense avec une scie à roche devrait être envisagé. Également, un programme d'échantillonnage de sol pourrait être envisagé afin de définir de potentiels secteurs anormaux. La partie ouest du bloc de claim OGW demeure relativement peu explorée.

  
Jean-Sébastien Lavallée, P. Géo.  
25 janvier 2020



  
Benoit Martin-Tanguay, Géo. Stagiaire  
25 janvier 2020

## 9. RÉFÉRENCES

- DPV 574 Franconi A., 1978, *LA BANDE VOLCANOSÉDIMENTAIRE DE LA RIVIÈRE EASTMAIN INFÉRIEURE À L'OUEST DE LA LONGITUDE 76°15'*, MNRF, 187 pages, 2 plans
- GM 34166 Géoterrex LTD, Photosur INC, 1977, *RAPPORT D'INTERPRÉTATION RELEVÉ GÉOPHYSIQUE AÉROPORTÉ*, Société de développement de la Baie-James, 111 pages, 6 plans
- GM 37997 Labelle J.P, 1981, *Projet Eastmain (203-1380-31)*, Eastmain Ressources inc., 43 pages, 4 plans
- GM 38003 Borduas J., 1981, *CAMPAGNE DE FORAGE, PROJET OPINACA, PROPRIÉTÉ 0-32 ET 0-38, 205-1380-11*, Eastmain Ressources inc., 16 pages, 1 plan
- GM 38158 Rioux M, 1979, *PROJET OPINACA 205-1379-11 RAPPORT SUR RELEVÉ GÉOLOGIQUE JUILLET-AOÛT 1978*, Société de développement de la Baie-James, 17 pages, 1 plan
- GM 38160 Borduas B, 1979, *PROJET OPINACA 205-1379-11, RELEVÉ GÉOLOGIQUE DES GRILLES 0-32A, B ET 0-38, CANTON 2511, TERRITOIRE DE LA BAIE-JAMES*, Société de développement de la Baie-James, 8 pages, 1 plan
- GM 48733 Shelp G., 1989, *EASTMAIN RESOURCES LTD. EASTMAIN/OPINACA PROJECT PERMIT 711, BAIE JAMES, QUEBEC, ASSESSMENT REPORT 3, TOWNSHIPS 2410, 2411, 2412 N.T.S. 33C/5 AND 33C/6*, Eastmain Resources LTD, 152 pages, 16 plans
- GM 59304 Boudreault A., Villeneuve P., Tremblay M., 2000, *RAPPORT DE TRAVAUX DE PROSPECTION, CEINTURE D'OPINACA, PROJET DU KILOMÈTRE 400*, IOS Service Géoscientifique inc., 25 pages, 1 plan
- GM 62450 Poitras S., Ouellet J.F., *TECHNICAL REPORT AND RECOMMANDATIONS SUMMER 2005 EXPLORATION PROGRAM, SAGANASH PROPERTY, QUÉBEC*, Virginia Gold Mines inc., 191 pages, 1 plan
- GM 70903 Lavallée J.S, Rioux P. 2019, *RAPPORT DE TRAVAUX SUR LA PROPRIÉTÉ ANABELLE, CORPORTATION MÉTAUX PRÉCIEUX DU QUÉBEC*, 94 pages, 1 Plan
- RG 2000-04 Moukhsil A. 2000, *GÉOLOGIE DE LA RÉGION DES LACS PIVERTS (33C/01), ANATACAU (33C/02), KAUPUTAUCHECHUN (33C/07) ET WABAMISK (33C/08)*, Ministère des Ressources Naturelles et de la Faune, 47 pages, 4 plans

- RG 2001-08 Abdelali M., Voicu G., Dion C., David J., Donald W.D., Parent M., 2001, *GÉOLOGIE DE LA RÉGION DE LA BASSE-EASTMAIN (33C/03, 33C/04, 33C/05 ET 33C/06)*, Ministère des Ressources Naturelles et de la Faune, 41 pages, 4 plans
- RG 2009-06 Bandyayera, D, Lacoste, P, 2009, *GÉOLOGIE DE LA RÉGION DU LAC ROTIS (33C10), DU LAC BERNOU (33C11) ET DU LAC BOYD (33C15)*, Ministère des Ressources Naturelles et de la Faune, 15 pages, 3 plans
- RG 2010-03 David J., Donald W.D., Bandyayera D., Simard M., Moukhill A. et Dion C., 2010, *DATATION U-PB EFFECTUÉS LES SOUS-PROVINCES D'ASHUANIPI, MINTO ET DE LA GRANDE EN 2007-2008*, Ministère des Ressources Naturelles et de la Faune, 12 pages

---

**ANNEXE I**

---

**TABLEAU DES TITRES MINIERS**

**Opinaca Gold West**

N° titre	Superficie (ha)	Date d'expiration	SNRC	Rang	Lot	Excédents	Travaux requis pour renouvellement	Droits requis pour renouvellement	Détenteur(s)
CDC-2443304	52.39	25 avr. 2020	33C11	8	19	0.00 \$	450.00 \$	154.00 \$	Corporation Métaux Précieux du Québec (97787) 100 % (responsable)
CDC-2443305	52.39	25 avr. 2020	33C11	8	20	0.00 \$	450.00 \$	154.00 \$	Corporation Métaux Précieux du Québec (97787) 100 % (responsable)
CDC-2443306	52.39	25 avr. 2020	33C11	8	21	0.00 \$	450.00 \$	154.00 \$	Corporation Métaux Précieux du Québec (97787) 100 % (responsable)
CDC-2443307	52.39	25 avr. 2020	33C11	8	22	0.00 \$	450.00 \$	154.00 \$	Corporation Métaux Précieux du Québec (97787) 100 % (responsable)
CDC-2443308	52.39	25 avr. 2020	33C11	8	23	0.00 \$	450.00 \$	154.00 \$	Corporation Métaux Précieux du Québec (97787) 100 % (responsable)
CDC-2443309	52.39	25 avr. 2020	33C11	8	24	0.00 \$	450.00 \$	154.00 \$	Corporation Métaux Précieux du Québec (97787) 100 % (responsable)
CDC-2443310	52.39	25 avr. 2020	33C11	8	25	0.00 \$	450.00 \$	154.00 \$	Corporation Métaux Précieux du Québec (97787) 100 % (responsable)
CDC-2443311	52.39	25 avr. 2020	33C11	8	26	0.00 \$	450.00 \$	154.00 \$	Corporation Métaux Précieux du Québec (97787) 100 % (responsable)
CDC-2443312	52.39	25 avr. 2020	33C11	8	27	0.00 \$	450.00 \$	154.00 \$	Corporation Métaux Précieux du Québec (97787) 100 % (responsable)
CDC-2443313	52.39	25 avr. 2020	33C11	8	28	0.00 \$	450.00 \$	154.00 \$	Corporation Métaux Précieux du Québec (97787) 100 % (responsable)
CDC-2443314	52.39	25 avr. 2020	33C11	8	29	0.00 \$	450.00 \$	154.00 \$	Corporation Métaux Précieux du Québec (97787) 100 % (responsable)
CDC-2443315	52.39	25 avr. 2020	33C11	8	30	0.00 \$	450.00 \$	154.00 \$	Corporation Métaux Précieux du Québec (97787) 100 % (responsable)
CDC-2443316	52.39	25 avr. 2020	33C11	8	31	0.00 \$	450.00 \$	154.00 \$	Corporation Métaux Précieux du Québec (97787) 100 % (responsable)
CDC-2443317	52.39	25 avr. 2020	33C11	8	32	0.00 \$	450.00 \$	154.00 \$	Corporation Métaux Précieux du Québec (97787) 100 % (responsable)
CDC-2443318	52.39	25 avr. 2020	33C11	8	33	0.00 \$	450.00 \$	154.00 \$	Corporation Métaux Précieux du Québec (97787) 100 % (responsable)
CDC-2443319	52.39	25 avr. 2020	33C11	8	34	0.00 \$	450.00 \$	154.00 \$	Corporation Métaux Précieux du Québec (97787) 100 % (responsable)
CDC-2443320	52.39	25 avr. 2020	33C11	8	35	0.00 \$	450.00 \$	154.00 \$	Corporation Métaux Précieux du Québec (97787) 100 % (responsable)
CDC-2443321	52.39	25 avr. 2020	33C11	8	36	0.00 \$	450.00 \$	154.00 \$	Corporation Métaux Précieux du Québec (97787) 100 % (responsable)
CDC-2443322	52.39	25 avr. 2020	33C11	8	37	0.00 \$	450.00 \$	154.00 \$	Corporation Métaux Précieux du Québec (97787) 100 % (responsable)
CDC-2443323	52.39	25 avr. 2020	33C11	8	38	0.00 \$	450.00 \$	154.00 \$	Corporation Métaux Précieux du Québec (97787) 100 % (responsable)
CDC-2443324	52.39	25 avr. 2020	33C11	8	39	0.00 \$	450.00 \$	154.00 \$	Corporation Métaux Précieux du Québec (97787) 100 % (responsable)
CDC-2443325	52.39	25 avr. 2020	33C11	8	40	0.00 \$	450.00 \$	154.00 \$	Corporation Métaux Précieux du Québec (97787) 100 % (responsable)
CDC-2443326	52.39	25 avr. 2020	33C11	8	41	0.00 \$	450.00 \$	154.00 \$	Corporation Métaux Précieux du Québec (97787) 100 % (responsable)

**Opinaca Gold West**

N° titre	Superficie (ha)	Date d'expiration	SNRC	Rang	Lot	Excédents	Travaux requis pour renouvellement	Droits requis pour renouvellement	Détenteur(s)
CDC-2443327	52.38	25 avr. 2020	33C11	9	19	0.00 \$	450.00 \$	154.00 \$	Corporation Métaux Précieux du Québec (97787) 100 % (responsable)
CDC-2443328	52.38	25 avr. 2020	33C11	9	20	0.00 \$	450.00 \$	154.00 \$	Corporation Métaux Précieux du Québec (97787) 100 % (responsable)
CDC-2443329	52.38	25 avr. 2020	33C11	9	21	0.00 \$	450.00 \$	154.00 \$	Corporation Métaux Précieux du Québec (97787) 100 % (responsable)
CDC-2443330	52.38	25 avr. 2020	33C11	9	22	0.00 \$	450.00 \$	154.00 \$	Corporation Métaux Précieux du Québec (97787) 100 % (responsable)
CDC-2443331	52.38	25 avr. 2020	33C11	9	23	0.00 \$	450.00 \$	154.00 \$	Corporation Métaux Précieux du Québec (97787) 100 % (responsable)
CDC-2443332	52.38	25 avr. 2020	33C11	9	24	0.00 \$	450.00 \$	154.00 \$	Corporation Métaux Précieux du Québec (97787) 100 % (responsable)
CDC-2443333	52.38	25 avr. 2020	33C11	9	25	0.00 \$	450.00 \$	154.00 \$	Corporation Métaux Précieux du Québec (97787) 100 % (responsable)
CDC-2443334	52.38	25 avr. 2020	33C11	9	26	0.00 \$	450.00 \$	154.00 \$	Corporation Métaux Précieux du Québec (97787) 100 % (responsable)
CDC-2443335	52.38	25 avr. 2020	33C11	9	27	0.00 \$	450.00 \$	154.00 \$	Corporation Métaux Précieux du Québec (97787) 100 % (responsable)
CDC-2443336	52.38	25 avr. 2020	33C11	9	28	0.00 \$	450.00 \$	154.00 \$	Corporation Métaux Précieux du Québec (97787) 100 % (responsable)
CDC-2443337	52.38	25 avr. 2020	33C11	9	29	0.00 \$	450.00 \$	154.00 \$	Corporation Métaux Précieux du Québec (97787) 100 % (responsable)
CDC-2443338	52.38	25 avr. 2020	33C11	9	30	0.00 \$	450.00 \$	154.00 \$	Corporation Métaux Précieux du Québec (97787) 100 % (responsable)
CDC-2443339	52.38	25 avr. 2020	33C11	9	31	0.00 \$	450.00 \$	154.00 \$	Corporation Métaux Précieux du Québec (97787) 100 % (responsable)
CDC-2443340	52.38	25 avr. 2020	33C11	9	32	0.00 \$	450.00 \$	154.00 \$	Corporation Métaux Précieux du Québec (97787) 100 % (responsable)
CDC-2443341	52.38	25 avr. 2020	33C11	9	33	0.00 \$	450.00 \$	154.00 \$	Corporation Métaux Précieux du Québec (97787) 100 % (responsable)
CDC-2443342	52.38	25 avr. 2020	33C11	9	34	0.00 \$	450.00 \$	154.00 \$	Corporation Métaux Précieux du Québec (97787) 100 % (responsable)
CDC-2443343	52.38	25 avr. 2020	33C11	9	35	0.00 \$	450.00 \$	154.00 \$	Corporation Métaux Précieux du Québec (97787) 100 % (responsable)
CDC-2448502	52.37	14 juin 2020	33C11	10	21	0.00 \$	450.00 \$	154.00 \$	Corporation Métaux Précieux du Québec (97787) 100 % (responsable)
CDC-2448503	52.37	14 juin 2020	33C11	10	22	0.00 \$	450.00 \$	154.00 \$	Corporation Métaux Précieux du Québec (97787) 100 % (responsable)
CDC-2448504	52.37	14 juin 2020	33C11	10	23	0.00 \$	450.00 \$	154.00 \$	Corporation Métaux Précieux du Québec (97787) 100 % (responsable)
CDC-2448505	52.37	14 juin 2020	33C11	10	24	0.00 \$	450.00 \$	154.00 \$	Corporation Métaux Précieux du Québec (97787) 100 % (responsable)
CDC-2448506	52.37	14 juin 2020	33C11	10	25	0.00 \$	450.00 \$	154.00 \$	Corporation Métaux Précieux du Québec (97787) 100 % (responsable)
CDC-2448507	52.37	14 juin 2020	33C11	10	26	0.00 \$	450.00 \$	154.00 \$	Corporation Métaux Précieux du Québec (97787) 100 % (responsable)

## Opinaca Gold West

N° titre	Superficie (ha)	Date d'expiration	SNRC	Rang	Lot	Excédents	Travaux requis pour renouvellement	Droits requis pour renouvellement	Détenteur(s)
CDC-2448508	52.37	14 juin 2020	33C11	10	27	0.00 \$	450.00 \$	154.00 \$	Corporation Métaux Précieux du Québec (97787) 100 % (responsable)
CDC-2448509	52.37	14 juin 2020	33C11	10	28	0.00 \$	450.00 \$	154.00 \$	Corporation Métaux Précieux du Québec (97787) 100 % (responsable)
CDC-2448510	52.37	14 juin 2020	33C11	10	29	0.00 \$	450.00 \$	154.00 \$	Corporation Métaux Précieux du Québec (97787) 100 % (responsable)
CDC-2448511	52.37	14 juin 2020	33C11	10	30	0.00 \$	450.00 \$	154.00 \$	Corporation Métaux Précieux du Québec (97787) 100 % (responsable)
CDC-2448512	52.37	14 juin 2020	33C11	10	31	0.00 \$	450.00 \$	154.00 \$	Corporation Métaux Précieux du Québec (97787) 100 % (responsable)
CDC-2448513	52.37	14 juin 2020	33C11	10	32	0.00 \$	450.00 \$	154.00 \$	Corporation Métaux Précieux du Québec (97787) 100 % (responsable)
CDC-2448514	52.37	14 juin 2020	33C11	10	33	0.00 \$	450.00 \$	154.00 \$	Corporation Métaux Précieux du Québec (97787) 100 % (responsable)
CDC-2448515	52.37	14 juin 2020	33C11	10	34	0.00 \$	450.00 \$	154.00 \$	Corporation Métaux Précieux du Québec (97787) 100 % (responsable)
CDC-2448516	52.37	14 juin 2020	33C11	10	35	0.00 \$	450.00 \$	154.00 \$	Corporation Métaux Précieux du Québec (97787) 100 % (responsable)
CDC-2448517	52.36	14 juin 2020	33C11	11	21	0.00 \$	450.00 \$	154.00 \$	Corporation Métaux Précieux du Québec (97787) 100 % (responsable)
CDC-2448518	52.36	14 juin 2020	33C11	11	22	0.00 \$	450.00 \$	154.00 \$	Corporation Métaux Précieux du Québec (97787) 100 % (responsable)
CDC-2448519	52.36	14 juin 2020	33C11	11	23	0.00 \$	450.00 \$	154.00 \$	Corporation Métaux Précieux du Québec (97787) 100 % (responsable)
CDC-2448520	52.36	14 juin 2020	33C11	11	24	0.00 \$	450.00 \$	154.00 \$	Corporation Métaux Précieux du Québec (97787) 100 % (responsable)
CDC-2448521	52.36	14 juin 2020	33C11	11	25	0.00 \$	450.00 \$	154.00 \$	Corporation Métaux Précieux du Québec (97787) 100 % (responsable)
CDC-2448522	52.36	14 juin 2020	33C11	11	26	0.00 \$	450.00 \$	154.00 \$	Corporation Métaux Précieux du Québec (97787) 100 % (responsable)
CDC-2448523	52.36	14 juin 2020	33C11	11	27	0.00 \$	450.00 \$	154.00 \$	Corporation Métaux Précieux du Québec (97787) 100 % (responsable)
CDC-2448524	52.36	14 juin 2020	33C11	11	28	0.00 \$	450.00 \$	154.00 \$	Corporation Métaux Précieux du Québec (97787) 100 % (responsable)
CDC-2448525	52.36	14 juin 2020	33C11	11	29	0.00 \$	450.00 \$	154.00 \$	Corporation Métaux Précieux du Québec (97787) 100 % (responsable)
CDC-2448526	52.36	14 juin 2020	33C11	11	30	0.00 \$	450.00 \$	154.00 \$	Corporation Métaux Précieux du Québec (97787) 100 % (responsable)
CDC-2448527	52.36	14 juin 2020	33C11	11	31	0.00 \$	450.00 \$	154.00 \$	Corporation Métaux Précieux du Québec (97787) 100 % (responsable)
CDC-2448528	52.36	14 juin 2020	33C11	11	32	0.00 \$	450.00 \$	154.00 \$	Corporation Métaux Précieux du Québec (97787) 100 % (responsable)
CDC-2448529	52.36	14 juin 2020	33C11	11	33	0.00 \$	450.00 \$	154.00 \$	Corporation Métaux Précieux du Québec (97787) 100 % (responsable)



## Opinaca Gold West

N° titre	Superficie (ha)	Date d'expiration	SNRC	Rang	Lot	Excédents	Travaux requis pour renouvellement	Droits requis pour renouvellement	Détenteur(s)
CDC-2448530	52.36	14 juin 2020	33C11	11	34	0.00 \$	450.00 \$	154.00 \$	Corporation Métaux Précieux du Québec (97787) 100 % (responsable)
CDC-2448531	52.36	14 juin 2020	33C11	11	35	0.00 \$	450.00 \$	154.00 \$	Corporation Métaux Précieux du Québec (97787) 100 % (responsable)
CDC-2448532	52.35	14 juin 2020	33C11	12	31	0.00 \$	450.00 \$	154.00 \$	Corporation Métaux Précieux du Québec (97787) 100 % (responsable)
CDC-2448533	52.35	14 juin 2020	33C11	12	32	0.00 \$	450.00 \$	154.00 \$	Corporation Métaux Précieux du Québec (97787) 100 % (responsable)
CDC-2448534	52.35	14 juin 2020	33C11	12	33	0.00 \$	450.00 \$	154.00 \$	Corporation Métaux Précieux du Québec (97787) 100 % (responsable)
CDC-2448535	52.35	14 juin 2020	33C11	12	34	0.00 \$	450.00 \$	154.00 \$	Corporation Métaux Précieux du Québec (97787) 100 % (responsable)
CDC-2448536	52.35	14 juin 2020	33C11	12	35	0.00 \$	450.00 \$	154.00 \$	Corporation Métaux Précieux du Québec (97787) 100 % (responsable)
CDC-2448537	52.34	14 juin 2020	33C11	13	31	0.00 \$	450.00 \$	154.00 \$	Corporation Métaux Précieux du Québec (97787) 100 % (responsable)
CDC-2448538	52.34	14 juin 2020	33C11	13	32	0.00 \$	450.00 \$	154.00 \$	Corporation Métaux Précieux du Québec (97787) 100 % (responsable)
CDC-2448539	52.34	14 juin 2020	33C11	13	33	0.00 \$	450.00 \$	154.00 \$	Corporation Métaux Précieux du Québec (97787) 100 % (responsable)
CDC-2448540	52.34	14 juin 2020	33C11	13	34	0.00 \$	450.00 \$	154.00 \$	Corporation Métaux Précieux du Québec (97787) 100 % (responsable)
CDC-2448541	52.34	14 juin 2020	33C11	13	35	0.00 \$	450.00 \$	154.00 \$	Corporation Métaux Précieux du Québec (97787) 100 % (responsable)
CDC-2448542	52.38	14 juin 2020	33C11	9	36	0.00 \$	450.00 \$	154.00 \$	Corporation Métaux Précieux du Québec (97787) 100 % (responsable)
CDC-2448543	52.38	14 juin 2020	33C11	9	37	0.00 \$	450.00 \$	154.00 \$	Corporation Métaux Précieux du Québec (97787) 100 % (responsable)
CDC-2448544	52.38	14 juin 2020	33C11	9	38	0.00 \$	450.00 \$	154.00 \$	Corporation Métaux Précieux du Québec (97787) 100 % (responsable)
CDC-2448545	52.38	14 juin 2020	33C11	9	39	0.00 \$	450.00 \$	154.00 \$	Corporation Métaux Précieux du Québec (97787) 100 % (responsable)
CDC-2448546	52.38	14 juin 2020	33C11	9	40	0.00 \$	450.00 \$	154.00 \$	Corporation Métaux Précieux du Québec (97787) 100 % (responsable)
CDC-2448547	52.38	14 juin 2020	33C11	9	41	0.00 \$	450.00 \$	154.00 \$	Corporation Métaux Précieux du Québec (97787) 100 % (responsable)
CDC-2448553	52.37	14 juin 2020	33C11	10	36	0.00 \$	450.00 \$	154.00 \$	Corporation Métaux Précieux du Québec (97787) 100 % (responsable)
CDC-2448554	52.37	14 juin 2020	33C11	10	37	0.00 \$	450.00 \$	154.00 \$	Corporation Métaux Précieux du Québec (97787) 100 % (responsable)
CDC-2448555	52.37	14 juin 2020	33C11	10	38	0.00 \$	450.00 \$	154.00 \$	Corporation Métaux Précieux du Québec (97787) 100 % (responsable)
CDC-2448556	52.37	14 juin 2020	33C11	10	39	0.00 \$	450.00 \$	154.00 \$	Corporation Métaux Précieux du Québec (97787) 100 % (responsable)

**Opinaca Gold West**

<b>N° titre</b>	<b>Superficie (ha)</b>	<b>Date d'expiration</b>	<b>SNRC</b>	<b>Rang</b>	<b>Lot</b>	<b>Excédents</b>	<b>Travaux requis pour renouvellement</b>	<b>Droits requis pour renouvellement</b>	<b>Détenteur(s)</b>
CDC-2448557	52.37	14 juin 2020	33C11	10	40	0.00 \$	450.00 \$	154.00 \$	Corporation Métaux Précieux du Québec (97787) 100 % (responsable)
CDC-2448558	52.37	14 juin 2020	33C11	10	41	0.00 \$	450.00 \$	154.00 \$	Corporation Métaux Précieux du Québec (97787) 100 % (responsable)
CDC-2448564	52.36	14 juin 2020	33C11	11	36	0.00 \$	450.00 \$	154.00 \$	Corporation Métaux Précieux du Québec (97787) 100 % (responsable)
CDC-2448565	52.36	14 juin 2020	33C11	11	37	0.00 \$	450.00 \$	154.00 \$	Corporation Métaux Précieux du Québec (97787) 100 % (responsable)
CDC-2448566	52.36	14 juin 2020	33C11	11	38	0.00 \$	450.00 \$	154.00 \$	Corporation Métaux Précieux du Québec (97787) 100 % (responsable)
CDC-2448567	52.36	14 juin 2020	33C11	11	39	0.00 \$	450.00 \$	154.00 \$	Corporation Métaux Précieux du Québec (97787) 100 % (responsable)
CDC-2448568	52.36	14 juin 2020	33C11	11	40	0.00 \$	450.00 \$	154.00 \$	Corporation Métaux Précieux du Québec (97787) 100 % (responsable)
CDC-2448569	52.36	14 juin 2020	33C11	11	41	0.00 \$	450.00 \$	154.00 \$	Corporation Métaux Précieux du Québec (97787) 100 % (responsable)
CDC-2448575	52.35	14 juin 2020	33C11	12	36	0.00 \$	450.00 \$	154.00 \$	Corporation Métaux Précieux du Québec (97787) 100 % (responsable)
CDC-2448576	52.35	14 juin 2020	33C11	12	37	0.00 \$	450.00 \$	154.00 \$	Corporation Métaux Précieux du Québec (97787) 100 % (responsable)
CDC-2448577	52.35	14 juin 2020	33C11	12	38	0.00 \$	450.00 \$	154.00 \$	Corporation Métaux Précieux du Québec (97787) 100 % (responsable)
<b>101 Claims</b>	<b>5 289.54</b>	<b>52.90 km<sup>2</sup></b>				<b>0.00 \$</b>	<b>45 450.00 \$</b>	<b>15 554.00 \$</b>	

## Opinaca Gold Lithium - 1

N° titre	Superficie (ha)	Date d'expiration	SNRC	Rang	Lot	Excédents	Travaux requis pour renouvellement	Droits requis pour renouvellement	Détenteur(s)
CDC-2445433	52.6	23 mai 2020	33C06	17	21	0.00 \$	450.00 \$	154.00 \$	Corporation Métaux Précieux du Québec (97787) 100 % (responsable)
CDC-2445434	52.6	23 mai 2020	33C06	17	22	0.00 \$	450.00 \$	154.00 \$	Corporation Métaux Précieux du Québec (97787) 100 % (responsable)
CDC-2445435	52.6	23 mai 2020	33C06	17	23	0.00 \$	450.00 \$	154.00 \$	Corporation Métaux Précieux du Québec (97787) 100 % (responsable)
CDC-2445436	52.59	23 mai 2020	33C06	18	21	0.00 \$	450.00 \$	154.00 \$	Corporation Métaux Précieux du Québec (97787) 100 % (responsable)
CDC-2445437	52.59	23 mai 2020	33C06	18	22	0.00 \$	450.00 \$	154.00 \$	Corporation Métaux Précieux du Québec (97787) 100 % (responsable)
CDC-2445438	52.59	23 mai 2020	33C06	18	23	0.00 \$	450.00 \$	154.00 \$	Corporation Métaux Précieux du Québec (97787) 100 % (responsable)
CDC-2446416	52.59	1 juin 2020	33C06	18	35	0.00 \$	450.00 \$	154.00 \$	Corporation Métaux Précieux du Québec (97787) 100 % (responsable)
CDC-2446417	52.59	1 juin 2020	33C06	18	36	0.00 \$	450.00 \$	154.00 \$	Corporation Métaux Précieux du Québec (97787) 100 % (responsable)
CDC-2446418	52.58	1 juin 2020	33C06	19	35	0.00 \$	450.00 \$	154.00 \$	Corporation Métaux Précieux du Québec (97787) 100 % (responsable)
CDC-2446419	52.58	1 juin 2020	33C06	19	36	0.00 \$	450.00 \$	154.00 \$	Corporation Métaux Précieux du Québec (97787) 100 % (responsable)
CDC-2447674	52.6	9 juin 2020	33C06	17	25	0.00 \$	450.00 \$	154.00 \$	Corporation Métaux Précieux du Québec (97787) 100 % (responsable)
CDC-2447675	52.6	9 juin 2020	33C06	17	26	0.00 \$	450.00 \$	154.00 \$	Corporation Métaux Précieux du Québec (97787) 100 % (responsable)
CDC-2447676	52.6	9 juin 2020	33C06	17	27	0.00 \$	450.00 \$	154.00 \$	Corporation Métaux Précieux du Québec (97787) 100 % (responsable)
CDC-2447677	52.6	9 juin 2020	33C06	17	31	0.00 \$	450.00 \$	154.00 \$	Corporation Métaux Précieux du Québec (97787) 100 % (responsable)
CDC-2447678	52.6	9 juin 2020	33C06	17	32	0.00 \$	450.00 \$	154.00 \$	Corporation Métaux Précieux du Québec (97787) 100 % (responsable)
CDC-2447679	52.6	9 juin 2020	33C06	17	33	0.00 \$	450.00 \$	154.00 \$	Corporation Métaux Précieux du Québec (97787) 100 % (responsable)
CDC-2447680	52.6	9 juin 2020	33C06	17	34	0.00 \$	450.00 \$	154.00 \$	Corporation Métaux Précieux du Québec (97787) 100 % (responsable)
CDC-2447681	52.6	9 juin 2020	33C06	17	35	0.00 \$	450.00 \$	154.00 \$	Corporation Métaux Précieux du Québec (97787) 100 % (responsable)
CDC-2447682	52.6	9 juin 2020	33C06	17	36	0.00 \$	450.00 \$	154.00 \$	Corporation Métaux Précieux du Québec (97787) 100 % (responsable)
CDC-2447683	52.6	9 juin 2020	33C06	17	37	0.00 \$	450.00 \$	154.00 \$	Corporation Métaux Précieux du Québec (97787) 100 % (responsable)
CDC-2447684	52.6	9 juin 2020	33C06	17	38	0.00 \$	450.00 \$	154.00 \$	Corporation Métaux Précieux du Québec (97787) 100 % (responsable)
CDC-2447685	52.6	9 juin 2020	33C06	17	39	0.00 \$	450.00 \$	154.00 \$	Corporation Métaux Précieux du Québec (97787) 100 % (responsable)
CDC-2447686	52.6	9 juin 2020	33C06	17	40	0.00 \$	450.00 \$	154.00 \$	Corporation Métaux Précieux du Québec (97787) 100 % (responsable)

## Opinaca Gold Lithium - 1

N° titre	Superficie (ha)	Date d'expiration	SNRC	Rang	Lot	Excédents	Travaux requis pour renouvellement	Droits requis pour renouvellement	Détenteur(s)
CDC-2447687	52.6	9 juin 2020	33C06	17	41	0.00 \$	450.00 \$	154.00 \$	Corporation Métaux Précieux du Québec (97787) 100 % (responsable)
CDC-2447688	52.59	9 juin 2020	33C06	18	24	0.00 \$	450.00 \$	154.00 \$	Corporation Métaux Précieux du Québec (97787) 100 % (responsable)
CDC-2447689	52.59	9 juin 2020	33C06	18	25	0.00 \$	450.00 \$	154.00 \$	Corporation Métaux Précieux du Québec (97787) 100 % (responsable)
CDC-2447690	52.59	9 juin 2020	33C06	18	26	0.00 \$	450.00 \$	154.00 \$	Corporation Métaux Précieux du Québec (97787) 100 % (responsable)
CDC-2447691	52.59	9 juin 2020	33C06	18	31	0.00 \$	450.00 \$	154.00 \$	Corporation Métaux Précieux du Québec (97787) 100 % (responsable)
CDC-2447692	52.59	9 juin 2020	33C06	18	32	0.00 \$	450.00 \$	154.00 \$	Corporation Métaux Précieux du Québec (97787) 100 % (responsable)
CDC-2447693	52.59	9 juin 2020	33C06	18	33	0.00 \$	450.00 \$	154.00 \$	Corporation Métaux Précieux du Québec (97787) 100 % (responsable)
CDC-2447694	52.59	9 juin 2020	33C06	18	34	0.00 \$	450.00 \$	154.00 \$	Corporation Métaux Précieux du Québec (97787) 100 % (responsable)
CDC-2447695	52.59	9 juin 2020	33C06	18	37	0.00 \$	450.00 \$	154.00 \$	Corporation Métaux Précieux du Québec (97787) 100 % (responsable)
CDC-2447696	52.59	9 juin 2020	33C06	18	38	0.00 \$	450.00 \$	154.00 \$	Corporation Métaux Précieux du Québec (97787) 100 % (responsable)
CDC-2447697	52.59	9 juin 2020	33C06	18	39	0.00 \$	450.00 \$	154.00 \$	Corporation Métaux Précieux du Québec (97787) 100 % (responsable)
CDC-2447698	52.59	9 juin 2020	33C06	18	40	0.00 \$	450.00 \$	154.00 \$	Corporation Métaux Précieux du Québec (97787) 100 % (responsable)
CDC-2447699	52.59	9 juin 2020	33C06	18	41	0.00 \$	450.00 \$	154.00 \$	Corporation Métaux Précieux du Québec (97787) 100 % (responsable)
CDC-2447700	52.58	9 juin 2020	33C06	19	26	0.00 \$	450.00 \$	154.00 \$	Corporation Métaux Précieux du Québec (97787) 100 % (responsable)
CDC-2447701	52.58	9 juin 2020	33C06	19	27	0.00 \$	450.00 \$	154.00 \$	Corporation Métaux Précieux du Québec (97787) 100 % (responsable)
CDC-2447702	52.58	9 juin 2020	33C06	19	28	0.00 \$	450.00 \$	154.00 \$	Corporation Métaux Précieux du Québec (97787) 100 % (responsable)
CDC-2447703	52.58	9 juin 2020	33C06	19	29	0.00 \$	450.00 \$	154.00 \$	Corporation Métaux Précieux du Québec (97787) 100 % (responsable)
CDC-2447704	52.58	9 juin 2020	33C06	19	30	0.00 \$	450.00 \$	154.00 \$	Corporation Métaux Précieux du Québec (97787) 100 % (responsable)
CDC-2447705	52.58	9 juin 2020	33C06	19	31	0.00 \$	450.00 \$	154.00 \$	Corporation Métaux Précieux du Québec (97787) 100 % (responsable)
CDC-2447706	52.58	9 juin 2020	33C06	19	32	0.00 \$	450.00 \$	154.00 \$	Corporation Métaux Précieux du Québec (97787) 100 % (responsable)
CDC-2447707	52.58	9 juin 2020	33C06	19	33	0.00 \$	450.00 \$	154.00 \$	Corporation Métaux Précieux du Québec (97787) 100 % (responsable)
CDC-2447708	52.58	9 juin 2020	33C06	19	34	0.00 \$	450.00 \$	154.00 \$	Corporation Métaux Précieux du Québec (97787) 100 % (responsable)
CDC-2447709	52.58	9 juin 2020	33C06	19	37	0.00 \$	450.00 \$	154.00 \$	Corporation Métaux Précieux du Québec (97787) 100 % (responsable)

**Opinaca Gold Lithium - 1**

<b>N° titre</b>	<b>Superficie (ha)</b>	<b>Date d'expiration</b>	<b>SNRC</b>	<b>Rang</b>	<b>Lot</b>	<b>Excédents</b>	<b>Travaux requis pour renouvellement</b>	<b>Droits requis pour renouvellement</b>	<b>Détenteur(s)</b>
CDC-2447710	52.58	9 juin 2020	33C06	19	38	0.00 \$	450.00 \$	154.00 \$	Corporation Métaux Précieux du Québec (97787) 100 % (responsable)
CDC-2447711	52.58	9 juin 2020	33C06	19	39	0.00 \$	450.00 \$	154.00 \$	Corporation Métaux Précieux du Québec (97787) 100 % (responsable)
CDC-2447712	52.58	9 juin 2020	33C06	19	40	0.00 \$	450.00 \$	154.00 \$	Corporation Métaux Précieux du Québec (97787) 100 % (responsable)
CDC-2447713	52.58	9 juin 2020	33C06	19	41	0.00 \$	450.00 \$	154.00 \$	Corporation Métaux Précieux du Québec (97787) 100 % (responsable)
CDC-2448364	52.6	13 juin 2020	33C06	17	18	0.00 \$	450.00 \$	154.00 \$	Corporation Métaux Précieux du Québec (97787) 100 % (responsable)
CDC-2448365	52.6	13 juin 2020	33C06	17	19	0.00 \$	450.00 \$	154.00 \$	Corporation Métaux Précieux du Québec (97787) 100 % (responsable)
CDC-2448366	52.6	13 juin 2020	33C06	17	20	0.00 \$	450.00 \$	154.00 \$	Corporation Métaux Précieux du Québec (97787) 100 % (responsable)
CDC-2448367	52.59	13 juin 2020	33C06	18	18	0.00 \$	450.00 \$	154.00 \$	Corporation Métaux Précieux du Québec (97787) 100 % (responsable)
CDC-2448368	52.59	13 juin 2020	33C06	18	19	0.00 \$	450.00 \$	154.00 \$	Corporation Métaux Précieux du Québec (97787) 100 % (responsable)
CDC-2448369	52.59	13 juin 2020	33C06	18	20	0.00 \$	450.00 \$	154.00 \$	Corporation Métaux Précieux du Québec (97787) 100 % (responsable)
<b>56 Claims</b>	<b>2 945.08</b>	<b>29.45 km<sup>2</sup></b>				<b>0.00 \$</b>	<b>25 200.00 \$</b>	<b>8 624.00 \$</b>	

**Opinaca Gold Lithium - 2**

<b>N° titre</b>	<b>Superficie (ha)</b>	<b>Date d'expiration</b>	<b>SNRC</b>	<b>Rang</b>	<b>Lot</b>	<b>Excédents</b>	<b>Travaux requis pour renouvellement</b>	<b>Droits requis pour renouvellement</b>	<b>Détenteur(s)</b>
CDC-2445422	52.66	23 mai 2020	33C06	10	52	0.00 \$	450.00 \$	154.00 \$	Corporation Métaux Précieux du Québec (97787) 100 % (responsable)
CDC-2445423	52.65	23 mai 2020	33C06	11	52	0.00 \$	450.00 \$	154.00 \$	Corporation Métaux Précieux du Québec (97787) 100 % (responsable)
CDC-2445424	52.65	23 mai 2020	33C06	11	55	0.00 \$	450.00 \$	154.00 \$	Corporation Métaux Précieux du Québec (97787) 100 % (responsable)
CDC-2445425	52.64	23 mai 2020	33C06	12	52	0.00 \$	450.00 \$	154.00 \$	Corporation Métaux Précieux du Québec (97787) 100 % (responsable)
CDC-2445426	52.64	23 mai 2020	33C06	12	53	0.00 \$	450.00 \$	154.00 \$	Corporation Métaux Précieux du Québec (97787) 100 % (responsable)
CDC-2445427	52.64	23 mai 2020	33C06	12	54	0.00 \$	450.00 \$	154.00 \$	Corporation Métaux Précieux du Québec (97787) 100 % (responsable)
CDC-2445428	52.64	23 mai 2020	33C06	12	55	0.00 \$	450.00 \$	154.00 \$	Corporation Métaux Précieux du Québec (97787) 100 % (responsable)
CDC-2445429	52.64	23 mai 2020	33C06	12	56	0.00 \$	450.00 \$	154.00 \$	Corporation Métaux Précieux du Québec (97787) 100 % (responsable)
CDC-2445430	52.64	23 mai 2020	33C06	12	57	0.00 \$	450.00 \$	154.00 \$	Corporation Métaux Précieux du Québec (97787) 100 % (responsable)
CDC-2445431	52.63	23 mai 2020	33C06	13	56	0.00 \$	450.00 \$	154.00 \$	Corporation Métaux Précieux du Québec (97787) 100 % (responsable)
CDC-2445432	52.63	23 mai 2020	33C06	13	57	0.00 \$	450.00 \$	154.00 \$	Corporation Métaux Précieux du Québec (97787) 100 % (responsable)
<b>11 Claims</b>	<b>5 785.51</b>	<b>57.86 km<sup>2</sup></b>				<b>0.00 \$</b>	<b>49 500.00 \$</b>	<b>16 9640.00 \$</b>	

---

**ANNEXE II**

---

**PLAN DE LOCALISATION DES TITRES MINIERS**

Carte(s) de dimensions hors standard placée(s) à la suite du présent document ou disponible en GeoTIFF sur la Carte interactive.

Non standard size map(s) positioned after this document or available in GeoTIFF on the Interactive map.



---

**ANNEXE III**

---

**TABLEAU DES STATIONS DE LA PROSPECTION 2019**

Station	Date	Estrant	Nordant	Type	Taille m2	Litho	Description	No d'échantillon	Remarques
		UTM NAD 83 zone18							
OPW-19-01	22-oct-19	343588	5826397	Affleurement	25	S1/M4	Roche très déformée de couleur gris pâle à noir avec tache prononcée de rouille. Roche composée de bandes de mélanosome roche en BO séparées par des bandes de Qz-Fp. Compo:AM-BO-QZ-FP, ALT: GRT, BO SC très variable et beaucoup de micros plis dans la roche Contient entre tr-2% de Py fine et disséminée	A0716652	S1: 342/46
OPW-19-02	22-oct-19	343679	5826431	Boulder		M4	Petit boulder de 50x50 cm de forme très plate ALT:SI Compo: QZ-BO-FP \$: 5-7% Py idiomorphe	A0716655	
OPW-19-03	22-oct-19	343674	5826562	Affleurement	1000	V3-V1	Très grande zone affleurante, très rouillée de surface importante et traversée par un cisaillement. Zone affleurante semble dominé par amphibolite/basalte, mais contient de nombreuses séquences de sédiment et possiblement de vulcanites felsiques. TXT: CS, GF, SC \$: tr-10% de Py avec tr Po	A0716656	
OPW-19-04	22-oct-19	343891	5826462	Affleurement	1000	M16	Très grande zone affleurante, continuité de zone décrite précédemment avec trace de Py		S1: 270/84
OPW-19-05	22-oct-19	343916	5826428	Affleurement	1000	M16-I3	Continuité de station 04, affleurement de couleur noire avec tache blanchâtre et patine altérée et tache de rouille très apparente. TXT: GF, EQ, SC Compo: AM-BO-FP ALT: GRT, BO \$: tr-5% Py diss dans la roche	A0716658	
OPW-19-06	22-oct-19	343984	5826378	Affleurement		S2-S3	Roche de couleur blanchâtre à verdâtre, localement très rouillée et d'aspect laminé. Zone affleurante est la continuité de 2 précédentes stations.	A0716659	S1: 296/84
OPW-19-07	22-oct-19	344088	5826263	Affleurement	100	S2	Roche de couleur brunâtre à blanchâtre d'Aspect lité. Les lits sont d'épaisseur cm à dm, composé de QZ-FP avec +/- BO Compo: Fp-Bo-Qz TXT:GF, SA, SC		S0: 030/34
OPW-19-08	22-oct-19	344081	5826187	Affleurement		M8-S6	Série d'affleurements, continuité de station précédente. La roche forme des feuillets se détachant. TXT: AP-GF, GP, SC	A0716661	
OPW-19-09	22-oct-19	344309	5826025	Affleurement	20	S2	Couleur gris pâle à brunâtre et localement rouillé. Arénite rubanée composée de lits cm à dm de grès quartzo-feldspathique et de wacke riche en Bo. Tr de Py avec possible Po	A0716662	S0: 334/42
OPW-19-10	23-oct-19	344744	5825781	Affleurement		S4	Énorme sommet de bouton de couleur noire, roche semble hétérogène d'un bout à l'autre. Roche est très amphibolitisée. ALT: GF-GM, SC		S1 L1: 117/78 62
OPW-19-11	23-oct-19	343962	5825800	Affleurement	100	S6-S2	Série d'affleurements de mudrock laminé verdâtre en contact avec des grès +/- massif le tout recoupé par des dykes de pegmatite semi-concordante à discordant. Quelques veines de quartz rouillé visible. Compo de S2 riche en AM-BO +/-CL et contient 20-30% de claste granitique de taille mm dans S2: 1-3% de Py, idiomorphe à hypidiomorphe, 1-2 mm en taille Dans S6: Py très fine, de couleur jaune à blanchâtre, très très fine et disséminé.	A0716666 A0716667	S1 LA: 072/64 038/62
OPW-19-12	23-oct-19	344035	5825810	Affleurement	100	S9	Continuité de station précédente, niveau de formation de fer coincé à l'intérieur des unités de S2-S6 décrites précédemment. S9 consiste en des bandes cm de qtz, boudine et déformé séparé par de minces bandes amphibiotique riche en magnétite.	A0716668	S1:: 090/70

Station	Date	Estrant	Nordant	Type	Taille m2	Litho	Description	No d'échantillon	Remarques
		UTM NAD 83 zone18							
							TXT: RU, GF, DEF 1-5% Py, surtout présente dans bande dans Am.		
OPW-19-13	23-oct-19	344128	5825853	Affleurement	50	S6	Très rouillé, de couleur noire à orange. Constitué surtout de mudrock avec 5-20% de Py très fine et disséminée. Roche se défait en "slate". TXT: SA, AP-GF, SC En contact avec grès quartzo-feldspathique, très rouillé, mais pauvre en sulfure.	A0716669	S1: 287/80
OPW-19-14	23-oct-19	344764	5826123	Affleurement	1000	S2A	Grande crête ressortant du sol. De couleur gris-verdâtre à orangé. Station prise sur une zone passablement rouillée. Roche consiste en des séquences de grès interlité avec quelques séquences de conglomérats polygéniques. TXT:Gf, GF, SA 5-15% de Py, 2 types de Py, blanc hypidiomorphique et disséminé. Et jaune, très fin, idiomorphique et placage le long des plans de Sc.	A0716670	
OPW-19-15	23-oct-19	344777	5826168	Affleurement	1000	S2	Série d'affleurements en continuité avec station 14. Très rouillé, parfois rougeâtre. Roche consiste en une arénite avec cailloux de Qz, litée et schistosée. Compo: AM-BO-FP-QZ 5-10% de cailloux de Qz TXT: LA, SC, GF 5-10% de Py très fine et disséminée.	A0716673	S1 S0: 076/68 310/48
OPW-19-16	23-oct-19	344911	5826102	Affleurement	100	S2	De couleur blanchâtre à orangé, aspect lité. Séquence de grès typique formant des lits cm à dm bien définis. Compo variant entre Qz-Fp et Am-Bo. Présence de lits riche en grenat avec possiblement andalousite.		S0 S1: 342/34 092/70
OPW-19-17	23-oct-19	345054	5825972	Affleurement	500	I1G	Button de pegmatite, recourent les séquences sédimentaires selon un axe N-S		
OPW-19-18	23-oct-19	345220	5825945	Affleurement		S2	Affleurement de couleur blanchâtre à gris clair. Séquence d'arénite à composition + quartzitique, bien litée et schistosée. TXT: SA, SC, GF \$: 1-2% de Py blanche, subhedral, grain fin et disséminé	A0716675	S0 S1: 290/85 002/35
OPW-19-19	23-oct-19	345311	5825942	Affleurement	1000	S2	Série d'affleurements similaires à arénite décrite précédemment. Station prise sur une faille apparente, roche forme des feuillets qui se détachent facilement. Mouvement de faille impossible à déterminer due à la météorisation importante. TXT: FR, AP-GF, SC, CS. \$:1-5% Py, très fine et disséminé. ALT: SI+	A0716676	S0: 002/42
OPW-19-20	23-oct-19	345398	5826048	Affleurement	1000	S2-S6	Faille, roche très schisteuse similaire à précédente station. Protolithe probablement issue d'un S2 et/ou S6. Localement très rouillé et avec des bandes de QZ. TXT: CS, AP-GF, SC ALT: SI+, BO \$: 1-3% Py, blanche, Gf, disséminé	A0716679	S1: 034/58
OPW-19-21	23-oct-19	345420	5826135	Affleurement		S4E	Grand affleurement, couleur gris pâle à blanchâtre avec surface rouillée importante. Roche semble être un conglomérat polygénique à matrice arénitique et cailloux QZ TXT: SC, HT,GF \$: 3-10% Py, plusieurs clastes très pyritisés.	A0716680	S1: 280/80
OPW-19-22	24-oct-19	343726	5826176	Affleurement	100	M16	Grand affleurement partiellement recouvert de mousse, sable et arbre. De couleur gris foncé à mauve avec fréquente tache de rouille et traversé par un dyke felsique sur un axe 120-300. TXT: AP-GF, SC		S1: 272/70

Station	Date	Estrant	Nordant	Type	Taille m2	Litho	Description	No d'échantillon	Remarques
		UTM NAD 83 zone18							
							Compo: AM-BO-FP \$: TR-Py dans zone de rouille.		
OPW-19-23	24-oct-19	343869	5826260	Affleurement	1000	M16	Affleurement de couleur noirâtre avec tache de rouille. Consiste en amphibolite traversée par une zone de shear modérée. Roche contient localement des veinules mm à cm concordants avec quelques grains de Py. Roche encaissante parfois bien minéralisée, jusqu'à 5-10% de Py très fine et disséminée Il y a 2 réseaux de veinules, l'un concordant à Sc. Le second conjoint à Sc avec un angle 30-45°. Consiste en des veinules de remplissage des fractures. Quelques veines de Qz de tension également de taille cm.	A0716686 A0716687 A0716688	
OPW-19-24	24-oct-19	344012	5826271	Affleurement	1000	V2-S6	Toujours sur série d'affleurements en continuité avec précédente station. Roche apparaît gris pâle à foncer avec tache de rouille. Station prise sur importante tache de rouille ou des mudrocks laminés sont en contact avec des tufs intermédiaires. TXT: GF-GM, SC Compo: FP-BO-AM +/-CL, Consist en une matrice de grain fin surtout composé de Fp avec quelques phénocristaux AM. \$: 5-8% Py-Po, diss dans la roche homogènement, GF et Idiomorphique à hypidiomorphique. Légèrement SI localement.	A0716691 A0716692	
OPW-19-25	24-oct-19	344490	5826598	Affleurement		S4	Affleurement ressortant du marécage. Couleur gris clair à foncer avec une tache de rouille. Semble surtout constituer de tuf intermédiaire avec quelques séquences sédimentaires métriques de grès conglomératiques. TXT: GF-GM, SC, HT, HM \$: 3-5% Py+Po	A0716693	S1: 280/85
OPW-19-26	24-oct-19	344783	5826737	Affleurement		S6	Affleurement de couleur grise pâle à noirâtre et d'aspect laminé. Consiste en des mudrocks/wackes pyriteux avec possible présence d'Asp. TXT: AP-GF, SC, LA Compo: AM-BO +/-FP +/-CL \$: 10-20% Py, local et diss, de couleur blanche, diss ou en amas diss.	A0716694	S1 LA: 274/90 350/38
OPW-19-27	24-oct-19	344755	5826883	Affleurement		S6	Série d'affleurements très rouillés, strate orientée vers le nord et correspondant aux mudrocks décrit sur à la précédente station. TXT: LA, AP-GF, SC		LA S1: 270/82 332/50
OPW-19-28	24-oct-19	344769	5827113	Affleurement		S2	Série d'affleurements de couleur blanchâtre à gris clair, la plupart montrant des laminations. Station prise sur affleurement lité recoupé par une veine de Qz blanc. TXT: LA, GF, SA Litage, très bien visible recoupé par une veine // à S0.	A0716723	S0 S1: 316/74 271/76
OPW-19-29	25-oct-19	345081	5825909	Affleurement	1000	S1/M8	Série d'affleurements de couleur blanche en noir, local très rouillé. Roche probablement d'origine sédimentaire, contient un fort % de BO-CL avec possible Andalousite. Unité en contact avec un important dyke de peg // a Sc TXT: GR, SC, GF-GM Compo: Fp 15-30%, BO 15-30%, QZ 20-25%, And 10-40% \$: 1-3% Py, GF, diss, hypidio avec possibilité de Po en trace.	A0716695	S1: 272/60
OPW-19-30	25-oct-19	345585	5825983	Affleurement		S2A	Affleurement, blanchâtre à grisâtre aspect lité et localement rouillé. TXT: SA, GF, SC Compo: QZ-FP-BO-AM +/- GRT \$: Tr-2% diss		S1 S0: 282/78 334/40
OPW-19-31	25-oct-19	345619	5825998	Affleurement	50	S6	Affleurement en forme de crête, très rouillé, en surface. Semble être un mudrock typique décrit précédemment. \$: 5-20% Py, très fine, Idio à hypidio et disséminé	A0716696	S1: 284/72

Station	Date	Estrant	Nordant	Type	Taille m2	Litho	Description	No d'échantillon	Remarques
		UTM NAD 83 zone18							
OPW-19-32	25-oct-19	346276	5826281	Affleurement		V2[TU]	Petit affleurement en milieu d'un champ de blocs. De couleur gris pâle et rouillée en patine altérée. Noir en cassure fraîche. Possible conglomérat à bloc. La rouille semble associée à un mince niveau de formation de fer. Roche faiblement magnétique. TXT: SA, GF, SC COMPO: très riche en BO-AM, QZ +/- FP ALT: GRT, AM \$: 2-4% Py fins ou en mince lamelle étirée à Sc	A0716697	
OPW-19-33	25-oct-19	346395	5826279	Affleurement	25	V2[TU]	Affleurement de couleur blanchâtre et noir avec tache de rouille. Consiste en un tuf intermédiaire à lapillis, bloc dans une matrice mafique et très amphibolitisé. Matrice composée d'AM-BO-MT +/- GRT et lapillis compos felsique TXT: HT, SC, GF-GM \$: 2-5% Py et Po diss dans matrice	A0716699	S1: 076/76
OPW-19-34	25-oct-19	346862	5826080	Affleurement	50	S4D	Affleurement de couleur blanchâtre à gris clair avec tache de rouille, aspect clastique et hétérogène. Claste de compo volcanique et granitique, localement très quartzeux. Matrice de compo AM-BO-FP+/-QZ		S1: 181/85
OPW-19-35	25-oct-19	347043	5826552	Affleurement	4	S6/M8	Affleurement très rouillé et ressortant du sol près d'une crête, possible bloc? Roche semble être un mudrock cisailé. TXT: SC, SA, AP-GF ALT: SI, BO \$: 5-10% de Py très fine et disséminée.	A0716701	
OPW-19-36	26-oct-19	345816	5828297	Affleurement	25	V2[TU]	Affleurement de couleur noirâtre en patine altéré et gris foncé avec teinte verdâtre en cassure fraîche. TXT: LA, SC, GF-AP COMPO: Semble composé d'une matrice intermédiaire à felsique avec de petits grains AM (10%) \$: Tr-1%, 1-3 mm, hypidio, diss ds roche	A0716703 A0716704	S1: 088/70
OPW-19-37	26-oct-19	344604	5826896	Affleurement	10	S4D	Petit affleurement de couleur orange avec dyke blanchâtre qui traverse. Très très rouillé en surface, de couleur gris à bleuter en cassure fraîche. Matrice composée AM-BO, les fragments surtout feldspathiques. TXT: HT, GF-GM, SC \$: 3-4% de Py blanche, hypidio, 1-2 mm en taille et disséminé	A0716710 A0716711	S1: 292/78
OPW-19-38	26-oct-19	344645	5826964	Affleurement	10	S4D	Affleurement rouillé avec dykes pegmatitique blanchâtres traversant discontinuellement ce dernier. Roche toutefois pauvre en sulfure malgré la rouille. TXT: AP-GF, SC, HT ALT: SI++, ACT+, BO+	A0716712	S1: 290/80
OPW-19-39	26-oct-19	344557	5827005	Affleurement	25	S3/S4	Affleurement de couleur verdâtre à blanchâtre et traversé par une bande métrique très rouillée. Roche consiste en des séquences de grès interlité avec des conglomérats polygéniques. S3 de couleur verdâtre avec petits fragments lithiques (granitique ?), S4 de couleur blanchâtre et localement très rouillée.		FA: 279/78
OPW-19-40	26-oct-19	344914	5827165	Affleurement		S2	Série d'affleurements en crête E-W, ressortant du sol de 2-4 mètres et de couleur blanchâtre. Gris pâle à verdâtre en cassure fraîche. Roche consiste en un grès laminé, lamination entrecroisée visible. Alternance entre bandes très riches en Bo (wacke) interlitée avec des arénites quartzofeldspathiques. TXT: SA, GF, SC		LA S1: 080/74 268#90
OPW-19-41	26-oct-19	345233	5827334	Affleurement	1000	S2/S4	Grand affleurement sur bord 'un lac, côté ouest, de couleur blanche à gris clair et travers par un important cisaillement d'épaisseur métrique en relief négatif par rapport à roche encaissante. La rouille est abondante en bordure du cisaillement. Roche très similaire à celle décrite à station 040, mais avec cailloux de composition granitique et Qz. Roche contient des lits riches en grenat (< 60%) et souvent minéralisés en Py et possiblement Po, entre Tr-10%. Le cisaillement contient des veinules de Qz fumé (5-10%) d'épaisseur mm, localement boudiné et plissé généralement orienté // à Sc.	A0716713 A0716714 A0716720 A0716721	CS: 085/80

Station	Date	Estrant	Nordant	Type	Taille m2	Litho	Description	No d'échantillon	Remarques
		UTM NAD 83 zone18							
							TXT: SA, SC, GF \$: Tr-10% Py, GF, disséminé et/ou en fine lamelle mm parallèle à Sc		
OPW-19-42	26-oct-19	345356	5827704	Affleurement	25	S4D	Affleurement de blanchâtre avec tache locale de rouille en patine altérée. De couleur grise à verdâtre avec tache blanchâtre en cassure fraîche. Les clastes semblent de compo quartzo-feldspathique, de taille mm (1-5 mm), généralement arrondis à subarrondis et déformé par la Sc.		S1: 300/90
OPW-19-43	26-oct-19	345292	5827977	Affleurement	100	M4	Grand affleurement de couleur gris verdâtre foncé avec tache de rouille en patine altérée. Noirâtre à gris foncé en cassure fraîche. Roche est assez riche en AM-BO avec Qz-Fp accessoire. TXT: GF, SC, GR ALT: AM, BO \$: TR-3% de Py, GF, diss dans la roche, couleur blanchâtre, hypidiomorphe à xénomorphe	A0716715	S1: 284/76
OPW-19-44	26-oct-19	345277	5828169	Affleurement	10	S4/V2	Affleurement de couleur noire à verdâtre avec tache blanche en patine altérée, gris clair à verdâtre en cassure fraîche. Roche contenant +/- 25% de claste de compo felsique possiblement lapillis dans une matrice très riche en AM-BO. Plusieurs phénocristaux visibles. Pas vrm de minéralisation visible. TXT: HT, SC, GF-GM		S1: 280/80
OPW-19-45	26-oct-19	345224	5828385	Affleurement	100	S2/S4	Séquence de conglomérat et de grès litée qui apparaît fréquemment rouillée. Présence de lamination entrecroisée dans les grès à plusieurs endroits avec des microplis visibles localement. Les fragments dans les conglos sont fortement alignés avec la Sc et allongés selon une ration allant de 1:3 à 1:5. Leur composition varie, mais est dominée par des fragments de compo quartzofeldspathique, probablement d'origine granitique, des fragments quartzeux et volcaniques sont également visibles. TXT: SA, GF, SC, HT		SA S1: 285/84 095/88
OPW-19-46	26-oct-19	345208	5828035	Affleurement	1	M4	Affleurement très rouillé de couleur orange en patine d'altération et gris clair en cassure fraîche. Très similaire à roche décrits à la station 043. TXT: GF-AP-SC \$: 2-4% de Py disséminé, blanchâtre et de forme Idiomorphe à hypidiomorphe, de 1-3 mm en taille	A0716716	S1: 092/90
OPW-19-47	27-oct-19	344966	5827940	Affleurement	50	S4	De couleur foncée, grise à noir, avec tache de rouille fréquente en surface météorisée. Noirâtre en cassure fraîche. Conglomérat similaire à ceux décrits précédemment. Roche 2-4% Py, blanche, Idiomorphe à hypidiomorphe faisant < 1mm en taille.		S1: 260/90
OPW-19-48	27-oct-19	344040	5826802	Affleurement	10	S2B/S2C	Aff très rouillé en patine altérée et gris moyen en cassure fraîche. Grès quartzofeldspathique à grain fin et faiblement Sc. TXT: GF, SC, LA. \$: 1-2% Py, GF disséminé avec présence de graphite en trace.	A0716719	S1: 284/72
OPW-19-49	27-oct-19	345118	5827327	Affleurement	10	M8-S3	De couleur blanchâtre vers le nord et rouillée sur une large partie au sud. Roche semble cisailé et a un aspect laminé. Se détache en "slate", faiblement cisailé avec présence de quelque veine boudinée et déformée. TXT: CS, LA, GF-AP ALT: SI++, BO+ \$: Tr de Py très fine et disséminé.	A0716722	S1: 076/84
OPW-19-50	27-oct-19	345010	5827313	Affleurement	100	S2/S3	Grand affleurement de couleur blanchâtre à verdâtre avec horizon cm à dm, très rouillé. Zone dans continuité d'affleurement 041 traversé par un cisaillement d'épaisseur métrique orientée E-W. Roche consiste en des niveaux de grès quartzofeldspathique blanchâtre interlités avec des wackes amphibolitisé, localement très riche en grenat. Le tout est très schistosé. Les grenats sont regroupés sur dans des bandes d'épaisseur cm à dm ou ils représentent > 50% des composants, de forme euhedral à subhedral.. Ces dernières sont plissées et "M" et en "S" et la minéralisation est concentrée principalement à l'intérieur des charnières de plis. Plusieurs veines de quartz mm à cm concordant à Sc. TXT: SA, CS, SC, GF-GM, PO. \$: Tr-5% Py blanche disséminé dans tous les échantillons, idiomorphe à hypidiomorphe et disséminé ou en	A0716724 A0716725 A0716726	S1: 086/88

Station	Date	Estrant	Nordant	Type	Taille m2	Litho	Description	No d'échantillon	Remarques
		UTM NAD 83 zone18							
							mince lamelle // à Sc.		
OPW-19-51	27-oct-19	344972	5827313	Affleurement	15	S2/S3	Aff très rouillé et cisailé, contiens des niveaux riches en grenat. Roche d'aspect laminé et cisailé. Continuité de station décrite en 050. TXT: SA, GF-GM, PO, SC, CS \$: 2-3% Py très fin concentré dans niveau riche en grenat, ce dernier est large d'environ 20 cm.	A0716727	S1: 280/85
OPW-19-52	27-oct-19	344639	5827389	Affleurement	100	S2/S3	Continuité du cisaillement décrit lors des affleurements précédent (041, et 049-051). Roche rouillée au sud (wacke) en contact avec des grès lités blanchâtres. Les deux unités montre des micro et macro plissements en "M" pointant vers l'ouest, impossible de déterminé la plongée. TXT: SA, GF-GM, PO, SC, CS \$: TR-2%, surtout associé avec des lits de S3 riche en grenat.	A0716728	S1: 270/80
OPW-19-53	27-oct-19	344510	5827379	Affleurement	1000	S2C	Série d'affleurements très rouillés, continuité du cisaillement décrit par station 049-052, roche de couleur blanchâtre à grise pale en cassure fraîche. Arénite quartzofeldspathique! TXT: GF, LA, SC \$: Tr-2% Py très fine, possible avec Mt en trace.	A0716729	S1: 068/82
OPW-19-54	30-oct-19	342627	5826661	Affleurement	1000	I1B/I1C	Sommet de bouton, roche localement recouverte de mousse et d'arbre, de couleur blanche à rose et recoupée localement par dyke de pegmatite. Compo: QZ, K-FP, PG, BO TXT: GG, PO, PG, GR		
OPW-19-55	30-oct-19	342726	5826689	Affleurement	50	M4	Affleurement de couleur blanchâtre à noir, très folié. Paragneiss riche en amphibole et contact avec granite décrit à station précédente. Compo: AM-BO-FP-QZ TXT: SC, GR, GF-GM		S1: 284/60
OPW-19-56	30-oct-19	343200	5827096	Affleurement	1000	S4D/M4	Affleurement de couleur verdâtre foncé avec tache blanchâtre traversée par plusieurs dykes d'épaisseur cm à m. Roche ressemble beaucoup au paragneiss décrits en 054, mais contient des fragments granitiques cm subarrondis (< 40%). La matrice est très riche en AM-BO (< 30-40%) avec QZ-FP+/-BO. TXT: HT, SC, GF-GM \$: 3-5% Py blanche avec possible Po, Idio à hypidiomorphe et disséminé.	A0716761	S1: 066/52
OPW-19-57	30-oct-19	343045	5827478	Affleurement	100	S2/S4	Affleurment de couleur blanchâtre à noirâtre traversé par un cisaillement rouillé d'épaisseur métrique. Possible prolongement du cisaillement décrits station 041 et 047-053. Roche consiste en des bandes très riches en AM-BO+/-QZ+/-FP interlitée avec des bandes contenant des fragments, souvent de compo granitique, très riche en grenat et possiblement andalousite. TXT: HT, CS, SC, GF-GM ALT: AM++, BO+ et recoupé par des veinules de QZ concordantes et à QZ-FP discordante avec SC. \$:3-7% PY blanche, disséminé ou en mince lamelle // à Sc et de 1-2 mm en taille	A0716762 A0716763	S1: 258/88
OPW-19-58	30-oct-19	343153	5827470	Affleurement	101	S4/M4	Affleurement de continuité de celui décrit en 057 de couleur blanchâtre avec bande rouillé d'épaisseur métrique. Roche conglomératique, d'aspect laminé interlitée avec des grès quartzofeldspathique, bande d'épaisseur dm à m. Matrice du conglomérat riche et QZ-FP avec des fragments granitiques. TXT: SC, CS, GF, HT, SA \$: 3-5% Py blanche avec trace de Po, grain fin et disséminé.	A0716765	S1: 266/80
A0716651	22-OCT-19 8:42:54AM	343583	5826400					A0716651	
A0716653	22-OCT-19 8:55:57AM	343598	5826397					A0716653	
A0716654	22-OCT-19 9:32:28AM	343725	5826532					A0716654	
A0716657	22-OCT-19	343911	5826396					A0716657	



Station	Date	Estrant	Nordant	Type	Taille m2	Litho	Description	No d'échantillon	Remarques
		UTM NAD 83 zone18							
	10:20:36AM								
A0716660	22-OCT-19 11:10:44AM	344095	5826068					A0716660	
A0716663	22-OCT-19 12:00:00PM	344383	5825949					A0716663	
A0716664	22-OCT-19 12:28:54PM	344395	5825956					A0716664	
A0716665	22-OCT-19 1:25:09PM	344113	5825719					A0716665	
A0716671	23-OCT-19 9:45:38AM	344503	5826452					A0716671	
A0716672	23-OCT-19 10:51:05AM	344755	5826228					A0716672	
A0716674	23-OCT-19 11:54:39AM	345297	5825974					A0716674	
A0716677	23-OCT-19 12:47:15PM	345342	5825919					A0716677	
A0716705	23-OCT-19 12:47:15PM	345342	5825919					A0716705	
A0716678	23-OCT-19 12:34:52PM	345333	5825937					A0716678	
A0716681	24-OCT-19 8:49:47AM	343940	5826430					A0716681	
A0716682	24-OCT-19 9:05:23AM	343995	5826437					A0716682	
A0716683	24-OCT-19 9:16:42AM	344057	5826464					A0716683	
A0716684	24-OCT-19 10:08:53AM	344031	5826300					A0716684	
A0716685	24-OCT-19 10:44:02AM	344202	5826487					A0716685	
A0716689	24-OCT-19 12:30:22PM	345073	5826647					A0716689	
A0716690	24-OCT-19 1:12:32PM	345297	5826519					A0716690	
A0716698	25-OCT-19 10:12:09AM	346464	5826317					A0716698	
A0716700	25-OCT-19 10:26:28AM	346491	5826335					A0716700	
A0716702	25-OCT-19 11:58:34AM	347666	5826559					A0716702	
A0716706	26-OCT-19 8:43:50AM	344591	5826919					A0716706	
A0716707	26-OCT-19 11:25:15AM	345251	5827331					A0716707	
A0716708	26-OCT-19 11:35:23AM	345245	5827334					A0716708	
A0716709	26-OCT-19 12:37:03PM	345251	5827907					A0716709	
A0716717	26-OCT-19 2:40:11PM	344967	5827940					A0716717	
A0716718	26-OCT-19 2:25:30PM	345021	5827962					A0716718	
A0716730	27-OCT-19 11:36:48AM	344608	5827896					A0716730	
A0716731	27-OCT-19 11:55:20AM	344789	5827922					A0716731	



Station	Date	Estrant	Nordant	Type	Taille m2	Litho	Description	No d'échantillon	Remarques
		UTM NAD 83 zone18							
A0716746	30-OCT-19 11:09:03AM	343026	5827689					A0716746	
A0716747	30-OCT-19 11:52:33AM	343143	5827465					A0716747	
A0716748	30-OCT-19 11:53:04AM	343132	5827465					A0716748	
A0716749	30-OCT-19 11:53:30AM	343127	5827464					A0716749	
A0716764	30-OCT-19 11:27:12AM	343035	5827479					A0716764	
OPL-19-01	28-oct-19	343462	5807872	Affleurement	1000	I1B	Affleurement de couleur blanchâtre à rosâtre, granite à grain grossier avec poche pegmatitique. Certaines des poches pegmatitique sont très riche en Fp-K. TXT: GM-GG, PG, MA		
OPL-19-02	28-oct-19	343452	5807819	Affleurement	25	V2	Affleurement de couleur verdâtre, bien Sc, possiblement enclave dans pluton granitique. Roche volcanique intermédiaire avec qq phénocristaux d'AM recoupé par 2-3% de veinules de Qz mm +/- concordante. TXT: GF, SC	A0716732	S1 :332/26
OPL-19-03	28-oct-19	343327	5807407	Affleurement	1000	I1B	Série d'affleurements de couleur rose à blanchâtre, parfois recouvert jusqu'à 70% de mousse. Granite avec enclave pegmatitique et localement recoupé par des dykes également Pegmatitique. Ces derniers peuvent être très riches en Fp-K. TXT: MA, GM-GG, PG		
OPL-19-04	28-oct-19	343779	5807205	Affleurement	1000	I1B-M3	Série d'affleurements de granite rose à blanchâtre avec texture pegmatique localement. Contiens des enclaves de gneiss non rubanées à texture cataclastique avec porphyroclasts de FP et FP-K de 1-5 mm et taille et généralement de forme arrondie. TXT: GM-GG, PG. PO. SC (M3)		S1 :344/24
OPL-19-05	28-oct-19	343667	5807058	Affleurement	60	M8-V3	Affleurement de couleur noire à verdâtre foncé. Schiste à Bo-Cl marquant la présence d'un cisaillement. TXT:GF-GM, SC		S1 :070/44
OPL-19-06	28-oct-19	343689	5806949	Affleurement		V3	Série d'affleurements noire à verdâtre traversé par une veine de Qz mm à cm concordant avec Sc. Basalte localement bréchifié et faiblement altéré. TXT: AP-GF, SC, BX ALT: SI+, CL+ \$: Présence de Py, tr-2% dans marge de la veine, possible présence d'un grain de CP ou OR!!!	A0716733	S1 :082/48
OPL-19-07	28-oct-19	343770	5806940	Affleurement		V3	Très similaire à station 06, basalte schistosé avec zone de rouille d'épaisseur cm à dm. \$: TR-5% Py, grain fin et disséminé.	A0716735	S1 :058/40
OPL-19-08	28-oct-19	343835	5806754	Affleurement	100	V3	Grand affleurement de couleur noirâtre en patine d'altération et en cassure fraîche. Basalte schistosé typique de ceux décrits précédemment. TXT: AP-GF, SC		S1 :078/60
OPL-19-09	28-oct-19	343965	5806762	Affleurement		V3	Basalte schistosé très similaire à ceux décrits précédemment. TXT: SC, GF \$: 1-3% Py, diss ou en stringers mm (< 1mm) // à Sc.	A0716738	S1 :096/66
OPL-19-10	28-oct-19	344107	5806841	Affleurement	10000	V3	Sommet d'une importante crête, roche de couleur noirâtre à verdâtre et localement traversé par dyke de peg. Station prise sur une faille traversant l'affleurement selon un axe NE-SW approximativement. TXT: CS, SC, GF-AP \$: 3-5% Py diss en grain hypidio de 1-2 mm en taille le long de petites veinules de Qz.	A0716740	S1 :048/60
OPL-19-11	28-oct-19	344149	5806845	Affleurement		V3	Continuité de station 010, à +/- 25 mètres vers l'ouest. TXT: SC, CS, GF \$: 5-10% de Py avec trace de Po diss. Roche traversée par une petite réseau de stringer concordant et	A0716742	S1 :078/56

Station	Date	Estrant	Nordant	Type	Taille m2	Litho	Description	No d'échantillon	Remarques
		UTM NAD 83 zone18							
							discordant.		
OPL-19-12	28-oct-19	344397	5806996	Affleurement	100	V3	Affleurement de basalte cisailé et localement rouillé traversé par plusieurs veinules de Qz concordante avec Py-Po et qq stringers de Py semi-massif. TXT: CS, GF, SC, VN	A0716743	S1 :106/72
OPL-19-13	28-oct-19	344635	5808243	Affleurement	25	M4-M8	Affleurement de couleur gris-verdâtre à blanchâtre avec horizon rouillé d'épaisseur métrique. Paragneiss avec lits roche en Bo d'épaisseur dm à m interlité avec plusieurs lits cm à dm de Fp-Qz blanchâtre. Zone traversée par cisaillement rendant roche très Sc et se détachant en feuillet localement. Plusieurs veinules de Py semi-massive, épaisseur mm (< 2mm) sont visibles. Jusqu'à 10% de Py dans roche, 5-7% en moyenne. TXT: SA, SC, GF-GM, PO	A0716745	S1 :266/76
OPL-19-14	29-oct-19	342788	5807940	Affleurement	1000	I1B	Série d'affleurements de couleur rose à blanchâtre, sommet de bouton arrondi. Granite contenant de nombreuses poches et dyke de pegmatites avec des K-FP allant jusqu'à 1 cm en taille. Les dykes ont une orientation générale à N020 et sont d'épaisseur dm à m. TXT: PO, GM-GR, PG COMPO: K-FP, FP, QZ, BO		Fo :264/36
OPL-19-15	29-oct-19	341570	5806849	Affleurement	50	I1B	Affleurement de couleur grisâtre avec tache rosâtre localisé sur bord d'un sommet. Traversé par des dykes de pegmatite d'épaisseur métrique orientée N015 approximativement. TXT: PO, PG, FP, GM-GG		Fo :045/80
OPL-19-16	29-oct-19	341479	5806692	Affleurement	1000	V3	Affleurement localisé de crête de couleur gris-verdâtre et bien schistosé et localement rouillé. Basalte cisailé, localement rouillé et laminé (presque millonitique). Contient jusqu'à 3-5% veinules mm de qz // à Sc. TXT: GF-AP, SC, LA \$: 2-5% Py blanchâtre disséminé, localement en petites lamelles mm // à Sc.	A0716752	S1 :072/50
OPL-19-17	29-oct-19	341190	5806609	Affleurement	1000	V3	Sommet de crête, roche de couleur grisâtre à noirâtre. Séquence de basalte, avec plusieurs horizons béchiques et quelques horizons mm à cm de tuf à lapillis, possiblement de compo intermédiaire. Station prise sur zone assez déformée avec +/-5% de vnls de qz minéralisés. TXT: SC, BX, GF-AP \$: 3-5% Py Py jaune hypidiomorphique en amas mm associé à vnls de qz.	A0716754	S1 :058/60
OPL-19-18	29-oct-19	340633	5806521	Affleurement	1000	V3	Affleurement sur sommet de crête, continuité de 3 précédentes stations, basalte cisailé avec injection de dyke granitique // à Sc. Les dykes contiennent des fragments volcaniques mm à cm, anguleux et concentré sur les bords des marges. Ceux-ci sont composés de FP-QZ+/-BO+/-FP-K. Les marges sont altérées SI+, CL+ et légèrement lessivé. TXT: BX, CS, GF-GM \$: Tr-1% Py +/-Po dans les marges.	A0716756	S1 :070/54
OPL-19-19	29-oct-19	340522	5806493	Affleurement	1000	V3	Continuité de cisaillement décrits en station 018, localisé juste à côté d'un pli en "S" d'ampleur métrique. TXT:CS, SC, GF,	A0716759	S1 :062/52
OPL-19-20	29-oct-19	340243	5806477	Affleurement	100	V3	Affleurement de couleur gris-verdâtre foncé. Basalte cisailé avec horizon rouillé sur plusieurs mètres. TXT: SC, CS, GF \$: TR-2%, Py diss avec trace de CP, présence de graphite.	A0716760	S1 :036/72
OPL-19-21	31-oct-19	344619	5808387	Affleurement	100	V3	Grand affleurement sur bord de route de la BJ de couleur verdâtre et d'Aspect laminé. Roche de couleur gris foncé à noir en cassure fraîche. Consiste en une basalte cisailé, localement mylonitisé, contient jusqu'à 25% de veinules de Qz grise à blanchâtre // à Sc dans zone de cisaillement. Les veinules sont de largeur mm à cm, // à Sc, souvent plissé et localement boudiné. TXT: CS, LA, SC, AP-GF \$: TR-2% Py-Po, diss le long des plans de Sc.	A0716766	S1 :086/76
OPL-19-22	31-oct-19	344664	5808337	Affleurement		V3-M8	Même grande surface affleurante que précédente station à +/- 70 mètres l'est. Zone de rouille faite	A0716769	S1 :060/86

Station	Date	Estrant	Nordant	Type	Taille m2	Litho	Description	No d'échantillon	Remarques
		UTM NAD 83 zone18							
							approximativement 1 mètre de large. Zone contient jusqu'à 40% de veinules de QZ, boudinées et plissées par la SC. TXT: CS, SC, GF, VN \$: Tr-3%, Py diss, surtout en bordure des veinules de QZ.		
OPL-19-23	31-oct-19	344460	5808261	Affleurement	25	V3-M8	Affleurement de couleur verdâtre et rouillé, traversé par un cisaillement métrique. La roche apparaît laminée dans le cisaillement et des veines de qz sont injectées parallèlement à Sc. Ces dernières sont d'épaisseur mm à cm.	A0716771	S1 :266/80
OPL-19-24	31-oct-19	344140	5808464	Affleurement	50	V3-M8	Affleurement de couleur noire à verdâtre avec tache de rouille. Traversé par un cisaillement métrique et des veines de Qz // à la Sc. TXT: CS, SC, GF, LA \$: Tr-3% Py, souvent en mince stringer en marge des veines de Qz.	A0716772	
OPL-19-25	31-oct-19	344300	5808470	Affleurement	1000	V3-M8	Grand affleurement partiellement recouvert d'arbres et de mousse. Roche d'aspect laminé et de couleur verdâtre. Consistes-en des basaltes très cisailés, injecté de veines de Qz et de petit dyke felsique et pegmatitique souvent discordant. TXT: CS, SC, GF \$: 2-4% Py, stringers mm // à Sc et disséminé, Tr Cp.	A0716773	S1 :210/84
OPL-19-26	31-oct-19	345764	5808272	Affleurement		V3-M8	Grand affleurement rouillé sur bord de la route de la BJ. Basalte cisailé localement injecté de veinules de Qz boudinée et plissée par la Sc. A roche semble légèrement silicifié et chloritisé TXT: CS, VN, GF, SC ALT: SI+, CL+ \$: Tr Py	A0716774	S1 :098/80
OPL-19-27	01-nov-19	346090	5808436	Affleurement	100	V3	Grand affleurement de couleur noirâtre à verdâtre et injecté de dyke dm à m de pegmatite. Consistes-en du basalte faiblement cisailé et altéré. TXT: SC, GF ALT: SI+, CL++, BO- \$: 5-7% de Py blanche, Idiomo à hypidio et disséminé.	A0716775	S1 :350/80
OPL-19-28	01-nov-19	358799	5800523	Affleurement	50	I3	Affleurement sur bord de route de la sarcelle à 2 km de la route de la BJ. De couleur noirâtre recoupée par des dykes de pegmatite blanchâtre d'épaisseur métrique. Gabbro contenant environ 60% AM et 40% FP interstitiel au AM. Le dyke de pegmatite est orienté 238/76 TXT: EQ, FO, GM		Fo :260/84
OPL-19-29	01-nov-19	358780	5800438	Affleurement	100	I3	Affleurement de couleur grise pâle à foncé, composition uniforme sauf pour quelques enclaves de Qz à l'intérieur de Sc. semble correspondre au gabbro décrits à station précédente avec plus Sc avec plusieurs microplis en "S" visible. TXT: SC, GF-GM		S1 :058/66
OPL-19-30	01-nov-19	358907	5800166	Affleurement	1000	V2[TU]-T2	Button de couleur verdâtre clair à foncé avec bandes blanchâtre, roche d'aspect laminé et cisailé. Roche consiste en des tufs à cristaux et lapillis de composition intermédiaire à felsique, avec des horizons dm de coulé felsique porphyrique et des dykes discordants de composition granitique. Cette roche est en contact avec des coulées de lave intermédiaire bien schistosé vers le sud. LA déformation se concentre surtout dans les horizons de tuf. TXT: LA, SC, GF-AP, CS ALT: CL++, AM+ \$: Tr-1% Py disséminé		S1 :036/90
OPL-19-31	01-nov-19	358733	5800006	Affleurement	10000	V3-V2	Toujours sommets de button de couleur vert foncé à noirâtre. Coulé vulcanites mafiques ou intermédiaire d'épaisseur métrique en contact avec tuf intermédiaire @ felsique au nord. Traversé par 5% de veinules de Qz +/-Fp généralement concordante avec Sc.		S1 :038/90

Station	Date	Estrant	Nordant	Type	Taille m2	Litho	Description	No d'échantillon	Remarques
		UTM NAD 83 zone18							
							TXT: SC, GF, VN		
OPL-19-32	01-nov-19	358862	5799797	Affleurement	10000	V3-V2	Même bouton que station précédente, sud flanc sud. Roche de couleur verdâtre foncé et localement d'aspect laminé. Bande de rouille d'épaisseur dm à métrique visible localement. Consiste en de laves int/maf cisailé modérément avec des bandes felsiques porphyriques, possiblement des volcanites, parallèle à stratigraphie. Cette roche est modérément altérée en BO, SI et possiblement quelques carbonates concentrés dans des micros veinules parallèles à la Sc. Les dykes/bandes felsiques sont d'épaisseur dm à m et fréquemment rouillé, ces derniers semblent être des vecteurs de minéralisation. TXT: SC, GF, LA, ALT: BO+ SI+, +/-CB \$: 5-7% de Py-Po disséminés ou en mince lamelle // @ SC	A0716777 A0716779	S1 :220/90
OPL-19-33	01-nov-19	358861	5799780	Affleurement	1000	V3-V2	Même zone affleurante que décrite dans précédente station. Zone très rouillée, bande d'épaisseur métrique. Roche verdâtre foncé en cassure fraîche. Volcanite intermédiaire recoupé de 5% de microveinules de Qz // à Sc. TXT: GF, SC, VN \$: 5-10% Py+/-Po, blanchâtre, Idiomorphique à hypidiomorphique, diss ou en forme de lamelles mm // à la Sc. possible trace de Po.	A0716778	S1 :046/90
OPL-19-34	01-nov-19	358661	5799595	Affleurement	1000	V3-V2	Continuité de la zone rouillée décrite à précédente station, roche de couleur verdâtre en cassure fraîche et bien Sc. peut contenir jusqu'à 50% de veinules de Qz localement. Zone de rouille d'épaisseur métrique et parallèle à Sc. TXT: SC, GF, CS, VN \$: Tr-5% Py, possible Po, minéralisation de couleur blanche à grise, grains Idio à hypidio et disséminés.	A0716781	S1 :026/88
OPL-19-35	01-nov-19	358807	5799521	Affleurement	1000	V3	Continuité de zone affleurante, flanc sud à +/- 500 mètres au nord de la rivière Eastmain et à 1.6 km à l'est après pond sur route de la BJ. Roche de couleur noirâtre recoupée par zon de rouille d'épaisseur métriques, roche semble magnétique. Roche semble être un basalte cisailé et altéré, localement recoupé par des veinules mm de Qz concordante à Sc (< 5%) TXT: AP-GF, SC, ALT: SI++, AM+, MT+ \$: 5-7% Py diss, blanche, Idiomorphique à hypidiomorphique et localement en petit stringers semi-massif mm // à Sc.	A0716782 A0716783	S1 :066/84
OPL-19-36	01-nov-19	358973	5799716	Affleurement	10000	V3-M8	Affleurement dans continuité de zone décrite à précédente dans les stations précédentes. Très rouillé et de couleur noirâtre en cassure fraîche. Roche semble être un schiste légèrement graphiteux, riche en BO +/- Qz et AM. TXT: SC, AP-GF, CS ALT: BO+, SI+, AM+ \$: 5-8% Py en mince stringers // à Sc, épaisseur mm et Py blanche disséminée.	A0716787	S1 :050/90
OPL-19-37	01-nov-19	359012	5799671	Affleurement	10000	V3	Affleurement de gris foncé à blanchâtre avec tache de rouille. Roche consiste en des basaltes injectés de dyke felsique cm @ m. Compo des dykes semble granitique à tonalitique. TXT: SC, GF-GM, CS, GR S: 5-7% Py blanchâtre diss, hypidio à xéno avec trace de CP observé.	A0716788	S1 :036/82
OPL-19-38	01-nov-19	359063	5799331	Affleurement	1000	S4D	Grand affleurement à 100 mètres au nord de rivière Eastmain de couleur blanchâtre à gris pâle. Conglomérat polygénique à bloc arrondi de compo tonalitique à granitique et de fragments anguleux très AM et BO et qq fragments quartzeux éparses peuvent être observés. Les clastes représentent 60-70% de la roche. Matrice à grain fin surtout composé de Qz-Fp+/-AM+/-BO et bien Sc. TXT: HT, SC, GF-GM ALT: AM++ BO+ (clasts), GRT dans matrice		S1 :044/86

Station	Date	Estrant	Nordant	Type	Taille m2	Litho	Description	No d'échantillon	Remarques
		UTM NAD 83 zone18							
OPL-19-39	01-nov-19	358764	5799226	Affleurement	10000	S4D	Même roche que décrit en station 038		S1 :054/90
OPL-19-40	01-nov-19	358767	5799467	Affleurement	1	S2C	Petit affleurement de couleur blanchâtre au pied d'une importante falaise. Roche de composition quartzofeldspathique. Quelques clastes visibles de taille mm à cm, arrondis et semblant de composition granitique à tonalitique. Lamination entrecroisée visible sur l'affleurement. TXT: LA, GF, SC, HT		S1 :056/90
OPL-19-41	01-nov-19	358830	5799523	Affleurement	1000	V3-S2	Zone affleurante de couleur noirâtre à gris pâle. Contact entre séquence volcanique et unité sédimentaire décrite à précédente station. Présence d'une bande très rouillée au contact marquant transition du côté basalte. Roche de composition AM-BO+/-FP+/-QZ TXT: GF, SC, BX ALT: SI++, CL+, BO+ \$: 7-10% Py blanchâtre en amas mm à cm, local en filonnets hypidio à xéno.	A0716790	S1 :058/86
OPL-19-42	01-nov-19	358967	5800424	Affleurement	50	V3-V2	Roche de couleur verdâtre à noirâtre et d'aspect laminé. Zone de cisaillement ! Quelques dykes felsiques concordants injectés avec cisaillement et dyke discordant de pegmatite d'épaisseur cm à dm. TXT: CS, SC, GF, LA ALT: CL+		S1 :042/88
OPL-19-43	02-nov-19	360540	5801383	Affleurement	1000	V2-V1[TU]	Grand affleurement de couleur verdâtre et avec des bandes grisâtre à blanchâtre d'épaisseur dm à m. Consiste en des vulcanites intermédiaires, coulée massive amphibolitisée avec de minces bandes de tuf felsique. Localement recoupant par des dykes pegmatitiques concordant à discordant.		S1 :048/80
OPL-19-44	02-nov-19	360607	5801333	Affleurement	1000	V2[TU]-V1[TU]	Continuité de précédente station, roche de couleur verdâtre clair à blanchâtre et laminée. Séquence de tuf intermédiaire à felsique bien Sc et chloritisé, lamination d'épaisseur mm avec des séquences dm de lave felsique (V1B). Recoupé par des veinules // à Sc, d'épaisseur mm à dm, localement plissé avec Sc. ALT: AM+, CL++		S1 :046/86
OPL-19-45	02-nov-19	360658	5801101	Affleurement	1000	V2[TU]-V1[TU]	De couleur verdâtre pâle à foncé, séquence volcanique intermédiaire à felsique. Consiste en des coulées de lave de composition intermédiaire interlitées avec des tufs felsique. Le contact entre les 2 unités montre fréquemment des textures de brèche. Les volcanoclastites sont très Sc et altéré principalement en Chlorite. TXT: LA, BX, GF, SC ALT: CL++ AM+ BO+		S1 :050/82
OPL-19-46	02-nov-19	360515	5800959	Affleurement	10	V2-M16	Affleurement de la mousse avec tache verdâtre avec tache de rouille. Lave intermédiaire schistosé et altéré recoupé par de veinules de Qz concordantes à Sc et boudinées localement. TXT: SC, GF-GM ALT: AM++ CL \$: 1-3% Py blanche et Po en trace, disséminé le long des plans de Sc, localement en fine lamelle de 2-4 mm de longueur.	A0716791	S1 :040/80
OPL-19-47	02-nov-19	360628	5800576	Affleurement	50	V2-M16	Aff ressortant de la mousse d'environ 2 mètres près d'un marécage, de couleur verdâtre avec tache de rouille. Volcanite intermédiaire amphibolitisé et bien schistosé. Plusieurs veines irrégulières de qz blanchâtre irrégulières et diffuses, possiblement avec CB. TXT: SC, GF-GM ALT: AM++ CL+ BO+ GT+ \$:5-7% Py-Po, diss le long des plans de Sc, localement en marge des veinules	A0716792	S1 :044/88
OPL-19-48	02-nov-19	360682	5800570	Affleurement	50	V3-M16	Affleurement de couleur vert foncé et ressortant de la mousse d'environ 2-3 mètres, quelques taches de rouille locales sont visibles. Coulée de basalte massive bien schistosé et localement faiblement bréchifié par veinules de Qz+/-Cb. TXT: GF, SC, BX ALT: AM++ BO+ \$: Tr-1% Py disséminé	A0716793	

Station	Date	Estrant	Nordant	Type	Taille m2	Litho	Description	No d'échantillon	Remarques
		UTM NAD 83 zone18							
OPL-19-49	02-nov-19	360819	5800632	Affleurement	50	V3-M16	Affleurement de couleur verdâtre avec tache de rouille, noirâtre en cassure fraîche. Traversé par veines cm à dm, discordante de Qz-Fp avec 2-5% Py disséminé. TXT: SC, BX, VN ALT: AM++ BO+ \$: TR-3% souvent en bordure ou dans les veinules de Qz-Cp	A0716794	S1 :054/78
OPL-19-50	02-nov-19	360524	5800182	Affleurement	500	S4D	Grand affleurement de couleur grisâtre avec tache blanche. Partiellement recouvert de mousse et de petit arbre. Conglomérat polygénique à matrice riche en AM-BO. Les clastes sont de composition Qz-Fp, surtout d'origine volcanique, quelques fragments quartzeux et granitiques sont visibles. Ces derniers sont arrondis à subarrondis et représente 20-40% de la roche. TXT: HT, SC, GF-GM		S1 :068/80
OPL-19-51	02-nov-19	361740	5800987	Affleurement	1000	V2-M16	Affleurement sur une crête de 10-20 mètres de hauteur. Roche de couleur verdâtre avec tache de rouille locale. La roche est verdâtre foncé à noir en cassure fraîche. Unité modérément cisailée avec des veinules blanches à grisâtre recoupant la roche. Ces dernières sont souvent // à Sc, mais il existe un second réseau en remplissage de fracture tardive à 30-45° de Sc. TXT: SC, VN, GF, FR \$: 3-5% Py+Po, diss et à grain fin, hypidiomorphe.	A0716798	
OPL-19-52	02-nov-19	361754	5800984	Affleurement		V2-M16 et I3	Même crête rouillée que décrite en 051 avec une bande rouillée faisant de 0.5-1 mètres en largeur. Roche de couleur noire à verdâtre en cassure fraîche. Semble être un petit filon couche de gabbro injecté entre séquences de vulcanites intermédiaire // Sc. Roche composée presque exclusivement d'AM, actinote et hornblende principalement, avec des grenats et biotite en minéraux accessoires. TXT: EQ, GM, PO, SC \$: 3-5% Po+Py, disséminés ou en amas mm, grain fin, Idio à hypidio	A0716799	S1 :030/86
OPL-19-53	02-nov-19	361944	5801067	Affleurement	10000	V2[TU]	Grande crête orientée +/- N030-045, roche généralement de couleur verdâtre avec tache de rouille. Contient de 5-15% de lapillis généralement de compo felsique. Ces derniers sont allongés avec la Sc. TXT: HT, SC, GF ALT: AM++, BO+, SI+ \$: 5-7% Py-Po, diss ou en mince lamelle // à Sc, hypido, gf 1-2 mm en taille	A0716800	S1 :044/76
OPL-19-54	02-nov-19	361991	5801094	Affleurement	1000	M16-V2	Continuité de dernier affleurement, zone rouillée dans amphibolite, noir en cassure fraîche. TXT: CS, SC, GF ALT: AM++, BO+, SI+	A0716801	S1 :044/66
OPL-19-55	03-nov-19	362021	5801170	Affleurement	1000	V2	Affleurement sur crête tel que décrits entre station 050-054, gris pâle à verdâtre en cassure fraîche. TXT:SC, AP-GF ALT: SI++, AM+ BO+ \$: 2-4% Py-Po, diss, possible Asp en trace.	A0716802	
A0716734	28-OCT-19 10:10:23AM	343810	5806949					A0716734	
A0716736	28-OCT-19 10:54:38AM	343784	5806788					A0716736	
A0716737	28-OCT-19 11:23:05AM	343728	5806801					A0716737	
A0716739	28-OCT-19 12:17:19PM	344020	5806756					A0716739	
A0716741	28-OCT-19 12:45:42PM	344122	5806839					A0716741	
A0716744	28-OCT-19 2:30:36PM	344633	5808245					A0716744	
A0716750	31-OCT-19 8:38:36AM	344665	5808381					A0716750	



Station	Date	Estrant	Nordant	Type	Taille m2	Litho	Description	No d'échantillon	Remarques
		UTM NAD 83 zone18							
A0716751	29-OCT-19 10:11:56AM	341492	5806700					A0716751	
A0716753	29-OCT-19 10:21:16AM	341522	5806678					A0716753	
A0716755	29-OCT-19 11:00:01AM	341132	5806636					A0716755	
A0716757	29-OCT-19 12:39:11PM	340627	5806527					A0716757	
A0716758	29-OCT-19 12:29:21PM	340828	5806569					A0716758	
A0716767	31-OCT-19 9:07:02AM	344677	5808334					A0716767	
A0716768	31-OCT-19 10:34:22AM	344445	5808247					A0716768	
A0716770	31-OCT-19 9:36:21AM	344639	5808381					A0716770	
A0716776	31-OCT-19 1:47:07PM	346825	5808253					A0716776	
A0716780	01-NOV-19 9:23:23AM	358695	5799791					A0716780	
A0716784	01-NOV-19 11:20:17AM	358820	5799746					A0716784	
A0716785	01-NOV-19 11:38:56AM	358870	5799774					A0716785	
A0716786	01-NOV-19 11:58:29AM	359002	5799744					A0716786	
A0716789	01-NOV-19 1:08:35PM	359096	5799596					A0716789	
A0716795	02-NOV-19 9:41:28AM	360862	5800713					A0716795	
A0716796	02-NOV-19 10:11:37AM	360846	5800708					A0716796	
A0716797	02-NOV-19 10:25:22AM	360839	5800707					A0716797	
A0716803	02-NOV-19 1:37:39PM	361801	5801021					A0716803	
A0716804	02-NOV-19 1:09:15PM	361802	5801018					A0716804	
A0716805	02-NOV-19 2:14:39PM	361974	5801076					A0716805	

---

**ANNEXE IV**

---

**TABLEAU DES ÉCHANTILLONS DE ROCHES 2019**



Année	Estrant	Nordant	Description	Secteur	Minéralogie	Commentaire	No échantillon	Au ppm 0.005 Au-AA23	Cu ppm 1 ME-ICP41
	UTM NAD 83 zone18								
2019	343583	5826400		OGW			A0716651	-0.005	22
2019	343588	5826397	Roche très déformée de couleur gris pâle à noir avec tache prononcée de rouille. Roche composée de bandes de mélanosome roche en BO séparées par des bandes de Qz-Fp. Compo: AM-BO-QZ-FP ALT: GRT, BO SC très variable et beaucoup de micros plis dans la roche Contient entre tr-2% de Py fine et disséminée	OGW	S1/M4		A0716652	-0.005	20
2019	343598	5826397		OGW			A0716653	0.011	78
2019	343725	5826532		OGW			A0716654	-0.005	123
2019	343679	5826431	Petit boulder de 50x50 cm de forme très plate ALT: SI Compo: QZ-BO-FP \$: 5-7% Py idiomorphe	OGW	M4		A0716655	0.005	11
2019	343674	5826562	Très grande zone affleurante, très rouillée sur la surface importante et traversée par un cisaillement. Zone affleurante semble dominé par amphibolite/basalte, mais contient de nombreuses séquences de sédiment et possiblement de vulcanites felsiques. TXT: CS, GF, SC \$: tr-10% de Py avec tr Po	OGW	V3-V1		A0716656	-0.005	72
2019	343911	5826396		OGW			A0716657	-0.005	127
2019	343916	5826428	Continuité de station 04, affleurement de couleur noir avec tache blanchâtre et patine altérée et tache de rouille très apparente. TXT: GF, EQ, SC Compo: AM-BO-FP ALT: GRT, BO \$: tr-5% Py diss dans la roche	OGW	M16-I3		A0716658	-0.005	39
2019	343984	5826378	Roche de couleur blanchâtre à verdâtre, localement très rouillée et d'aspect laminé. Zone affleurante est la continuité de 2 précédentes stations.	OGW	S2-S3		A0716659	-0.005	47
2019	344095	5826068		OGW			A0716660	0.005	15
2019	344081	5826187	Série d'affleurements, continuité de station précédente. La roche forme des feuillets se détachant. TXT: AP-GF, GP, SC	OGW	M8-S6		A0716661	0.005	8
2019	344309	5826025	Couleur gris pâle à brunâtre et localement rouillé. Arénite rubanée composée de lits cm à dm de grès quartzo-feldspathique et de wacke riche en Bo. Tr de Py avec possible Po	OGW	S2		A0716662	-0.005	12
2019	344383	5825949		OGW			A0716663	-0.005	14
2019	344395	5825956		OGW			A0716664	-0.005	5
2019	344113	5825719		OGW			A0716665	0.005	171
2019	343962	5825800	Série d'affleurements de mudrock laminé verdâtre en contact avec des grès +/- massif le tout recoupé par des dykes de pegmatite semi-concordante à discordant. Quelques veines de quartz rouillé visible.	OGW	S6-S2		A0716666	-0.005	38

Année	Estrant	Nordant	Description	Secteur	Minéralogie	Commentaire	No échantillon	Au ppm 0.005 Au-AA23	Cu ppm 1 ME-ICP41
	UTM NAD 83 zone18								
			Compo de S2 riche en AM-BO +/-CL et contient 20-30% de claste granitique de taille mm dans S2: 1-3% de Py, idiomorphique à hypidiomorphique, 1-2 mm en taille Dans S6: Py très fine, de couleur jaune à blanchâtre, très très fine et disséminé.						
2019	343962	5825800	Série d'affleurements de mudrock laminé verdâtre en contact avec des grès +/- massif le tout recoupé par des dykes de pegmatite semi-concordante à discordant. Quelques veines de quartz rouillé visible. Compo de S2 riche en AM-BO +/-CL et contient 20-30% de claste granitiques de taille mm dans S2: 1-3% de Py, idiomorphique à hypidiomorphique, 1-2 mm en taille Dans S6: Py très fine, de couleur jaune à blanchâtre, très très fine et disséminé.	OGW	S6-S2		A0716667	-0.005	4
2019	344035	5825810	Continuité de station précédente, niveau de formation de fer coincé à l'intérieur des unité de S2-S6 décritent précédemment. S9 consiste en des bandes cm de qtz, boudine et déformé séparé par de minces bandes amphibiotique riche en magnétite. TXT: RU, GF, DEF 1-5% Py, surtout présente dans bande dans Am.	OGW	S9		A0716668	-0.005	10
2019	344128	5825853	Très rouillé, de couleur noir à orange. Constitué surtout de mudrock avec 5-20% de Py très fine et disséminé. Roche se défait en "slate". TXT: SA, AP-GF, SC En contact avec grès quartzo-feldspathique, très rouillé, mais pauvre en sulfure.	OGW	S6		A0716669	0.009	33
2019	344764	5826123	Grande crête ressortant du sol. De couleur gris-verdâtre à orangé. Station prise sur un zone passablement rouillé. Roche consiste en des séquences de grès interlité avec quelques séquences de conglomérats polygénique. TXT:Gf, GF, SA 5-15% de Py, 2 types de Py, blanche hypidiomorphique et disséminé. Et jaune, très fine, idiomorphique et placage le long des plans de Sc.	OGW	S2A		A0716670	0.013	29
2019	344503	5826452		OGW			A0716671	-0.005	142
2019	344755	5826228		OGW			A0716672	-0.005	28
2019	344777	5826168	Série d'affleurements en continuité avec station 14. Très rouillé, parfois rougeâtre. Roche consiste en une arénite avec cailloux de Qz, litée et schistosé. Compo: AM-BO-FP-QZ 5-10% de cailloux de Qz TXT: LA, SC, GF 5-10% de Py très fine et disséminé.	OGW	S2		A0716673	-0.005	13
2019	345297	5825974		OGW			A0716674	-0.005	15
2019	345220	5825945	Affleurement de couleur blanchâtre à gris clair. Séquence d'arénite à composition + quartzitique, bien litée et schistosée.	OGW	S2		A0716675	-0.005	7

Année	Estrant	Nordant	Description	Secteur	Minéralogie	Commentaire	No échantillon	Au ppm 0.005 Au-AA23	Cu ppm 1 ME-ICP41
	UTM NAD 83 zone18								
			TXT: SA, SC, GF \$: 1-2% de Py blanche, subhedral, grain fin et disséminé						
2019	345311	5825942	Série d'affleurements similaire à arénite décrite précédemment. Station prise sur une faille apparente, roche forme des feuillet qui se détachent facilement. Mouvement de faille impossible à déterminé due à la météorisation importante. TXT: FR, AP-GF, SC, CS. \$:1-5% Py, très fine et disséminé. ALT: SI+	OGW	S2		A0716676	-0.005	1
2019	345342	5825919		OGW			A0716677	-0.005	2
2019	345333	5825937		OGW			A0716678	-0.005	3
2019	345398	5826048	Faille, roche très schisteuse similaire à précédente station. Protolithe probablement issue d'un S2 et/ou S6. Localement très rouillé et avec des bandes de QZ. TXT: CS, AP-GF, SC ALT: SI+, BO \$: 1-3% Py, blanche, Gf, disséminé	OGW	S2-S6		A0716679	-0.005	10
2019	345420	5826135	Grand affleurement, couleur gris pâle à blanchâtre avec surface rouillé importante. Roche semble être un conglomérat polygénique à matrice arénitique et cailloux QZ TXT: SC, HT,GF \$: 3-10% Py, plusieurs clastes très pyritisés.	OGW	S4E		A0716680	-0.005	29
2019	343940	5826430		OGW			A0716681	-0.005	60
2019	343995	5826437		OGW			A0716682	-0.005	11
2019	344057	5826464		OGW			A0716683	-0.005	17
2019	344031	5826300		OGW			A0716684	-0.005	21
2019	344202	5826487		OGW			A0716685	-0.005	9
2019	343869	5826260	Affleurement de couleur noirâtre avec tache de rouille. Consiste en amphibolite traversé par une zone de shear modérée. Roche contient localement des veinules mm à cm concordantes avec quelques grains de Py. Roche encaissante parfois bien minéralisé, jusqu'à 5-10% de Py très fine et disséminée Il y a 2 réseaux de veinules, l'un concordant à Sc. Le second conjoint à Sc avec un angle 30-45°. Consiste en des veinules de remplissage des fractures. Quelques veines de Qz de tension également de taille cm.	OGW	M16		A0716686	-0.005	114
2019	343869	5826260	Affleurement de couleur noirâtre avec tache de rouille. Consiste en amphibolite traversé par une zone de shear modérée. Roche contient localement des veinules mm à cm concordantes avec quelques grains de Py. Roche encaissante parfois bien minéralisé, jusqu'à 5-10% de Py très fine et disséminée Il y a 2 réseaux de veinules, l'un concordant à Sc. Le second conjoint à Sc avec un angle 30-45°. Consiste en des veinules de remplissage des fractures. Quelques veines de Qz de tension également de taille cm.	OGW	M16		A0716687	0.006	176
2019	343869	5826260	Affleurement de couleur noirâtre avec tache de rouille. Consiste en	OGW	M16		A0716688	-0.005	70

Année	Estrant	Nordant	Description	Secteur	Minéralogie	Commentaire	No échantillon	Au ppm 0.005 Au-AA23	Cu ppm 1 ME-ICP41
	UTM NAD 83 zone18								
			amphibolite traversé par une zone de shear modérée. Roche contient localement des veinules mm à cm concordantes avec quelques grains de Py. Roche encaissante parfois bien minéralisé, jusqu'à 5-10% de Py très fine et disséminée Il y a 2 réseaux de veinules, l'un concordant à Sc. Le second conjoint à Sc avec un angle 30-45°. Consiste en des veinules de remplissage des fractures. Quelques veines de Qz de tension également de taille cm.						
2019	345073	5826647		OGW			A0716689	-0.005	18
2019	345297	5826519		OGW			A0716690	-0.005	14
2019	344012	5826271	Toujours sur série d'affleurements en continuité avec précédente station. Roche apparaît grise pâle à foncé avec tache de rouille. Station prise sur importante tache de rouille ou des mudrocks laminés sont en contacts avec des tufs intermédiaires. TXT: GF-GM, SC Compo: FP-BO-AM +/-CL, Consist en une matrice de grain fin surtout composé de Fp avec quelques phénocristaux AM. \$: 5-8% Py-Po, diss dans la roche homogènement, GF et Idiomorphe à hypidiomorphe. Légèrement SI localement.	OGW	V2-S6		A0716691	-0.005	58
2019	344012	5826271	Toujours sur série d'affleurements en continuité avec précédente station. Roche apparaît gris pâle à foncer avec tache de rouille. Station prise sur importante tache de rouille ou des mudrocks laminés sont en contact avec des tufs intermédiaires. TXT: GF-GM, SC Compo: FP-BO-AM +/-CL, Consist en une matrice de grain fin surtout composé de Fp avec quelques phénocristaux AM. \$: 5-8% Py-Po, diss dans la roche homogènement, GF et Idiomorphe à hypidiomorphe. Légèrement SI localement.	OGW	V2-S6		A0716692	-0.005	23
2019	344490	5826598	Affleurement ressortant du marécage. Couleur gris clair à foncer avec une tache de rouille. Semble surtout constituer de tuf intermédiaire avec quelques séquences sédimentaires métriques de grès conglomératiques. TXT: GF-GM, SC, HT, HM \$: 3-5% Py+Po	OGW	S4		A0716693	-0.005	83
2019	344783	5826737	Affleurement de couleur grise pâle à noirâtre et d'aspect laminé. Consiste en des mudrocks/wackes pyriteux avec possible présence d'Asp. TXT: AP-GF, SC, LA Compo: AM-BO +/-FP +/-CL \$: 10-20% Py, local et diss, de couleur blanche, diss ou en amas diss.	OGW	S6		A0716694	0.026	24
2019	345081	5825909	Série d'affleurements de couleur blanche en noir, local très rouillé. Roche probablement d'origine sédimentaire, contient un fort % de BO-CL avec possible Andalousite. Unité en contact avec un important dyke de peg // a Sc TXT: GR, SC, GF-GM	OGW	S1/M8		A0716695	-0.005	187

Année	Estrant	Nordant	Description	Secteur	Minéralogie	Commentaire	No échantillon	Au ppm 0.005 Au-AA23	Cu ppm 1 ME-ICP41
	UTM NAD 83 zone18								
			Compo: Fp 15-30%, BO 15-30%, QZ 20-25%, And 10-40% \$: 1-3% Py, GF, diss, hypidio avec pose Po en trace.						
2019	345619	5825998	Affleurement en forme de crête, très rouillé, en surface. Semble être un mudrock typique décrit précédemment. \$: 5-20% Py, très fine, Idio à hypidio et disséminé	OGW	S6		A0716696	-0.005	12
2019	346276	5826281	Petit affleurement en milieu d'un champ de blocs. De couleur gris pâle et rouillée en patine altérée. Noir en cassure fraîche. Possible conglomérat à bloc. La rouille semble associée à un mince niveau de formation de fer. Roche faiblement magnétique. TXT: SA, GF, SC COMPO: très riche en BO-AM, QZ +/- FP ALT: GRT, AM \$: 2-4% Py fine ou en mince lamelle étiré à Sc	OGW	V2[TU]		A0716697	0.02	39
2019	346464	5826317		OGW			A0716698	-0.005	228
2019	346395	5826279	Affleurment de couleur blanchâtre et noir avec tache de rouille. Consiste en un tuf intermédiaire à lapillis, bloc dans une matrice mafique et très amphibolitisé. Matrice composée d'AM-BO-MT +/- GRT et lapillis compos felsique TXT: HT, SC, GF-GM \$: 2-5% Py et Po diss dans matrice	OGW	V2[TU]		A0716699	-0.005	36
2019	346491	5826335		OGW			A0716700	-0.005	97
2019	347043	5826552	Affleurement très rouillé et ressortant du sol près d'une crête, possible bloc? Roche semble être un mudrock cisailé. TXT: SC, SA, AP-GF ALT: SI, BO \$: 5-10% de Py très fine et disséminée.	OGW	S6/M8		A0716701	-0.005	11
2019	347666	5826559		OGW			A0716702	-0.005	11
2019	345816	5828297	Affleurement de couleur noirâtre en patine altéré et gris foncé avec teinte verdâtre en cassure fraîche. TXT: LA, SC, GF-AP COMPO: Semble composé d'une matrice intermédiaire à felsique avec de petits grains AM (10%) \$: Tr-1%, 1-3 mm, hypidio, diss ds roche	OGW	V2[TU]		A0716703	-0.005	53
2019	345816	5828297	Affleurement de couleur noirâtre en patine altéré et gris foncé avec teinte verdâtre en cassure fraîche. TXT: LA, SC, GF-AP COMPO: Semble composé d'une matrice intermédiaire à felsique avec de petits grains AM (10%) \$: Tr-1%, 1-3 mm, hypidio, diss ds roche	OGW	V2[TU]		A0716704	-0.005	113
2019	345342	5825919		OGW				0.006	10
2019	344591	5826919		OGW			A0716706	-0.005	22
2019	345251	5827331		OGW			A0716707	-0.005	30
2019	345245	5827334		OGW			A0716708	-0.005	30
2019	345251	5827907		OGW			A0716709	-0.005	53

Année	Estrant	Nordant	Description	Secteur	Minéralogie	Commentaire	No échantillon	Au ppm 0.005 Au-AA23	Cu ppm 1 ME-ICP41
	UTM NAD 83 zone18								
2019	344604	5826896	Petit affleurement de couleur orange avec dyke blanchâtre qui traverse. Très très rouillé en surface, de couleur gris à bleuter en cassure fraîche. Matrice composée AM-BO, les fragments surtout feldspathiques. TXT: HT, GF-GM, SC \$: 3-4% de Py blanche, hypidio, 1-2 mm en taille et disséminé	OGW	S4D		A0716710	-0.005	32
2019	344604	5826896	Petit affleurement de couleur orange avec dyke blanchâtre qui traverse. Très très rouillé en surface, de couleur gris à bleuter en cassure fraîche. Matrice composée AM-BO, les fragments surtout feldspathiques. TXT: HT, GF-GM, SC \$: 3-4% de Py blanche, hypidio, 1-2 mm en taille et disséminé	OGW	S4D		A0716711	-0.005	41
2019	344645	5826964	Affleurement rouillé avec dykes pegmatitiques blanchâtres traversant discontuellement ce dernier. Roche toutefois pauvre en sulfure malgré la rouille. TXT: AP-GF, SC, HT ALT: SI++, ACT+, BO+	OGW	S4D		A0716712	-0.005	4
2019	345233	5827334	Grand affleurement sur bord 'un lac, côté ouest, de couleur blanche à gris clair et travers par un important cisaillement d'épaisseur métrique en relief négatif par rapport à roche encaissante. La rouille est abondante en bordure du cisaillement. Roche très similaire à celle décrite à station 040, mais avec cailloux de composition granitique et Qz. Roche contient des lits riches en grenat (< 60%) et souvent minéralisés en Py et possiblement Po, entre Tr-10%. Le cisaillement contient des veinules de Qz fumé (5-10%) d'épaisseur mm, localement boudiné et plissé généralement orienté // à Sc. TXT: SA, SC, GF \$: Tr-10% Py, GF, disséminé et/ou en fine lamelle mm parallèle à Sc	OGW	S2/S4		A0716713	-0.005	32
2019	345233	5827334	Grand affleurement sur bord 'un lac, côté ouest, de couleur blanche à gris clair et travers par un important cisaillement d'épaisseur métrique en relief négatif par rapport à roche encaissante. La rouille est abondante en bordure du cisaillement. Roche très similaire à celle décrite à station 040, mais avec cailloux de composition granitique et Qz. Roche contient des lits riches en grenat (< 60%) et souvent minéralisés en Py et possiblement Po, entre Tr-10%. Le cisaillement contient des veinules de Qz fumé (5-10%) d'épaisseur mm, localement boudiné et plissé généralement orienté // à Sc. TXT: SA, SC, GF \$: Tr-10% Py, GF, disséminé et/ou en fine lamelle mm parallèle à Sc	OGW	S2/S4		A0716714	-0.005	11
2019	345292	5827977	Grand affleurement de couleur gris verdâtre foncé avec tache de rouille en patine altérée. Noirâtre à gris foncé en cassure fraîche. Roche est assez riche en AM-BO avec Qz-Fp accessoire. TXT: GF, SC, GR ALT: AM, BO \$: TR-3% de Py, GF, diss dans la roche, couleur blanchâtre, hypidiomorphe à xénomorphe	OGW	M4		A0716715	-0.005	70
2019	345208	5828035	Affleurement très rouillé de couleur orange en patine d'altération et gris clair en cassure fraîche. Très similaire à roche décrits à la station 043.	OGW	M4		A0716716	-0.005	44



Année	Estrant	Nordant	Description	Secteur	Minéralogie	Commentaire	No échantillon	Au ppm 0.005 Au-AA23	Cu ppm 1 ME-ICP41
	UTM NAD 83 zone18								
			TXT: GF-AP-SC \$: 2-4% de Py disséminé, blanchâtre et de forme Idiomorphique à hypidiomorphique, de 1-3 mm en taille						
2019	344966	5827940	De couleur foncée, grise à noir, avec tache de rouille fréquente en surface météorisée. Noirâtre en cassure fraîche. Conglomérat similaire à ceux décrits précédemment. Roche 2-4% Py, blanche, Idiomorphique à hypidiomorphique faisant < 1mm en taille.	OGW	S4		A0716717	-0.005	47
2019	345021	5827962		OGW			A0716718	-0.005	40
2019	344040	5826802	Aff très rouillé en patine altérée et gris moyen en cassure fraîche. Grès quartzofeldspathique à grain fin et faiblement Sc. TXT: GF, SC, LA. \$: 1-2% Py, GF disséminé avec présence de graphite en trace.	OGW	S2B/S2C		A0716719	0.021	117
2019	345233	5827334	Grand affleurement sur bord 'un lac, côté ouest, de couleur blanche à gris clair et travers par un important cisaillement d'épaisseur métrique en relief négatif par rapport à roche encaissante. La rouille est abondante en bordure du cisaillement. Roche très similaire à celle décrite à station 040, mais avec cailloux de composition granitique et Qz. Roche contient des lits riches en grenat (< 60%) et souvent minéralisés en Py et possiblement Po, entre Tr-10%. Le cisaillement contient des veinules de Qz fumé (5-10%) d'épaisseur mm, localement boudiné et plissé généralement orienté // à Sc. TXT: SA, SC, GF \$: Tr-10% Py, GF, disséminé et/ou en fine lamelle mm parallèle à Sc	OGW	S2/S4		A0716720	0.005	44
2019	345233	5827334	Grand affleurement sur bord 'un lac, côté ouest, de couleur blanche à gris clair et travers par un important cisaillement d'épaisseur métrique en relief négatif par rapport à roche encaissante. La rouille est abondante en bordure du cisaillement. Roche très similaire à celle décrite à station 040, mais avec cailloux de composition granitique et Qz. Roche contient des lits riches en grenat (< 60%) et souvent minéralisés en Py et possiblement Po, entre Tr-10%. Le cisaillement contient des veinules de Qz fumé (5-10%) d'épaisseur mm, localement boudiné et plissé généralement orienté // à Sc. TXT: SA, SC, GF \$: Tr-10% Py, GF, disséminé et/ou en fine lamelle mm parallèle à Sc	OGW	S2/S4		A0716721	-0.005	25
2019	345118	5827327	De couleur blanchâtre vers le nord et rouillée sur une large partie au sud. Roche semble cisailé et a un aspect laminé. Se détache en "slate", faiblement cisailé avec présence de quelque veine boudinée et déformée. TXT: CS, LA, GF-AP ALT: SI++, BO+ \$: Tr de Py très fin et disséminé.	OGW	M8-S3		A0716722	-0.005	25
2019	344769	5827113	Série d'affleurements de couleur blanchâtre à gris clair, la plupart montrant des laminations. Station prise sur affleurement lité recoupé par une veine de de Qz blanc. TXT: LA, GF, SA Litage, très bien visible recoupé par une veine // à S0.	OGW	S2		A0716723	-0.005	8

Année	Estrant	Nordant	Description	Secteur	Minéralogie	Commentaire	No échantillon	Au ppm 0.005 Au-AA23	Cu ppm 1 ME-ICP41
	UTM NAD 83 zone18								
2019	345010	5827313	Grand affleurement de couleur blanchâtre à verdâtre avec horizon cm à dm, très rouillé. Zone dans continuité d'affleurement 041 traversé par un cisaillement d'épaisseur métrique orientée E-W. Roche consiste en des niveaux de grès quartzofeldspathique blanchâtre interlités avec des wackes amphibolitisé, localement très riche en grenat. Le tout est très schistosé. Le grenat sont regroupés sur dans des bandes d'épaisseur cm à dm ou ils représentent > 50% des composants, de forme euhedral à subhedral.. Ces dernières sont plissées et "M" et en "S" et la minéralisation est concentrée principalement à l'intérieur des charnières de plis. Plusieurs veines de quartz mm à cm concordant à Sc. TXT: SA, CS, SC, GF-GM, PO. \$: Tr-5% Py blanche disséminé dans tous les échantillons, idiomorphe à hypidiomorphe et disséminé ou en mince lamelle // à Sc.	OGW	S2/S3		A0716724	-0.005	13
2019	345010	5827313	Grand affleurement de couleur blanchâtre à verdâtre avec horizon cm à dm, très rouillé. Zone dans continuité d'affleurement 041 traversé par un cisaillement d'épaisseur métrique orientée E-W. Roche consiste en des niveaux de grès quartzofeldspathique blanchâtre interlités avec des wackes amphibolitisé, localement très riche en grenat. Le tout est très schistosé. Le grenat sont regroupés sur dans des bandes d'épaisseur cm à dm ou ils représentent > 50% des composants, de forme euhedral à subhedral.. Ces dernières sont plissés et "M" et en "S" et la minéralisation est concentrée principalement à l'intérieur des charnières de plis. Plusieurs veines de quartz mm à cm concordante à Sc. TXT: SA, CS, SC, GF-GM, PO. \$: Tr-5% Py blanche disséminé dans tous les échantillons, idiomorphe à hypidiomorphe et disséminé ou en mince lamelle // à Sc.	OGW	S2/S3		A0716725	0.005	34
2019	345010	5827313	Grand affleurement de couleur blanchâtre à verdâtre avec horizon cm à dm, très rouillé. Zone dans continuité d'affleurement 041 traversé par un cisaillement d'épaisseur métrique orientée E-W. Roche consiste en des niveaux de grès quartzofeldspathique blanchâtre interlités avec des wackes amphibolitisé, localement très riche en grenat. Le tout est très schistosé. Le grenat sont regroupés sur dans des bandes d'épaisseur cm à dm ou ils représentent > 50% des composants, de forme euhedral à subhedral.. Ces dernières sont plissées et "M" et en "S" et la minéralisation est concentrée principalement à l'intérieur des charnières de plis. Plusieurs veines de quartz mm à cm concordant à Sc. TXT: SA, CS, SC, GF-GM, PO. \$: Tr-5% Py blanche disséminé dans tous les échantillons, idiomorphe à hypidiomorphe et disséminé ou en mince lamelle // à Sc.	OGW	S2/S3		A0716726	-0.005	35
2019	344972	5827313	Aff très rouillé et cisailé, contiens des niveaux riches en grenat. Roche d'aspect laminé et cisailé. Continuité de station décrite en 050. TXT: SA, GF-GM, PO, SC, CS \$: 2-3% Py très fin concentré dans niveau riche en grenat, ce dernier est large d'environ 20 cm.	OGW	S2/S3		A0716727	-0.005	20
2019	344639	5827389	Continuité du cisaillement décrit lors des affleurements précédent (041,	OGW	S2/S3		A0716728	-0.005	18

Année	Estrant	Nordant	Description	Secteur	Minéralogie	Commentaire	No échantillon	Au ppm 0.005 Au-AA23	Cu ppm 1 ME-ICP41
	UTM NAD 83 zone18								
			et 049-051). Roche rouillée au sud (wacke) en contact avec des grès lités blanchâtres. Les deux unités montre des micro et macro plissements en "M" pointant vers l'ouest, impossible de déterminé la plongée. TXT: SA, GF-GM, PO, SC, CS \$: TR-2%, surtout associé avec des lits de S3 riche en grenat.						
2019	344510	5827379	Série d'affleurements très rouillés, continuité du cisaillement décrit par station 049-052, roche de couleur blanchâtre à grise pale en cassure fraîche. Arénite quartzofeldspathique! TXT: GF, LA, SC \$: Tr-2% Py très fine, possible avec Mt en trace.	OGW	S2C		A0716729	-0.005	32
2019	344608	5827896		OGW			A0716730	-0.005	67
2019	344789	5827922		OGW			A0716731	-0.005	144
2019	343026	5827689		OGW			A0716746	0.006	89
2019	343143	5827465		OGW			A0716747	-0.005	60
2019	343132	5827465		OGW			A0716748	-0.005	79
2019	343127	5827464		OGW			A0716749	0.014	53
2019	343200	5827096	Affleurement de couleur verdâtre foncé avec tache blanchâtre traversée par plusieurs dykes d'épaisseur cm à m. Roche ressemble beaucoup au paragneiss décrits en 054, mais contient des fragments granitiques cm subarrondis (< 40%). La matrice est très riche en AM-BO (< 30-40%) avec QZ-FP+/-BO. TXT: HT, SC, GF-GM \$: 3-5% Py blanche avec possible Po, Idio à hypidiomorphique et disséminé.	OGW	S4D/M4		A0716761	-0.005	58
2019	343045	5827478	Affleurment de couleur blanchâtre à noirâtre traversé par un cisaillement rouillé d'épaisseur métrique. Possible prolongement du cisaillement décrits station 041 et 047-053. Roche consiste en des bandes très riches en AM-BO+/-QZ+/-FP interlitée avec des bandes contenant des fragments, souvent de compo granitique, très riche en grenat et possiblement andalousite. TXT: HT, CS, SC, GF-GM ALT: AM++, BO+ et recoupé par des veinules de QZ concordantes et à QZ-FP discordante avec SC. \$:3-7% PY blanche, disséminé ou en mince lamelle // à Sc et de 1-2 mm en taille	OGW	S2/S4		A0716762	0.005	142
2019	343045	5827478	Affleurment de couleur blanchâtre à noirâtre traversé par un cisaillement rouillé d'épaisseur métrique. Possible prolongement du cisaillement décrits station 041 et 047-053. Roche consiste en des bandes très riches en AM-BO+/-QZ+/-FP interlitée avec des bandes contenant des fragments, souvent de compo granitique, très riche en grenat et possiblement andalousite. TXT: HT, CS, SC, GF-GM ALT: AM++, BO+ et recoupé par des veinules de QZ concordantes et à QZ-FP discordante avec SC. \$:3-7% PY blanche, disséminé ou en mince lamelle // à Sc et de 1-2 mm	OGW	S2/S4		A0716763	0.006	142

Année	Estrant	Nordant	Description	Secteur	Minéralogie	Commentaire	No échantillon	Au ppm 0.005 Au-AA23	Cu ppm 1 ME-ICP41
	UTM NAD 83 zone18								
			en taille						
2019	343035	5827479		OGW			A0716764	0.013	154
2019	343153	5827470	Affleurement de continuité de celui décrit en 057 de couleur blanchâtre avec bande rouillée d'épaisseur métrique. Roche conglomératique, d'aspect laminé interlitée avec des grès quartzofeldspathique, bande d'épaisseur dm à m. Matrice du conglomérat riche et QZ-FP avec des fragments granitiques. TXT: SC, CS, GF, HT, SA \$: 3-5% Py blanche avec trace de Po, grain fin et disséminé.	OGW	S4/M4		A0716765	0.005	50
2019	343452	5807819	Affleurement de couleur verdâtre, bien Sc, possiblement enclave dans pluton granitique. Roche volcanique intermédiaire avec qq phénocristaux d'AM recoupé par 2-3% de veinules de Qz mm +/- concordante. TXT: GF, SC	OGL	V2		A0716732	-0.005	81
2019	343689	5806949	Série d'affleurements noire à verdâtre traversé par une veine de Qz mm à cm concordant avec Sc. Basalte localement bréchifié et faiblement altéré. TXT: AP-GF, SC, BX ALT: SI+, CL+ \$: Présence de Py, tr-2% dans marge de la veine, possible présence d'un grain de CP ou OR!!!	OGL	V3		A0716733	-0.005	415
2019	343810	5806949		OGL			A0716734	-0.005	135
2019	343770	5806940	Très similaire à station 06, basalte schistosé avec zone de rouille d'épaisseur cm à dm. \$: TR-5% Py, grain fin et disséminé.	OGL	V3		A0716735	0.008	319
2019	343784	5806788		OGL			A0716736	0.005	77
2019	343728	5806801		OGL			A0716737	0.009	397
2019	343965	5806762	Basalte schistosé très similaire à ceux décrits précédemment. TXT: SC, GF \$: 1-3% Py, diss ou en stringers mm (< 1mm) // à Sc.	OGL	V3		A0716738	0.005	57
2019	344020	5806756		OGL			A0716739	-0.005	144
2019	344107	5806841	Sommet d'une importante crête, roche de couleur noirâtre à verdâtre et localement traversé par dyke de peg. Station prise sur une faille traversant l'affleurement selon un axe NE-SW approximativement. TXT: CS, SC, GF-AP \$: 3-5% Py diss en grain hypidio de 1-2 mm en taille le long de petites veinules de Qz.	OGL	V3		A0716740	-0.005	134
2019	344122	5806839		OGL			A0716741	-0.005	99
2019	344149	5806845	Continuité de station 010, à +/- 25 mètres vers l'ouest. TXT: SC, CS, GF \$: 5-10% de Py avec trace de Po diss. Roche traversée par une petite réseau de stringer concordant et discordant.	OGL	V3		A0716742	0.005	45
2019	344397	5806996	Affleurement de basalte cisailé et localement rouillé traversé par plusieurs veinules de Qz concordante avec Py-Po et qq stringers de Py	OGL	V3		A0716743	0.015	635

Année	Estrant	Nordant	Description	Secteur	Minéralogie	Commentaire	No échantillon	Au ppm 0.005 Au-AA23	Cu ppm 1 ME-ICP41
	UTM NAD 83 zone18								
			semi-massif. TXT: CS, GF, SC, VN						
2019	344633	5808245		OGL			A0716744	0.013	114
2019	344635	5808243	Affleurement de couleur gris-verdâtre à blanchâtre avec horizon rouillé d'épaisseur métrique. Paragneiss avec lits roche en Bo d'épaisseur dm à m interlité avec plusieurs lits cm à dm de Fp-Qz blanchâtre. Zone traversée par cisaillement rendant roche très Sc et se détachant en feuillet localement. Plusieurs veinules de Py semi-massive, épaisseur mm (< 2mm) sont visibles. Jusqu'à 10% de Py dans roche, 5-7% en moyenne. TXT: SA, SC, GF-GM, PO	OGL	M4-M8		A0716745	0.007	20
2019	344665	5808381		OGL			A0716750	0.005	239
2019	341492	5806700		OGL			A0716751	0.006	87
2019	341479	5806692	Affleurement localisé de crête de couleur gris-verdâtre et bien schistosé et localement rouillé. Basalte cisailé, localement rouillé et laminé (presque millonitique). Contient jusqu'à 3-5% veinules mm de qz // à Sc. TXT: GF-AP, SC, LA \$: 2-5% Py blanchâtre disséminé, localement en petites lamelles mm // à Sc.	OGL	V3		A0716752	0.007	139
2019	341522	5806678		OGL			A0716753	0.014	527
2019	341190	5806609	Sommet de crête, roche de couleur grisâtre à noirâtre. Séquence de basalte, avec plusieurs horizons béchiques et quelques horizons mm à cm de tuf à lapillis, possiblement de compo intermédiaire. Station prise sur zone assez déformée avec +/-5% de vnls de qz minéralisés. TXT: SC, BX, GF-AP \$: 3-5% Py Py jaune hypidiomorphique en amas mm associé à vnls de qz.	OGL	V3		A0716754	-0.005	87
2019	341132	5806636		OGL			A0716755	0.01	956
2019	340633	5806521	Affleurement sur sommet de crête, continuité de 3 précédentes stations, basalte cisailé avec injection de dyke granitique // à Sc. Les dykes contiennent des fragments volcaniques mm à cm, anguleux et concentré sur les bords des marges. Ceux-ci sont composés de FP-QZ+/-BO+/-FP-K. Les marges sont altérées SI+, CL+ et légèrement lessivé. TXT: BX, CS, GF-GM \$: Tr-1% Py +/-Po dans les marges.	OGL	V3		A0716756	-0.005	68
2019	340627	5806527		OGL			A0716757	0.006	50
2019	340828	5806569		OGL			A0716758	0.007	111
2019	340522	5806493	Continuité de cisaillement décrits en station 018, localisé juste à côté d'un pli en "S" d'ampleur métrique. TXT:CS, SC, GF,	OGL	V3		A0716759	-0.005	1
2019	340243	5806477	Affleurement de couleur gris-verdâtre foncé. Basalte cisailé avec horizon rouillé sur plusieurs mètres. TXT: SC, CS, GF \$: TR-2%, Py diss avec trace de CP, présence de graphite.	OGL	V3		A0716760	0.009	291
2019	344619	5808387	Grand affleurement sur bord de route de la BJ de couleur verdâtre et	OGL	V3		A0716766	0.005	230

Année	Estrant	Nordant	Description	Secteur	Minéralogie	Commentaire	No échantillon	Au ppm 0.005 Au-AA23	Cu ppm 1 ME-ICP41
	UTM NAD 83 zone18								
			d'Aspect laminé. Roche de couleur gris foncé à noir en cassure fraîche. Consiste en une basalte cisailé, localement mylonitisé, contient jusqu'à 25% de veinules de Qz grise à blanchâtre // à Sc dans zone de cisaillement. Les veinules sont de largeur mm à cm, // à Sc, souvent plissé et localement boudiné. TXT: CS, LA, SC, AP-GF \$: TR-2% Py-Po, diss le long des plans de Sc.						
2019	344677	5808334		OGL			A0716767	-0.005	476
2019	344445	5808247		OGL			A0716768	0.005	199
2019	344664	5808337	Même grande surface affleurante que précédente station à +/- 70 mètres l'est. Zone de rouille fait approximativement 1 mètre de large. Zone contient jusqu'à 40% de veinules de QZ, boudinées et plissées par la SC. TXT: CS, SC, GF, VN \$: Tr-3%, Py diss, surtout en bordure des veinules de QZ.	OGL	V3-M8		A0716769	0.009	390
2019	344639	5808381		OGL			A0716770	0.006	365
2019	344460	5808261	Affleurement de couleur verdâtre et rouillé, traversé par un cisaillement métrique. La roche apparaît laminée dans le cisaillement et des veines de qz sont injectées parallèlement à Sc. Ces dernières sont d'épaisseur mm à cm.	OGL	V3-M8		A0716771	0.022	312
2019	344140	5808464	Affleurement de couleur noire à verdâtre avec tache de rouille. Traversé par un cisaillement métrique et des veines de Qz // à la Sc. TXT: CS, SC, GF, LA \$: Tr-3% Py, souvent en mince stringer en marge des veines de Qz.	OGL	V3-M8		A0716772	-0.005	29
2019	344300	5808470	Grand affleurement partiellement recouvert d'arbres et de mousse. Roche d'aspect laminé et de couleur verdâtre. Consistes-en des basaltes très cisailés, injecté de veines de Qz et de petit dyke felsique et pegmatitique souvent discordant. TXT: CS, SC, GF \$: 2-4% Py, stringers mm // à Sc et disséminé, Tr Cp.	OGL	V3-M8		A0716773	0.006	1190
2019	345764	5808272	Grand affleurement de rouillé sur bord de la route de la BJ. Basalte cisailé localement injecté de veinules de Qz boudinée et plissée par la Sc. la roche semble légèrement silicifié et chloritisé TXT: CS, VN, GF, SC ALT: SI+, CL+ \$: Tr Py	OGL	V3-M8		A0716774	-0.005	16
2019	346090	5808436	Grand affleurement de couleur noirâtre à verdâtre et injecté de dyke dm à m de pegmatite. Consistes-en du basalte faiblement cisailé et altéré. TXT: SC, GF ALT: SI+, CL++, BO- \$: 5-7% de Py blanche, Idiomo à hypidio et disséminé.	OGL	V3		A0716775	0.009	850
2019	346825	5808253		OGL			A0716776	0.005	346
2019	358862	5799797	Même button que station précédente, sud flanc sud. Roche de couleur verdâtre foncé et localement d'aspect laminé. Bande de rouille	OGL	V3-V2		A0716777	0.106	207



Année	Estrant	Nordant	Description	Secteur	Minéralogie	Commentaire	No échantillon	Au ppm 0.005 Au-AA23	Cu ppm 1 ME-ICP41
	UTM NAD 83 zone18								
			d'épaisseur dm à métrique visible localement. Consiste en de laves int/maf cisailé modérément avec des bandes felsiques porphyriques, possiblement des volcanites, parallèle à stratigraphie. Cette roche est modérément altérée en BO, SI et possiblement quelques carbonates concentrés dans des micros veinules parallèles à la Sc. Les dykes/bandes felsiques sont d'épaisseur dm à m et fréquemment rouillé, ces derniers semblent être des vecteurs de minéralisation. TXT: SC, GF, LA, ALT: BO+ SI+, +/-CB \$: 5-7% de Py-Po disséminés ou en mince lamelle // @ SC						
2019	358861	5799780	Même zone affleurante que décrite dans précédente station. Zone très rouillée, bande d'épaisseur métrique. Roche verdâtre foncé en cassure fraîche. Volcanite intermédiaire recoupé de 5% de microveinules de Qz // à Sc. TXT: GF, SC, VN \$: 5-10% Py+/-Po, blanchâtre, Idiomorphique à hypidiomorphique, diss ou en forme de lamelles mm // à la Sc. possible trace de Po.	OGL	V3-V2		A0716778	0.009	59
2019	358862	5799797	Même bouton que station précédente, sud flanc sud. Roche de couleur verdâtre foncé et localement d'aspect laminé. Bande de rouille d'épaisseur dm à métrique visible localement. Consiste en de laves int/maf cisailé modérément avec des bandes felsiques porphyriques, possiblement des volcanites, parallèle à stratigraphie. Cette roche est modérément altérée en BO, SI et possiblement quelques carbonates concentrés dans des micro veinules parallèles à la Sc. Les dykes/bandes felsiques sont d'épaisseur dm à m et fréquemment rouillé, cer derniers semblent être des vecteurs de minéralisation. TXT: SC, GF, LA, ALT: BO+ SI+, +/-CB \$: 5-7% de Py-Po disséminés ou en mince lamelle // @ SC	OGL	V3-V2		A0716779	0.013	134
2019	358695	5799791		OGL			A0716780	0.006	134
2019	358661	5799595	Continuité de la zone rouillée décrite à précédente station, roche de couleur verdâtre en cassure fraîche et bien Sc. peut contenir jusqu'à 50% de veinules de Qz localement. Zone de rouille d'épaisseur métrique et parallèle à Sc. TXT: SC, GF, CS, VN \$: Tr-5% Py, possible Po, minéralisation de couleur blanche à grise, grains Idio à hypidio et disséminés.	OGL	V3-V2		A0716781	0.011	186
2019	358807	5799521	Continuité de zone affleurante, flanc sud à +/- 500 mètres au nord de la rivière Eastmain et à 1.6 km à l'est après pond sur route de la BJ. Roche de couleur noirâtre recoupée par zon de rouille d'épaisseur métriques, roche semble magnétique. Roche semble être un basalte cisailé et altéré, localement recoupé par des veinules mm de Qz concordante à Sc (< 5%) TXT: AP-GF, SC, ALT: SI++, AM+, MT+ \$: 5-7% Py diss, blanche, Idiomorphique à hypidiomorphique et	OGL	V3		A0716782	0.014	23

Année	Estrant	Nordant	Description	Secteur	Minéralogie	Commentaire	No échantillon	Au ppm 0.005 Au-AA23	Cu ppm 1 ME-ICP41
	UTM NAD 83 zone18								
			localement en petit stringers semi-massif mm // à Sc.						
2019	358807	5799521	Continuité de zone affleurante, flanc sud à +/- 500 mètres au nord de la rivière Eastmain et à 1.6 km à l'est après pond sur route de la BJ. Roche de couleur noirâtre recoupée par zon de rouille d'épaisseur métriques, roche semble magnétique. Roche semble être un basalte cisailé et altéré, localement recoupé par des veinules mm de Qz concordante à Sc (< 5%) TXT: AP-GF, SC, ALT: SI++, AM+, MT+ \$: 5-7% Py diss, blanche, Idiomorphique à hypidiomorphique et localement en petit stringers semi-massif mm // à Sc.	OGL	V3		A0716783	0.011	34
2019	358820	5799746		OGL			A0716784	0.005	84
2019	358870	5799774		OGL			A0716785	0.014	87
2019	359002	5799744		OGL			A0716786	0.03	51
2019	358973	5799716	Affleurement dans continuité de zone décrite à précédente dans les stations précédentes. Très rouillé et de couleur noirâtre en cassure fraîche. Roche semble être un schiste légèrement graphiteux, riche en BO +/- Qz et AM. TXT: SC, AP-GF, CS ALT: BO+, SI+, AM+ \$: 5-8% Py en mince stringers // à Sc, épaisseur mm et Py blanche disséminée.	OGL	V3-M8		A0716787	0.04	76
2019	359012	5799671	Affleurement de gris foncé à blanchâtre avec tache de rouille. Roche consiste en des basaltes injectés de dyke felsique cm @ m. Compo des dykes semble granitique à tonalitique. TXT: SC, GF-GM, CS, GR S: 5-7% Py blanchâtre diss, hypidio à Xéno avec trace de CP observé.	OGL	V3		A0716788	0.009	91
2019	359096	5799596		OGL			A0716789	0.006	62
2019	358830	5799523	Zone affleurante de couleur noirâtre à gris pâle. Contact entre séquence volcanique et unité sédimentaire décrite à précédente station. Présence d'une bande très rouillée au contact marquant transition du côté basalte. Roche de composition AM-BO+/-FP+/-QZ TXT: GF, SC, BX ALT: SI++, CL+, BO+ \$: 7-10% Py blanchâtre en amas mm à cm, local en filonnets hypidio à xéno.	OGL	V3-S2		A0716790	0.006	47
2019	360515	5800959	Affleurement de la mousse avec tache verdâtre avec tache de rouille. Lave intermédiaire schistosé et altéré recoupé par de veinules de Qz concordantes à Sc et boudinées localement. TXT: SC, GF-GM ALT: AM++ CL \$: 1-3% Py blanche et Po en trace, disséminé le long des plans de Sc, localement en fine lamelle de 2-4 mm de longueur.	OGL	V2-M16		A0716791	0.006	256
2019	360628	5800576	Aff ressortant de la mousse d'environ 2 mètres près d'un marécage, de couleur verdâtre avec tache de rouille. Volcanite intermédiaire	OGL	V2-M16		A0716792	0.037	356

Année	Estrant	Nordant	Description	Secteur	Minéralogie	Commentaire	No échantillon	Au ppm 0.005 Au-AA23	Cu ppm 1 ME-ICP41
	UTM NAD 83 zone18								
			amphibolitisé et bien schistosé. Plusieurs veines irrégulières de qz blanchâtre irrégulières et diffuses, possiblement avec CB. TXT: SC, GF-GM ALT: AM++ CL+ BO+ GT+ \$:5-7% Py-Po, diss le long des plans de Sc, localement en marge des veinules						
2019	360682	5800570	Affleurement de couleur vert foncé et ressortant de la mousse d'environ 2-3 mètres, quelques taches de rouille locales sont visibles. Coulée de basalte massive bien schistosé et localement faiblement brèchifié par veinules de Qz+/-Cb. TXT: GF, SC, BX ALT: AM++ BO+ \$: Tr-1% Py disséminé	OGL	V3-M16		A0716793	0.017	64
2019	360819	5800632	Affleurement de couleur verdâtre avec tache de rouille, noirâtre en cassure fraîche. Traversé par veines cm à dm, discordante de Qz-Fp avec 2-5% Py disséminé. TXT: SC, BX, VN ALT: AM++ BO+ \$: TR-3% souvent en bordure ou dans les veinules de Qz-Cp	OGL	V3-M16		A0716794	0.01	255
2019	360862	5800713		OGL			A0716795	0.348	171
2019	360846	5800708		OGL			A0716796	0.02	416
2019	360839	5800707		OGL			A0716797	0.005	195
2019	361740	5800987	Affleurement sur une crête de 10-20 mètres de hauteur. Roche de couleur verdâtre avec tache de rouille locale. La roche est verdâtre foncé à noir en cassure fraîche. Unité modérément cisailée avec des veinules blanches à grisâtre recoupant la roche. Ces dernières sont souvent // à Sc, mais il existe un second réseau en remplissage de fracture tardive à 30-45° de Sc. TXT: SC, VN, GF, FR \$: 3-5% Py+Po, diss et à grain fin, hypidiomorphe.	OGL	V2-M16		A0716798	0.009	152
2019	361754	5800984	Même crête rouillée que décrite en 051 avec une bande rouillée faisant de 0.5-1 mètres en largeur. Roche de couleur noire à verdâtre en cassure fraîche. Semble être un petit filon couche de gabbro injecté entre séquences de vulcanites intermédiaire // Sc. Roche composée presque exclusivement d'AM, actinote et hornblende principalement, avec des grenats et biotite en minéraux accessoires. TXT: EQ, GM, PO, SC \$: 3-5% Po+Py, disséminés ou en amas mm, grain fin, Idio à hypidio	OGL	V2-M16 et I3		A0716799	0.035	94
2019	361944	5801067	Grande crête orientée +/- N030-045, roche généralement de couleur verdâtre avec tache de rouille. Contient de 5-15% de lapillis généralement de compo felsique. Ces derniers sont allongés avec la Sc. TXT: HT, SC, GF ALT: AM++, BO+, Si+ \$: 5-7% Py-Po, diss ou en mince lamelle // à Sc, hypido, gf 1-2 mm en taille	OGL	V2[TU]		A0716800	0.01	67

Année	Estrant	Nordant	Description	Secteur	Minéralogie	Commentaire	No échantillon	Au ppm	Cu ppm
	UTM NAD 83 zone18							0.005	1
		Au-AA23		ME-ICP41					
2019	361991	5801094	Continuité de dernier affleurement, zone rouillée dans amphibolite, noir en cassure fraîche. TXT: CS, SC, GF ALT: AM++, BO+, SI+	OGL	M16-V2		A0716801	-0.005	154
2019	362021	5801170	Affleurement sur crête telle que décrits entre stations 050-054, gris pâle à verdâtre en cassure fraîche. TXT:SC, AP-GF ALT: SI++, AM+ BO+ \$: 2-4% Py-Po, diss, possible Asp en trace.	OGL	V2		A0716802	0.011	72
2019	361801	5801021		OGL			A0716803	0.026	375
2019	361802	5801018		OGL			A0716804	0.013	312
2019	361974	5801076		OGL			A0716805	0.011	108

---

**ANNEXE V**

---

PLAN DE LOCALISATION DE LA PROSPECTION 2019

Carte(s) de dimensions hors standard placée(s) à la suite du présent document ou disponible en GeoTIFF sur la Carte interactive.

Non standard size map(s) positioned after this document or available in GeoTIFF on the Interactive map.

---

**ANNEXE VI**

---

RÉSULTATS D'ANALYSES DES ÉCHANTILLONS DE ROCHES 2019





ALS Canada Ltd.  
2103 Dollarton Hwy  
North Vancouver BC V7H 0A7  
Téléphone: +1 (604) 984 0221 Télécopieur: +1 (604) 984 0218  
www.alsglobal.com/geochemistry

À: CORPORATION MÉTAUX PRÉCIEUX DU  
QUÉBEC  
1080, CÔTE DU BEAVER HALL  
SUITE 2101  
MONTRÉAL QC H2Z 1S8

Page: 1  
Nombre total de pages: 5 (A - C)  
plus les pages d'annexe  
Finalisée date: 9-DEC-2019  
Compte: QPMCORP

**CERTIFICAT VO19292313**

Projet: OPINACA

Ce rapport s'applique aux 155 échantillons de roche soumis à notre laboratoire de Val d'Or, QC, Canada le 17-NOV-2019.

Les résultats sont transmis à:

KATHLEEN BOUCHER

NORMAND CHAMPIGNY

JEAN-SEBASTIEN LAVALLEE

**PRÉPARATION ÉCHANTILLONS**

CODE ALS	DESCRIPTION
WEI-21	Poids échantillon reçu
CRU-QC	Test concassage QC
PUL-QC	Test concassage QC
LOG-21	Entrée échantillon - Code barre client
CRU-31	Granulation - 70 % <2 mm
SPL-21	Échant. fractionné - div. riffles
PUL-31	Pulvérisé à 85 % <75 um

**PROCÉDURES ANALYTIQUES**

CODE ALS	DESCRIPTION	INSTRUMENT
Au-AA23	Au 30 g fini FA-AA	AAS
ME-ICP41	Aqua regia ICP-AES 35 éléments	ICP-AES

Ce rapport est final et remplace tout autre rapport préliminaire portant ce numéro de certificat. Les résultats s'appliquent aux échantillons soumis. Toutes les pages de ce rapport ont été vérifiées et approuvées avant publication.

\*\*\*\*\* Voir la page d'annexe pour les commentaires en ce qui concerne ce certificat \*\*\*\*\*

Signature: *Nacera Amara*  
Nacera Amara, Laboratory Manager, Val d'Or



ALS Canada Ltd.  
 2103 Dollarton Hwy  
 North Vancouver BC V7H 0A7  
 Téléphone: +1 (604) 984 0221 Télécopieur: +1 (604) 984 0218  
 www.alsglobal.com/geochemistry

À: CORPORATION MÉTAUX PRÉCIEUX DU  
 QUÉBEC  
 1080, CÔTE DU BEAVER HALL  
 SUITE 2101  
 MONTRÉAL QC H2Z 1S8

Page: 2 - A  
 Nombre total de pages: 5 (A - C)  
 plus les pages d'annexe  
 Finalisée date: 9-DEC-2019  
 Compte: QPMCORP

Projet: OPINACA

**CERTIFICAT D'ANALYSE VO19292313**

Description échantillon	Méthode élément unités LDI	WEI-21	Au-AA23	ME-ICP41	ME-ICP41	ME-ICP41	ME-ICP41	ME-ICP41	ME-ICP41	ME-ICP41	ME-ICP41	ME-ICP41	ME-ICP41	ME-ICP41	ME-ICP41	ME-ICP41
		Poids reçu kg	Au ppm	Ag ppm	Al %	As ppm	B ppm	Ba ppm	Be ppm	Bi ppm	Ca %	Cd ppm	Co ppm	Cr ppm	Cu ppm	Fe %
		0.02	0.005	0.2	0.01	2	10	10	0.5	2	0.01	0.5	1	1	1	0.01
A0716651		1.84	<0.005	0.2	2.85	2	<10	110	0.6	<2	1.69	<0.5	13	9	22	3.13
A0716652		1.19	<0.005	<0.2	3.76	<2	<10	1430	<0.5	<2	0.91	<0.5	7	49	20	5.70
A0716653		1.22	0.011	0.2	1.51	<2	<10	230	<0.5	<2	0.50	<0.5	20	51	78	4.11
A0716654		0.92	<0.005	<0.2	1.20	<2	<10	60	<0.5	<2	0.91	<0.5	23	26	123	5.44
A0716655		0.95	0.005	0.2	1.11	<2	<10	180	<0.5	<2	0.12	<0.5	22	68	11	3.19
A0716656		1.22	<0.005	<0.2	1.82	<2	<10	90	<0.5	<2	0.93	<0.5	30	65	72	5.33
A0716657		1.48	<0.005	0.2	0.37	<2	<10	20	<0.5	<2	0.35	<0.5	4	15	127	1.84
A0716658		0.86	<0.005	0.2	1.88	<2	<10	40	1.4	<2	1.80	<0.5	22	25	39	3.07
A0716659		0.99	<0.005	<0.2	0.46	6	<10	10	<0.5	<2	0.24	0.6	10	14	47	1.52
A0716660		1.33	0.005	<0.2	0.32	<2	<10	10	<0.5	<2	0.56	<0.5	2	12	15	3.99
A0716661		0.92	0.005	<0.2	0.45	<2	<10	130	<0.5	<2	0.04	<0.5	<1	14	8	2.86
A0716662		1.07	<0.005	<0.2	0.66	<2	<10	50	<0.5	<2	0.15	<0.5	4	13	12	1.93
A0716663		1.48	<0.005	<0.2	0.82	<2	<10	10	<0.5	<2	0.19	<0.5	8	23	14	3.12
A0716664		1.37	<0.005	<0.2	0.91	2	<10	20	<0.5	<2	0.14	<0.5	4	22	5	2.33
A0716665		1.16	0.005	0.2	1.54	2	<10	20	<0.5	<2	0.75	<0.5	26	28	171	4.28
A0716666		0.87	<0.005	<0.2	1.51	<2	<10	30	0.5	2	0.43	<0.5	16	270	38	4.77
A0716667		0.75	<0.005	<0.2	0.73	<2	<10	30	<0.5	<2	0.17	<0.5	2	12	4	1.32
A0716668		1.25	<0.005	<0.2	0.47	<2	<10	10	0.9	<2	0.97	<0.5	2	8	10	3.67
A0716669		0.86	0.009	0.2	0.51	<2	<10	10	<0.5	<2	0.17	<0.5	10	20	33	3.02
A0716670		1.15	0.013	0.3	4.13	<2	<10	100	<0.5	<2	1.86	<0.5	8	13	29	4.92
A0716671		0.94	<0.005	0.4	1.28	3	<10	10	<0.5	2	0.77	<0.5	29	234	142	6.35
A0716672		1.08	<0.005	<0.2	0.42	<2	<10	10	<0.5	<2	0.38	<0.5	11	12	28	4.41
A0716673		1.00	<0.005	<0.2	1.00	<2	<10	40	<0.5	<2	0.16	<0.5	5	14	13	3.11
A0716674		0.76	<0.005	<0.2	0.52	<2	<10	20	<0.5	<2	0.16	<0.5	6	23	15	2.14
A0716675		1.16	<0.005	<0.2	0.64	<2	<10	20	<0.5	<2	0.14	<0.5	3	14	7	1.53
A0716676		1.29	<0.005	0.2	1.19	6	<10	10	0.5	<2	0.77	<0.5	1	11	1	0.68
A0716677		0.75	<0.005	<0.2	0.19	5	<10	10	<0.5	<2	0.08	<0.5	2	11	2	2.07
A0716678		0.94	<0.005	<0.2	0.47	12	<10	10	<0.5	<2	0.44	<0.5	6	16	3	2.07
A0716679		1.01	<0.005	<0.2	0.15	9	<10	<10	<0.5	<2	0.22	<0.5	2	12	10	2.42
A0716680		1.44	<0.005	0.2	0.58	<2	<10	20	<0.5	<2	0.24	<0.5	8	15	29	3.09
A0716681		1.68	<0.005	<0.2	2.55	<2	<10	220	<0.5	<2	1.84	<0.5	25	31	60	4.16
A0716682		1.51	<0.005	<0.2	2.22	2	<10	810	<0.5	<2	1.43	<0.5	22	30	11	5.95
A0716683		1.47	<0.005	<0.2	0.51	2	<10	10	<0.5	<2	0.29	<0.5	10	13	17	1.30
A0716684		1.98	<0.005	<0.2	1.57	2	<10	20	<0.5	<2	0.51	<0.5	13	214	21	4.91
A0716685		2.35	<0.005	<0.2	0.34	<2	<10	10	<0.5	<2	1.20	<0.5	4	12	9	4.53
A0716686		1.30	<0.005	<0.2	1.03	<2	<10	10	<0.5	<2	0.30	1.2	17	16	114	3.26
A0716687		1.51	0.006	<0.2	1.51	2	<10	<10	0.6	20	1.31	<0.5	45	19	176	4.91
A0716688		1.33	<0.005	<0.2	0.89	<2	<10	30	<0.5	<2	0.31	0.7	12	17	70	2.26
A0716689		2.17	<0.005	<0.2	2.35	2	<10	150	<0.5	<2	0.21	<0.5	12	46	18	7.45
A0716690		1.57	<0.005	<0.2	0.77	2	<10	20	<0.5	<2	0.20	<0.5	7	13	14	4.14





ALS Canada Ltd.  
 2103 Dollarton Hwy  
 North Vancouver BC V7H 0A7  
 Téléphone: +1 (604) 984 0221 Télécopieur: +1 (604) 984 021 8  
 www.alsglobal.com/geochemistry

À: CORPORATION MÉTAUX PRÉCIEUX DU  
 QUÉBEC  
 1080, CÔTE DU BEAVER HALL  
 SUITE 2101  
 MONTRÉAL QC H2Z 1S8

Page: 2 - B  
 Nombre total de pages: 5 (A - C)  
 plus les pages d'annexe  
 Finalisée date: 9-DEC-2019  
 Compte: QPMCORP

Projet: OPINACA

**CERTIFICAT D'ANALYSE VO19292313**

Description échantillon	Méthode élément unités LDI	ME-ICP41	ME-ICP41	ME-ICP41	ME-ICP41	ME-ICP41	ME-ICP41	ME-ICP41	ME-ICP41	ME-ICP41	ME-ICP41	ME-ICP41	ME-ICP41	ME-ICP41	ME-ICP41	
		Ga ppm 10	Hg ppm 1	K % 0.01	La ppm 10	Mg % 0.01	Mn ppm 5	Mo ppm 1	Na % 0.01	Ni ppm 1	P ppm 10	Pb ppm 2	S % 0.01	Sb ppm 2	Sc ppm 1	Sr ppm 1
A0716651		10	<1	0.17	20	0.12	138	1	0.18	14	910	3	1.13	<2	1	490
A0716652		10	<1	1.93	30	1.35	480	1	0.30	12	1070	2	0.16	<2	10	185
A0716653		10	<1	0.94	60	1.04	381	2	0.09	22	1490	5	1.26	2	14	47
A0716654		10	<1	0.13	<10	0.56	798	1	0.12	31	400	2	1.24	<2	8	8
A0716655		10	<1	0.73	<10	0.74	185	2	0.10	30	330	<2	1.50	<2	10	98
A0716656		10	<1	0.07	10	1.21	543	<1	0.10	40	520	<2	1.36	<2	7	13
A0716657		<10	<1	0.03	<10	0.16	175	<1	0.04	4	90	<2	0.15	<2	2	5
A0716658		10	<1	0.05	<10	0.59	930	<1	0.22	28	350	<2	0.36	<2	9	36
A0716659		<10	<1	0.14	10	0.26	199	2	0.05	19	160	5	0.85	<2	2	4
A0716660		<10	<1	0.03	10	0.09	118	1	0.05	3	600	<2	1.50	<2	<1	4
A0716661		10	<1	0.47	<10	0.22	140	2	0.06	1	110	4	0.73	<2	4	8
A0716662		<10	<1	0.33	10	0.29	266	1	0.07	6	290	<2	0.55	<2	2	7
A0716663		10	1	0.11	10	0.44	191	3	0.04	18	350	4	1.75	<2	2	8
A0716664		10	<1	0.12	10	0.75	163	3	0.03	15	250	4	0.60	<2	2	10
A0716665		10	<1	0.17	<10	0.72	635	7	0.08	40	330	<2	1.31	<2	10	10
A0716666		10	<1	0.12	10	1.25	368	8	0.05	55	1210	3	0.97	<2	3	19
A0716667		10	<1	0.31	10	0.40	272	1	0.09	3	430	2	0.18	<2	2	11
A0716668		<10	<1	0.04	10	0.15	116	1	0.06	3	2210	<2	1.35	<2	1	16
A0716669		<10	<1	0.18	10	0.43	456	2	0.06	18	430	4	1.85	<2	4	8
A0716670		10	<1	1.18	20	0.80	651	2	0.14	10	430	5	0.90	<2	2	134
A0716671		10	<1	0.08	10	1.45	328	5	0.04	64	1610	4	4.11	<2	3	10
A0716672		<10	<1	0.04	10	0.12	217	1	0.08	11	440	5	2.38	<2	1	12
A0716673		<10	<1	0.58	10	0.43	221	1	0.09	8	320	<2	0.89	<2	2	16
A0716674		<10	<1	0.29	10	0.39	246	2	0.06	10	260	6	0.94	<2	3	9
A0716675		<10	<1	0.33	10	0.34	177	1	0.09	5	270	<2	0.28	<2	2	9
A0716676		<10	<1	0.04	<10	0.07	96	<1	0.19	1	200	4	0.32	<2	1	62
A0716677		<10	<1	0.05	10	0.09	70	<1	0.04	3	150	5	1.30	<2	1	6
A0716678		<10	<1	0.04	10	0.10	194	1	0.08	8	350	7	1.51	<2	2	10
A0716679		<10	<1	<0.01	<10	0.06	111	<1	0.01	5	480	3	1.47	<2	<1	2
A0716680		<10	<1	0.15	10	0.30	247	1	0.09	11	330	2	1.89	<2	1	14
A0716681		10	<1	0.27	<10	1.48	673	<1	0.18	39	330	<2	0.38	<2	12	21
A0716682		10	1	0.65	<10	0.87	1345	<1	0.17	32	220	3	0.04	<2	11	8
A0716683		<10	<1	0.14	10	0.35	237	1	0.05	16	290	4	1.02	<2	3	8
A0716684		10	<1	0.12	10	1.25	310	1	0.03	43	1600	4	1.82	<2	3	20
A0716685		<10	<1	0.04	<10	0.14	359	<1	0.03	11	1310	<2	1.84	<2	1	7
A0716686		10	<1	0.07	<10	0.57	378	2	0.03	33	240	8	0.98	<2	4	2
A0716687		10	<1	0.01	10	0.60	548	<1	0.02	58	330	<2	1.68	<2	5	24
A0716688		10	<1	0.13	10	0.69	327	3	0.05	23	260	8	0.90	2	4	4
A0716689		10	<1	1.53	20	0.85	366	2	0.06	31	550	3	1.42	<2	7	16
A0716690		<10	<1	0.28	10	0.35	408	1	0.06	10	320	3	1.45	<2	2	12

\*\*\*\*\* Voir la page d'annexe pour les commentaires en ce qui concerne ce certificat \*\*\*\*\*



ALS Canada Ltd.  
 2103 Dollarton Hwy  
 North Vancouver BC V7H 0A7  
 Téléphone: +1 (604) 984 0221 Télécopieur: +1 (604) 984 0218  
 www.alsglobal.com/geochemistry

À: CORPORATION MÉTAUX PRÉCIEUX DU  
 QUÉBEC  
 1080, CÔTE DU BEAVER HALL  
 SUITE 2101  
 MONTRÉAL QC H2Z 1S8

Page: 2 - C  
 Nombre total de pages: 5 (A - C)  
 plus les pages d'annexe  
 Finalisée date: 9-DEC-2019  
 Compte: QPMCORP

Projet: OPINACA

**CERTIFICAT D'ANALYSE VO19292313**

Description échantillon	Méthode élément unités LDI	ME-ICP41	ME-ICP41	ME-ICP41	ME-ICP41	ME-ICP41	ME-ICP41
		Th	Ti	Tl	V	W	Zn
		ppm	%	ppm	ppm	ppm	ppm
		20	0.01	10	1	10	2
A0716651		<20	0.13	<10	19	<10	14
A0716652		<20	0.33	<10	133	<10	66
A0716653		<20	0.29	<10	157	<10	63
A0716654		<20	0.17	<10	81	<10	36
A0716655		<20	0.16	<10	89	<10	56
A0716656		<20	0.23	<10	90	<10	54
A0716657		<20	0.06	<10	28	10	6
A0716658		<20	0.21	<10	80	<10	27
A0716659		<20	0.03	<10	11	<10	144
A0716660		<20	0.01	<10	3	<10	5
A0716661		<20	0.11	<10	33	<10	9
A0716662		<20	0.08	<10	14	<10	64
A0716663		<20	0.03	<10	16	<10	38
A0716664		<20	0.05	<10	17	<10	30
A0716665		<20	0.19	<10	101	<10	31
A0716666		<20	0.22	<10	65	<10	37
A0716667		<20	0.06	<10	19	<10	19
A0716668		<20	0.01	<10	5	<10	4
A0716669		<20	0.05	<10	31	<10	43
A0716670		<20	0.14	<10	30	<10	124
A0716671		<20	0.15	<10	80	<10	31
A0716672		<20	0.11	<10	18	10	248
A0716673		<20	0.12	<10	20	<10	47
A0716674		<20	0.08	<10	23	<10	46
A0716675		<20	0.10	<10	18	<10	28
A0716676		<20	0.01	<10	4	<10	4
A0716677		<20	0.01	<10	2	<10	5
A0716678		<20	0.07	<10	12	<10	38
A0716679		<20	0.01	<10	2	<10	9
A0716680		<20	0.09	<10	18	<10	42
A0716681		<20	0.18	<10	106	<10	39
A0716682		<20	0.23	<10	93	<10	39
A0716683		<20	0.06	<10	23	<10	52
A0716684		<20	0.15	<10	59	<10	22
A0716685		<20	0.01	<10	5	<10	5
A0716686		<20	0.08	<10	24	<10	276
A0716687		<20	0.14	<10	47	<10	52
A0716688		<20	0.09	<10	30	<10	330
A0716689		<20	0.16	<10	48	<10	62
A0716690		<20	0.10	<10	23	<10	36





ALS Canada Ltd.  
 2103 Dollarton Hwy  
 North Vancouver BC V7H 0A7  
 Téléphone: +1 (604) 984 0221 Télécopieur: +1 (604) 984 0218  
 www.alsglobal.com/geochemistry

À: CORPORATION MÉTAUX PRÉCIEUX DU  
 QUÉBEC  
 1080, CÔTE DU BEAVER HALL  
 SUITE 2101  
 MONTRÉAL QC H2Z 1S8

Page: 3 - A  
 Nombre total de pages: 5 (A - C)  
 plus les pages d'annexe  
 Finalisée date: 9-DEC-2019  
 Compte: QPMCORP

Projet: OPINACA

**CERTIFICAT D'ANALYSE VO19292313**

Description échantillon	Méthode élément unités LDI	WEI-21	Au-AA23	ME-ICP41	ME-ICP41	ME-ICP41	ME-ICP41	ME-ICP41	ME-ICP41	ME-ICP41	ME-ICP41	ME-ICP41	ME-ICP41	ME-ICP41	ME-ICP41	ME-ICP41
		Poids reçu kg	Au ppm	Ag ppm	Al %	As ppm	B ppm	Ba ppm	Be ppm	Bi ppm	Ca %	Cd ppm	Co ppm	Cr ppm	Cu ppm	Fe %
		0.02	0.005	0.2	0.01	2	10	10	0.5	2	0.01	0.5	1	1	1	0.01
A0716691		1.15	<0.005	0.2	1.03	2	<10	40	<0.5	<2	0.69	<0.5	23	53	58	4.10
A0716692		1.38	<0.005	<0.2	0.47	<2	<10	10	<0.5	<2	0.28	<0.5	5	11	23	0.98
A0716693		1.73	<0.005	<0.2	1.54	3	<10	20	<0.5	<2	1.31	<0.5	33	168	83	4.69
A0716694		1.38	0.026	<0.2	1.31	<2	<10	10	<0.5	<2	0.98	<0.5	9	12	24	3.85
A0716695		1.68	<0.005	0.2	2.71	<2	<10	170	5.3	<2	1.88	<0.5	41	212	187	3.89
A0716696		1.21	<0.005	<0.2	0.41	9	<10	10	<0.5	<2	0.20	<0.5	7	14	12	4.56
A0716697		1.51	0.020	0.4	1.34	<2	<10	<10	<0.5	<2	1.59	<0.5	11	7	39	13.45
A0716698		1.77	<0.005	0.5	0.77	2	<10	<10	3.6	<2	1.93	0.6	8	17	228	10.90
A0716699		1.49	<0.005	0.3	3.00	<2	<10	50	0.5	<2	2.36	<0.5	9	16	36	6.28
A0716700		1.84	<0.005	0.4	1.92	<2	<10	10	<0.5	<2	1.49	<0.5	10	13	97	7.36
A0716701		1.30	<0.005	<0.2	0.72	2	<10	10	<0.5	<2	0.23	<0.5	3	17	11	3.98
A0716702		1.38	<0.005	<0.2	1.90	<2	<10	10	<0.5	<2	0.49	<0.5	5	9	11	5.99
A0716703		1.42	<0.005	<0.2	1.92	<2	<10	20	<0.5	<2	0.40	<0.5	24	132	53	4.43
A0716704		1.30	<0.005	<0.2	1.16	2	<10	30	<0.5	<2	1.77	<0.5	21	174	113	2.72
A0716705		0.42	0.006	<0.2	0.17	78	<10	30	<0.5	2	0.03	<0.5	39	9	10	8.47
A0716706		1.48	<0.005	0.2	0.61	3	<10	10	<0.5	<2	0.23	<0.5	9	14	22	5.91
A0716707		1.81	<0.005	0.2	2.43	4	10	60	0.9	<2	0.35	<0.5	12	23	30	9.83
A0716708		1.37	<0.005	0.3	2.10	15	<10	30	0.9	<2	0.42	<0.5	11	24	30	9.58
A0716709		1.14	<0.005	0.3	3.40	2	<10	60	0.5	<2	1.50	<0.5	10	17	53	9.60
A0716710		1.08	<0.005	0.3	0.65	<2	<10	10	<0.5	2	0.15	<0.5	10	12	32	6.83
A0716711		1.47	<0.005	0.2	1.81	2	<10	30	<0.5	2	0.95	0.6	15	23	41	3.74
A0716712		1.12	<0.005	0.2	1.56	2	<10	230	0.5	<2	0.07	<0.5	2	24	4	4.03
A0716713		1.49	<0.005	0.2	2.51	47	<10	120	<0.5	<2	0.49	<0.5	9	18	32	7.92
A0716714		0.99	<0.005	<0.2	1.04	<2	<10	30	<0.5	<2	0.09	<0.5	5	11	11	2.33
A0716715		1.04	<0.005	0.2	0.62	2	<10	10	<0.5	<2	0.76	<0.5	18	46	70	4.18
A0716716		1.20	<0.005	0.2	1.08	<2	<10	50	<0.5	<2	0.47	<0.5	18	83	44	5.68
A0716717		1.17	<0.005	<0.2	1.12	2	<10	80	<0.5	<2	0.77	<0.5	20	27	47	3.61
A0716718		1.32	<0.005	0.2	1.08	<2	<10	60	<0.5	<2	0.36	<0.5	17	26	40	4.09
A0716719		1.18	0.021	0.3	1.77	3	<10	<10	<0.5	<2	1.82	0.7	37	21	117	6.90
A0716720		1.67	0.005	0.4	2.65	20	<10	70	<0.5	<2	0.66	<0.5	9	22	44	8.99
A0716721		1.28	<0.005	<0.2	2.19	20	<10	80	<0.5	<2	0.93	<0.5	7	15	25	6.43
A0716722		0.84	<0.005	<0.2	1.01	14	<10	30	<0.5	<2	0.18	<0.5	7	17	25	2.34
A0716723		2.16	<0.005	<0.2	0.82	<2	<10	20	0.6	<2	0.91	<0.5	3	10	8	4.89
A0716724		0.67	<0.005	<0.2	2.59	19	<10	180	<0.5	<2	0.90	<0.5	6	13	13	5.84
A0716725		1.09	0.005	<0.2	1.50	4	<10	<10	<0.5	<2	1.08	<0.5	7	13	34	5.17
A0716726		1.44	<0.005	<0.2	1.17	4	<10	<10	<0.5	<2	1.30	<0.5	7	11	35	4.57
A0716727		1.83	<0.005	<0.2	1.73	182	<10	10	<0.5	<2	1.21	<0.5	7	15	20	5.99
A0716728		1.26	<0.005	<0.2	0.70	81	<10	<10	<0.5	<2	0.94	<0.5	6	11	18	3.71
A0716729		1.39	<0.005	<0.2	0.47	<2	<10	10	<0.5	<2	0.54	<0.5	16	15	32	3.08
A0716730		1.44	<0.005	0.5	1.56	2	<10	10	0.6	<2	2.37	<0.5	5	13	67	6.57



ALS Canada Ltd.  
 2103 Dollarton Hwy  
 North Vancouver BC V7H 0A7  
 Téléphone: +1 (604) 984 0221 Télécopieur: +1 (604) 984 0218  
 www.alsglobal.com/geochemistry

À: CORPORATION MÉTAUX PRÉCIEUX DU  
 QUÉBEC  
 1080, CÔTE DU BEAVER HALL  
 SUITE 2101  
 MONTRÉAL QC H2Z 1S8

Page: 3 - B  
 Nombre total de pages: 5 (A - C)  
 plus les pages d'annexe  
 Finalisée date: 9-DEC-2019  
 Compte: QPMCORP

Projet: OPINACA

**CERTIFICAT D'ANALYSE VO19292313**

Description échantillon	Méthode élément unités LDI	ME-ICP41	ME-ICP41	ME-ICP41	ME-ICP41	ME-ICP41	ME-ICP41	ME-ICP41	ME-ICP41	ME-ICP41	ME-ICP41	ME-ICP41	ME-ICP41	ME-ICP41	ME-ICP41	
		Ga ppm 10	Hg ppm 1	K % 0.01	La ppm 10	Mg % 0.01	Mn ppm 5	Mo ppm 1	Na % 0.01	Ni ppm 1	P ppm 10	Pb ppm 2	S % 0.01	Sb ppm 2	Sc ppm 1	Sr ppm 1
A0716691		10	<1	0.30	30	0.82	326	1	0.07	25	1750	3	2.26	<2	2	39
A0716692		<10	<1	0.11	10	0.34	272	1	0.06	7	540	2	0.53	<2	2	8
A0716693		10	<1	0.34	10	0.99	276	1	0.06	62	1690	2	2.00	<2	2	29
A0716694		10	<1	0.06	10	0.59	431	1	0.04	12	440	2	2.16	<2	2	4
A0716695		10	<1	1.02	<10	1.81	256	1	0.04	98	790	<2	1.10	<2	4	48
A0716696		<10	<1	0.07	10	0.17	231	1	0.03	12	200	3	1.69	<2	2	9
A0716697		10	<1	0.15	10	0.38	2310	16	0.11	14	350	2	1.01	<2	1	7
A0716698		<10	<1	0.02	<10	0.07	2610	2	0.01	12	380	2	1.99	<2	1	9
A0716699		10	<1	0.60	10	0.48	1215	44	0.22	11	530	2	1.10	<2	3	49
A0716700		10	<1	0.18	10	0.59	1270	3	0.11	15	500	4	1.81	<2	2	23
A0716701		<10	<1	0.23	<10	0.28	196	<1	0.04	4	230	6	1.01	<2	3	11
A0716702		10	<1	0.11	10	0.66	1095	1	0.08	5	350	2	0.12	<2	2	11
A0716703		10	<1	0.08	10	1.32	377	1	0.07	79	560	3	0.06	<2	15	13
A0716704		10	<1	0.07	20	1.03	297	<1	0.08	69	740	4	0.15	<2	4	23
A0716705		<10	<1	0.11	10	0.01	29	7	0.05	38	760	32	8.52	<2	1	22
A0716706		<10	<1	0.19	10	0.32	303	1	0.06	13	280	<2	4.21	<2	1	9
A0716707		10	<1	0.47	10	1.05	320	2	0.05	18	850	8	4.24	<2	4	17
A0716708		10	<1	0.31	10	0.59	301	4	0.02	18	740	5	4.09	<2	4	12
A0716709		10	<1	0.92	10	0.99	474	1	0.10	15	860	5	3.42	<2	4	202
A0716710		<10	<1	0.37	10	0.45	492	1	0.04	13	380	4	4.85	<2	2	7
A0716711		10	<1	0.47	20	0.71	622	4	0.21	21	730	6	2.29	<2	7	32
A0716712		10	<1	1.13	10	0.79	655	1	0.08	3	310	2	0.25	<2	6	18
A0716713		10	<1	0.86	10	0.76	304	1	0.06	14	990	2	2.17	2	4	20
A0716714		<10	<1	0.67	10	0.37	215	<1	0.04	8	320	3	0.32	<2	2	10
A0716715		<10	<1	0.07	20	0.38	230	3	0.06	45	670	5	1.53	<2	3	33
A0716716		10	<1	0.46	20	0.96	273	1	0.03	63	650	12	2.85	<2	7	12
A0716717		<10	<1	0.27	10	0.74	539	<1	0.09	27	430	<2	1.03	<2	5	22
A0716718		10	<1	0.62	10	0.71	419	2	0.05	25	330	3	1.74	<2	6	16
A0716719		10	<1	0.02	<10	0.45	838	<1	0.09	40	380	4	5.41	<2	7	9
A0716720		10	<1	0.97	20	0.76	376	1	0.07	15	1040	3	3.16	<2	3	29
A0716721		10	<1	0.67	10	0.70	385	1	0.04	11	580	2	1.64	<2	3	23
A0716722		10	1	0.15	10	0.57	300	1	0.04	11	310	6	0.33	<2	2	11
A0716723		<10	<1	0.05	<10	0.20	237	1	0.08	7	600	<2	1.34	2	1	23
A0716724		10	<1	1.00	10	0.60	376	1	0.07	7	660	2	0.77	<2	3	60
A0716725		10	<1	0.05	10	0.37	535	1	0.05	14	1420	<2	0.77	<2	2	9
A0716726		<10	<1	0.04	10	0.26	499	1	0.03	14	1200	<2	1.08	<2	1	17
A0716727		10	<1	0.13	10	0.47	1055	1	0.04	18	1580	2	1.67	<2	2	13
A0716728		<10	<1	0.04	10	0.11	370	1	0.02	14	2100	2	0.93	<2	1	12
A0716729		<10	<1	0.11	20	0.20	243	1	0.07	25	490	2	1.35	<2	1	24
A0716730		<10	<1	0.08	10	0.36	484	<1	0.02	6	500	<2	3.14	<2	1	27

\*\*\*\*\* Voir la page d'annexe pour les commentaires en ce qui concerne ce certificat \*\*\*\*\*





ALS Canada Ltd.  
 2103 Dollarton Hwy  
 North Vancouver BC V7H 0A7  
 Téléphone: +1 (604) 984 0221 Télécopieur: +1 (604) 984 0218  
 www.alsglobal.com/geochemistry

À: CORPORATION MÉTAUX PRÉCIEUX DU  
 QUÉBEC  
 1080, CÔTE DU BEAVER HALL  
 SUITE 2101  
 MONTRÉAL QC H2Z 1S8

Page: 3 - C  
 Nombre total de pages: 5 (A - C)  
 plus les pages d'annexe  
 Finalisée date: 9-DEC-2019  
 Compte: QPMCORP

Projet: OPINACA

**CERTIFICAT D'ANALYSE VO19292313**

Description échantillon	Méthode élément unités LDI	ME-ICP41	ME-ICP41	ME-ICP41	ME-ICP41	ME-ICP41	ME-ICP41
		Th	Ti	Tl	V	W	Zn
		ppm	%	ppm	ppm	ppm	ppm
		20	0.01	10	1	10	2
A0716691		<20	0.15	<10	55	<10	56
A0716692		<20	0.04	<10	11	<10	63
A0716693		<20	0.17	<10	74	<10	32
A0716694		<20	0.07	<10	20	<10	78
A0716695		<20	0.30	<10	106	<10	37
A0716696		<20	0.07	<10	19	<10	27
A0716697		<20	0.04	<10	25	<10	51
A0716698		<20	0.05	<10	36	10	145
A0716699		<20	0.09	<10	31	<10	48
A0716700		<20	0.08	10	24	<10	37
A0716701		<20	0.09	<10	24	<10	32
A0716702		<20	0.12	<10	23	<10	26
A0716703		<20	0.20	<10	135	<10	39
A0716704		<20	0.17	<10	66	<10	40
A0716705		<20	0.02	<10	3	<10	22
A0716706		<20	0.06	<10	15	<10	57
A0716707		<20	0.10	<10	36	<10	37
A0716708		<20	0.10	<10	35	<10	24
A0716709		<20	0.11	<10	34	<10	80
A0716710		<20	0.05	<10	16	<10	67
A0716711		<20	0.11	<10	47	<10	231
A0716712		<20	0.15	10	39	<10	66
A0716713		<20	0.15	<10	42	<10	58
A0716714		<20	0.09	<10	13	<10	41
A0716715		<20	0.12	<10	41	<10	19
A0716716		<20	0.14	<10	77	<10	79
A0716717		<20	0.14	<10	57	<10	35
A0716718		<20	0.11	<10	63	<10	98
A0716719		<20	0.18	<10	66	<10	139
A0716720		<20	0.14	<10	42	<10	54
A0716721		<20	0.11	<10	31	<10	47
A0716722		<20	0.08	<10	26	<10	46
A0716723		<20	0.02	<10	8	<10	5
A0716724		<20	0.13	<10	30	<10	46
A0716725		<20	0.03	<10	12	<10	27
A0716726		<20	0.03	<10	8	<10	18
A0716727		<20	0.04	<10	16	<10	46
A0716728		<20	0.01	<10	6	<10	5
A0716729		<20	0.11	<10	26	200	18
A0716730		<20	0.03	<10	9	<10	27

\*\*\*\*\* Voir la page d'annexe pour les commentaires en ce qui concerne ce certificat \*\*\*\*\*





ALS Canada Ltd.  
 2103 Dollarton Hwy  
 North Vancouver BC V7H 0A7  
 Téléphone: +1 (604) 984 0221 Télécopieur: +1 (604) 984 0218  
 www.alsglobal.com/geochemistry

À: CORPORATION MÉTAUX PRÉCIEUX DU  
 QUÉBEC  
 1080, CÔTE DU BEAVER HALL  
 SUITE 2101  
 MONTRÉAL QC H2Z 1S8

Page: 4 - A  
 Nombre total de pages: 5 (A - C)  
 plus les pages d'annexe  
 Finalisée date: 9-DEC-2019  
 Compte: QPMCORP

Projet: OPINACA

**CERTIFICAT D'ANALYSE VO19292313**

Description échantillon	Méthode élément unités LDI	WEI-21	Au-AA23	ME-ICP41	ME-ICP41	ME-ICP41	ME-ICP41	ME-ICP41	ME-ICP41	ME-ICP41	ME-ICP41	ME-ICP41	ME-ICP41	ME-ICP41	ME-ICP41	ME-ICP41
		Poids reçu kg	Au ppm	Ag ppm	Al %	As ppm	B ppm	Ba ppm	Be ppm	Bi ppm	Ca %	Cd ppm	Co ppm	Cr ppm	Cu ppm	Fe %
A0716731		1.52	<0.005	0.2	1.34	<2	<10	30	<0.5	<2	0.80	<0.5	26	62	144	3.74
A0716732		1.32	<0.005	<0.2	1.83	2	<10	20	<0.5	<2	1.85	<0.5	29	57	81	3.49
A0716733		1.69	<0.005	<0.2	2.32	2	<10	10	<0.5	5	2.50	<0.5	27	57	415	3.22
A0716734		2.09	<0.005	0.2	3.93	3	<10	10	<0.5	2	2.15	<0.5	32	79	135	10.25
A0716735		1.39	0.008	<0.2	1.51	<2	<10	20	<0.5	<2	1.58	<0.5	15	31	319	3.53
A0716736		1.87	0.005	<0.2	1.05	<2	<10	10	<0.5	<2	1.42	<0.5	13	11	77	2.18
A0716737		3.09	0.009	<0.2	1.48	<2	<10	40	<0.5	<2	1.88	<0.5	30	48	397	4.60
A0716738		1.48	0.005	0.2	1.38	2	<10	80	<0.5	<2	1.46	<0.5	12	44	57	4.16
A0716739		1.89	<0.005	<0.2	2.17	<2	<10	20	<0.5	<2	2.21	<0.5	25	74	144	3.14
A0716740		1.83	<0.005	<0.2	1.46	<2	<10	10	<0.5	<2	1.05	<0.5	13	85	134	5.72
A0716741		1.94	<0.005	0.3	1.54	2	<10	10	<0.5	<2	1.07	<0.5	18	108	99	4.12
A0716742		1.87	0.005	<0.2	2.12	5	<10	30	<0.5	<2	2.55	<0.5	27	71	45	5.22
A0716743		1.27	0.015	0.6	1.12	2	<10	10	<0.5	<2	1.42	<0.5	67	25	635	5.67
A0716744		2.21	0.013	0.5	1.92	79	<10	10	<0.5	<2	0.16	<0.5	22	93	114	9.96
A0716745		2.15	0.007	0.4	0.55	2	<10	<10	<0.5	<2	0.71	<0.5	2	16	20	3.56
A0716746		1.70	0.006	0.3	1.00	<2	<10	40	<0.5	<2	0.80	<0.5	30	52	89	4.82
A0716747		1.80	<0.005	0.2	0.95	<2	<10	70	<0.5	2	0.94	<0.5	22	62	60	3.18
A0716748		1.54	<0.005	<0.2	0.99	2	<10	30	<0.5	<2	1.12	<0.5	18	21	79	2.40
A0716749		1.92	0.014	0.2	0.55	2	<10	60	<0.5	2	0.45	<0.5	25	53	53	3.51
A0716750		1.24	0.005	0.3	2.06	2	<10	10	<0.5	<2	0.89	<0.5	13	60	239	7.50
A0716751		1.35	0.006	<0.2	2.60	<2	<10	40	<0.5	<2	2.25	<0.5	22	58	87	5.82
A0716752		1.11	0.007	<0.2	1.33	2	<10	20	<0.5	<2	0.82	<0.5	14	59	139	3.70
A0716753		1.70	0.014	0.3	1.25	2	<10	10	<0.5	2	1.35	<0.5	64	45	527	5.83
A0716754		1.40	<0.005	<0.2	1.47	<2	<10	30	<0.5	<2	1.36	<0.5	11	40	87	3.41
A0716755		1.53	0.010	0.4	1.38	2	<10	<10	<0.5	<2	1.00	<0.5	61	69	956	8.38
A0716756		1.53	<0.005	<0.2	2.33	<2	<10	30	<0.5	<2	1.56	<0.5	18	43	68	5.09
A0716757		1.26	0.006	<0.2	2.30	<2	<10	<10	<0.5	<2	1.03	<0.5	24	103	50	4.90
A0716758		1.38	0.007	<0.2	0.38	<2	<10	<10	<0.5	<2	0.39	<0.5	9	19	111	1.13
A0716759		1.55	<0.005	<0.2	2.15	<2	<10	20	<0.5	<2	1.34	<0.5	22	110	1	3.52
A0716760		1.45	0.009	0.3	1.29	<2	<10	30	<0.5	<2	0.91	<0.5	38	59	291	5.13
A0716761		1.56	<0.005	<0.2	0.48	<2	<10	30	<0.5	<2	0.87	<0.5	15	20	58	2.22
A0716762		1.45	0.005	0.2	1.08	<2	<10	30	<0.5	<2	1.44	<0.5	29	2	142	4.73
A0716763		1.69	0.006	<0.2	1.27	<2	<10	30	<0.5	<2	1.57	<0.5	34	3	142	4.96
A0716764		1.60	0.013	0.3	1.28	<2	<10	20	<0.5	<2	1.34	<0.5	17	18	154	5.10
A0716765		1.80	0.005	<0.2	1.20	<2	<10	170	<0.5	2	0.81	<0.5	15	60	50	2.52
A0716766		1.68	0.005	<0.2	0.25	2	<10	<10	<0.5	<2	0.50	<0.5	10	4	230	3.01
A0716767		1.58	<0.005	0.3	3.09	3	<10	60	<0.5	2	1.42	<0.5	27	298	476	7.31
A0716768		1.35	0.005	<0.2	1.87	<2	<10	10	<0.5	<2	2.13	<0.5	31	44	199	3.25
A0716769		1.26	0.009	0.2	0.36	7	<10	30	<0.5	2	0.28	<0.5	24	16	390	1.78
A0716770		2.12	0.006	<0.2	1.32	<2	<10	<10	<0.5	<2	0.64	<0.5	5	19	365	4.87



ALS Canada Ltd.  
 2103 Dollarton Hwy  
 North Vancouver BC V7H 0A7  
 Téléphone: +1 (604) 984 0221 Télécopieur: +1 (604) 984 0218  
 www.alsglobal.com/geochemistry

À: CORPORATION MÉTAUX PRÉCIEUX DU  
 QUÉBEC  
 1080, CÔTE DU BEAVER HALL  
 SUITE 2101  
 MONTRÉAL QC H2Z 1S8

Page: 4 - B  
 Nombre total de pages: 5 (A - C)  
 plus les pages d'annexe  
 Finalisée date: 9-DEC-2019  
 Compte: QPMCORP

Projet: OPINACA

**CERTIFICAT D'ANALYSE VO19292313**

Description échantillon	Méthode élément unités LDI	ME-ICP41	ME-ICP41	ME-ICP41	ME-ICP41	ME-ICP41	ME-ICP41	ME-ICP41	ME-ICP41	ME-ICP41	ME-ICP41	ME-ICP41	ME-ICP41	ME-ICP41	ME-ICP41	
		Ga ppm 10	Hg ppm 1	K % 0.01	La ppm 10	Mg % 0.01	Mn ppm 5	Mo ppm 1	Na % 0.01	Ni ppm 1	P ppm 10	Pb ppm 2	S % 0.01	Sb ppm 2	Sc ppm 1	Sr ppm 1
A0716731		<10	<1	0.29	10	0.95	223	1	0.07	32	1420	6	1.35	<2	2	33
A0716732		<10	<1	0.11	<10	0.57	384	1	0.24	49	300	2	0.48	<2	8	22
A0716733		<10	<1	0.02	<10	0.71	538	72	0.06	58	280	<2	0.28	<2	9	38
A0716734		10	<1	0.18	<10	1.86	2140	1	0.18	72	270	<2	0.35	<2	14	5
A0716735		<10	<1	0.09	<10	0.59	659	1	0.12	25	360	2	0.22	<2	7	18
A0716736		<10	1	0.05	<10	0.62	281	<1	0.12	12	240	<2	0.07	<2	9	9
A0716737		<10	<1	0.08	<10	0.66	968	<1	0.11	58	240	<2	1.04	<2	8	14
A0716738		<10	<1	0.15	10	0.87	774	1	0.15	27	850	<2	0.15	<2	6	13
A0716739		10	<1	0.11	<10	0.78	548	<1	0.12	73	250	2	0.27	<2	10	34
A0716740		10	1	0.08	<10	0.89	854	1	0.09	49	510	<2	2.13	<2	5	10
A0716741		10	<1	0.08	<10	0.66	853	2	0.07	61	270	<2	1.12	<2	9	5
A0716742		10	1	0.11	<10	0.71	1650	1	0.13	83	260	<2	0.85	<2	9	9
A0716743		<10	<1	0.06	<10	0.59	608	6	0.11	45	230	<2	2.69	<2	6	9
A0716744		10	<1	0.11	<10	1.15	834	2	0.03	38	400	17	5.01	<2	9	9
A0716745		<10	<1	0.08	<10	0.28	746	1	0.05	3	320	6	0.48	<2	1	17
A0716746		10	1	0.09	60	0.62	269	7	0.08	47	1030	39	2.34	<2	5	58
A0716747		<10	<1	0.33	40	0.64	309	1	0.10	31	1320	6	1.23	<2	7	59
A0716748		<10	<1	0.11	30	0.24	177	1	0.09	20	1050	6	1.07	<2	3	77
A0716749		<10	<1	0.27	20	0.33	118	1	0.09	23	870	8	2.37	<2	14	44
A0716750		10	<1	0.09	<10	1.06	709	1	0.07	17	310	4	1.11	<2	9	22
A0716751		10	<1	0.29	10	1.29	1215	1	0.14	70	950	2	0.63	<2	6	17
A0716752		10	<1	0.09	10	0.89	341	1	0.09	24	880	3	0.46	<2	4	11
A0716753		<10	<1	0.07	<10	0.62	620	1	0.13	105	390	2	2.62	<2	6	9
A0716754		10	<1	0.16	10	0.66	520	<1	0.14	29	700	4	0.47	<2	6	18
A0716755		<10	<1	0.04	<10	0.58	696	1	0.04	123	150	10	5.83	<2	5	12
A0716756		10	<1	0.20	20	1.25	1010	1	0.11	46	1130	2	0.12	<2	7	27
A0716757		10	<1	0.01	20	1.85	648	2	0.06	75	1390	2	0.14	<2	4	11
A0716758		<10	<1	0.03	<10	0.13	153	17	0.04	9	70	<2	0.25	<2	1	11
A0716759		10	<1	0.08	10	1.70	502	1	0.07	84	1030	2	<0.01	<2	5	27
A0716760		<10	<1	0.14	<10	0.45	337	7	0.12	100	360	4	3.06	<2	4	18
A0716761		<10	<1	0.07	20	0.26	148	2	0.09	15	1310	4	1.13	<2	2	44
A0716762		10	<1	0.10	10	0.46	912	<1	0.11	13	820	10	1.53	2	9	12
A0716763		10	<1	0.11	10	0.66	953	<1	0.14	17	780	7	1.48	<2	11	8
A0716764		10	<1	0.12	<10	0.81	825	<1	0.13	15	370	2	0.49	<2	10	19
A0716765		10	<1	0.50	50	0.81	361	1	0.12	23	990	10	0.69	<2	4	47
A0716766		<10	<1	0.03	<10	0.18	906	<1	0.02	7	180	<2	0.89	<2	1	3
A0716767		10	<1	0.13	<10	1.01	750	1	0.12	68	260	2	2.84	<2	10	35
A0716768		<10	<1	0.06	<10	0.57	504	2	0.18	52	370	2	0.86	<2	8	55
A0716769		<10	<1	0.03	<10	0.10	100	2	0.02	24	130	4	0.99	<2	2	5
A0716770		10	<1	0.02	<10	0.45	866	1	0.01	7	220	2	0.65	<2	2	5





ALS Canada Ltd.  
 2103 Dollarton Hwy  
 North Vancouver BC V7H 0A7  
 Téléphone: +1 (604) 984 0221 Télécopieur: +1 (604) 984 0218  
 www.alsglobal.com/geochemistry

À: CORPORATION MÉTAUX PRÉCIEUX DU  
 QUÉBEC  
 1080, CÔTE DU BEAVER HALL  
 SUITE 2101  
 MONTRÉAL QC H2Z 1S8

Page: 4 - C  
 Nombre total de pages: 5 (A - C)  
 plus les pages d'annexe  
 Finalisée date: 9-DEC-2019  
 Compte: QPMCORP

Projet: OPINACA

**CERTIFICAT D'ANALYSE VO19292313**

Description échantillon	Méthode élément unités LDI	ME-ICP41	ME-ICP41	ME-ICP41	ME-ICP41	ME-ICP41	ME-ICP41
		Th	Ti	Tl	V	W	Zn
		ppm	%	ppm	ppm	ppm	ppm
A0716731		<20	0.16	<10	66	<10	26
A0716732		<20	0.19	<10	93	<10	25
A0716733		<20	0.30	<10	92	<10	28
A0716734		<20	0.33	<10	135	<10	73
A0716735		<20	0.17	<10	62	<10	22
A0716736		<20	0.24	10	72	<10	16
A0716737		<20	0.14	<10	54	<10	21
A0716738		<20	0.16	<10	43	<10	25
A0716739		<20	0.22	<10	85	<10	33
A0716740		<20	0.26	<10	62	<10	49
A0716741		<20	0.20	<10	100	<10	33
A0716742		<20	0.18	<10	78	<10	38
A0716743		<20	0.14	<10	49	20	22
A0716744		<20	0.13	<10	78	<10	155
A0716745		<20	0.03	<10	12	<10	70
A0716746		<20	0.22	<10	113	<10	81
A0716747		<20	0.19	<10	81	<10	42
A0716748		<20	0.11	<10	41	<10	24
A0716749		<20	0.27	<10	119	<10	24
A0716750		<20	0.16	<10	102	<10	62
A0716751		<20	0.24	<10	52	<10	68
A0716752		<20	0.22	<10	55	<10	24
A0716753		<20	0.12	<10	47	<10	25
A0716754		<20	0.17	<10	47	<10	31
A0716755		<20	0.11	<10	61	<10	14
A0716756		<20	0.20	<10	73	<10	45
A0716757		<20	0.36	<10	82	<10	55
A0716758		<20	0.04	<10	14	<10	8
A0716759		<20	0.28	<10	73	<10	49
A0716760		<20	0.19	<10	47	<10	45
A0716761		<20	0.16	<10	31	<10	14
A0716762		<20	0.31	<10	65	<10	47
A0716763		<20	0.29	<10	101	<10	29
A0716764		<20	0.23	<10	84	<10	23
A0716765		<20	0.23	<10	85	<10	48
A0716766		<20	0.01	<10	7	<10	35
A0716767		<20	0.14	<10	102	<10	77
A0716768		<20	0.29	<10	64	<10	75
A0716769		<20	0.06	<10	12	<10	13
A0716770		<20	0.02	<10	21	<10	20



ALS Canada Ltd.  
 2103 Dollarton Hwy  
 North Vancouver BC V7H 0A7  
 Téléphone: +1 (604) 984 0221 Télécopieur: +1 (604) 984 0218  
 www.alsglobal.com/geochemistry

À: CORPORATION MÉTAUX PRÉCIEUX DU  
 QUÉBEC  
 1080, CÔTE DU BEAVER HALL  
 SUITE 2101  
 MONTRÉAL QC H2Z 1S8

Page: 5 - A  
 Nombre total de pages: 5 (A - C)  
 plus les pages d'annexe  
 Finalisée date: 9-DEC-2019  
 Compte: QPMCORP

Projet: OPINACA

**CERTIFICAT D'ANALYSE VO19292313**

Description échantillon	Méthode élément unités LDI	WEI-21	Au-AA23	ME-ICP41	ME-ICP41	ME-ICP41	ME-ICP41	ME-ICP41	ME-ICP41	ME-ICP41	ME-ICP41	ME-ICP41	ME-ICP41	ME-ICP41	ME-ICP41	ME-ICP41
		Poids reçu kg	Au ppm	Ag ppm	Al %	As ppm	B ppm	Ba ppm	Be ppm	Bi ppm	Ca %	Cd ppm	Co ppm	Cr ppm	Cu ppm	Fe %
		0.02	0.005	0.2	0.01	2	10	10	0.5	2	0.01	0.5	1	1	1	0.01
A0716771		0.61	0.022	0.3	0.71	<2	<10	10	<0.5	<2	0.43	<0.5	44	71	312	5.30
A0716772		1.38	<0.005	<0.2	1.90	<2	<10	40	<0.5	<2	1.75	<0.5	9	28	29	3.96
A0716773		1.48	0.006	0.6	2.24	2	<10	20	2.1	<2	1.81	<0.5	18	81	1190	4.59
A0716774		1.24	<0.005	<0.2	0.02	<2	<10	<10	<0.5	<2	0.27	<0.5	1	6	16	1.77
A0716775		1.16	0.009	0.5	1.59	<2	<10	10	<0.5	3	1.64	<0.5	78	56	850	9.19
A0716776		1.07	0.005	<0.2	1.86	<2	<10	10	2.2	5	2.03	<0.5	36	53	346	3.75
A0716777		1.24	0.106	0.3	1.12	<2	<10	20	<0.5	<2	0.44	1.7	16	34	207	4.44
A0716778		1.51	0.009	0.2	0.64	<2	<10	10	<0.5	<2	0.54	<0.5	30	49	59	4.20
A0716779		1.22	0.013	0.3	0.36	<2	<10	10	<0.5	<2	0.40	<0.5	28	34	134	4.13
A0716780		2.03	0.006	<0.2	2.64	<2	<10	30	<0.5	<2	2.29	<0.5	37	105	134	3.39
A0716781		1.21	0.011	0.2	1.04	<2	<10	10	<0.5	<2	1.19	<0.5	40	37	186	3.94
A0716782		1.54	0.014	<0.2	2.36	2	<10	30	1.0	<2	2.55	<0.5	29	46	23	3.70
A0716783		1.64	0.011	<0.2	5.24	64	<10	160	0.5	<2	2.98	<0.5	29	117	34	4.44
A0716784		1.65	0.005	0.2	1.00	<2	<10	10	<0.5	<2	1.03	<0.5	21	88	84	4.13
A0716785		1.59	0.014	0.3	2.00	<2	<10	10	<0.5	<2	2.10	<0.5	22	48	87	3.69
A0716786		1.07	0.030	0.5	1.11	<2	<10	10	0.7	3	1.23	<0.5	21	48	51	8.87
A0716787		2.06	0.040	0.3	1.29	2	<10	10	0.7	<2	1.29	0.5	28	40	76	8.58
A0716788		1.73	0.009	0.4	0.70	<2	<10	10	<0.5	2	0.88	<0.5	26	40	91	4.12
A0716789		2.32	0.006	0.2	3.57	<2	<10	20	<0.5	<2	3.03	<0.5	25	46	62	4.31
A0716790		1.67	0.006	0.2	1.49	4	<10	20	<0.5	<2	0.60	<0.5	23	131	47	5.08
A0716791		1.23	0.006	<0.2	1.35	2	<10	30	<0.5	<2	1.27	<0.5	30	18	256	3.81
A0716792		1.86	0.037	0.8	1.55	<2	<10	10	<0.5	2	1.40	<0.5	46	20	356	5.59
A0716793		1.89	0.017	0.3	1.36	<2	<10	90	<0.5	2	1.53	<0.5	5	18	64	3.95
A0716794		1.77	0.010	0.4	0.84	<2	<10	10	<0.5	<2	1.11	<0.5	50	11	255	2.73
A0716795		2.67	0.348	0.4	1.42	<2	<10	10	<0.5	2	1.91	<0.5	30	15	171	4.68
A0716796		2.84	0.020	0.7	1.59	2	<10	10	<0.5	<2	1.80	<0.5	42	15	416	6.17
A0716797		1.75	0.005	0.3	3.00	<2	<10	40	<0.5	<2	1.29	<0.5	36	28	195	7.76
A0716798		1.92	0.009	<0.2	1.67	<2	<10	120	<0.5	2	1.38	<0.5	35	23	152	3.94
A0716799		1.86	0.035	<0.2	1.36	2	<10	60	<0.5	2	1.28	<0.5	21	14	94	4.86
A0716800		1.71	0.010	<0.2	5.15	2	<10	190	<0.5	<2	1.75	<0.5	31	140	67	7.83
A0716801		1.52	<0.005	<0.2	6.83	<2	<10	50	0.8	<2	3.44	<0.5	28	46	154	8.19
A0716802		1.60	0.011	<0.2	2.18	2	<10	30	<0.5	<2	2.15	<0.5	31	36	72	5.44
A0716803		4.07	0.026	0.2	1.15	<2	<10	20	<0.5	2	1.74	<0.5	31	19	375	6.49
A0716804		1.26	0.013	0.2	2.60	<2	<10	10	<0.5	2	2.24	<0.5	32	31	312	7.99
A0716805		1.41	0.011	<0.2	2.86	<2	<10	80	<0.5	<2	1.40	<0.5	41	85	108	6.84





ALS Canada Ltd.

2103 Dollarton Hwy  
 North Vancouver BC V7H 0A7  
 Téléphone: +1 (604) 984 0221 Télécopieur: +1 (604) 984 0218  
 www.alsglobal.com/geochemistry

À: CORPORATION MÉTAUX PRÉCIEUX DU  
 QUÉBEC  
 1080, CÔTE DU BEAVER HALL  
 SUITE 2101  
 MONTRÉAL QC H2Z 1S8

Page: 5 - B  
 Nombre total de pages: 5 (A - C)  
 plus les pages d'annexe  
 Finalisée date: 9-DEC-2019  
 Compte: QPMCORP

Projet: OPINACA

**CERTIFICAT D'ANALYSE VO19292313**

Description échantillon	Méthode élément unités LDI	ME-ICP41	ME-ICP41	ME-ICP41	ME-ICP41	ME-ICP41	ME-ICP41	ME-ICP41	ME-ICP41	ME-ICP41	ME-ICP41	ME-ICP41	ME-ICP41	ME-ICP41	ME-ICP41	
		Ga ppm 10	Hg ppm 1	K % 0.01	La ppm 10	Mg % 0.01	Mn ppm 5	Mo ppm 1	Na % 0.01	Ni ppm 1	P ppm 10	Pb ppm 2	S % 0.01	Sb ppm 2	Sc ppm 1	Sr ppm 1
A0716771		<10	<1	0.01	<10	0.10	131	4	0.06	70	100	4	2.56	<2	5	17
A0716772		10	1	0.13	<10	0.95	1105	1	0.16	12	500	<2	0.09	<2	9	30
A0716773		10	<1	0.09	10	1.04	596	<1	0.07	53	350	<2	0.77	<2	7	22
A0716774		<10	<1	<0.01	<10	0.08	60	<1	<0.01	3	870	<2	1.16	<2	<1	15
A0716775		10	<1	0.21	10	0.94	788	59	0.15	102	420	4	3.84	<2	10	13
A0716776		<10	<1	0.09	<10	0.73	428	5	0.09	63	280	2	0.66	<2	9	13
A0716777		10	<1	0.14	10	0.50	492	2	0.04	26	590	5	2.35	<2	7	7
A0716778		<10	<1	0.07	<10	0.40	265	1	0.06	52	290	11	2.20	<2	4	6
A0716779		<10	<1	0.04	10	0.13	118	2	0.05	47	430	2	3.24	<2	2	6
A0716780		<10	<1	0.31	<10	1.16	325	5	0.13	130	180	<2	0.75	<2	8	51
A0716781		<10	<1	0.05	<10	0.34	387	<1	0.10	78	410	3	1.72	<2	5	23
A0716782		10	<1	0.15	<10	0.25	238	<1	0.12	46	220	7	2.24	2	4	28
A0716783		10	<1	0.44	<10	1.07	346	1	0.51	53	220	2	2.13	<2	3	144
A0716784		<10	<1	0.09	<10	0.61	468	1	0.10	44	350	4	1.80	<2	6	11
A0716785		10	<1	0.13	10	0.38	303	1	0.04	45	280	7	2.18	<2	4	6
A0716786		10	<1	0.05	20	0.19	258	4	0.03	57	600	27	6.45	<2	4	8
A0716787		<10	<1	0.08	10	0.26	314	3	0.05	65	600	22	6.86	<2	3	17
A0716788		<10	<1	0.08	10	0.33	368	<1	0.08	41	320	2	1.99	<2	4	31
A0716789		10	<1	0.12	<10	0.31	247	<1	0.14	78	270	2	2.04	<2	3	58
A0716790		<10	<1	0.08	<10	1.24	325	1	0.03	42	190	<2	2.00	<2	2	8
A0716791		<10	<1	0.07	<10	0.51	519	<1	0.05	60	340	<2	1.17	<2	7	15
A0716792		<10	<1	0.05	<10	0.63	866	<1	0.15	47	370	2	1.55	<2	10	13
A0716793		<10	<1	0.11	<10	0.64	726	<1	0.16	6	350	<2	0.06	<2	10	14
A0716794		<10	<1	0.04	<10	0.42	349	1	0.09	26	270	2	0.72	<2	6	14
A0716795		<10	<1	0.04	<10	0.63	823	<1	0.12	39	340	<2	0.97	<2	8	8
A0716796		<10	<1	0.06	<10	0.66	831	<1	0.11	42	300	<2	2.21	<2	7	10
A0716797		10	<1	0.05	<10	1.70	1255	<1	0.10	44	330	<2	0.67	<2	8	11
A0716798		<10	<1	0.10	<10	0.57	585	<1	0.09	41	360	<2	0.72	2	9	42
A0716799		<10	<1	0.04	<10	0.56	1340	<1	0.08	34	290	<2	0.63	<2	7	4
A0716800		20	<1	1.99	<10	2.34	991	1	0.18	58	280	<2	1.74	2	10	27
A0716801		20	1	1.35	10	1.68	546	1	0.23	46	470	<2	2.60	<2	8	69
A0716802		10	<1	0.11	<10	0.57	377	<1	0.03	51	200	3	2.36	<2	6	9
A0716803		<10	<1	0.10	<10	0.60	860	<1	0.10	49	330	<2	2.51	<2	9	14
A0716804		10	<1	0.11	<10	1.11	1125	<1	0.10	39	350	2	1.51	<2	10	13
A0716805		10	<1	0.56	<10	1.19	596	<1	0.17	58	290	<2	2.67	<2	5	15



ALS Canada Ltd.  
 2103 Dollarton Hwy  
 North Vancouver BC V7H 0A7  
 Téléphone: +1 (604) 984 0221 Télécopieur: +1 (604) 984 0218  
 www.alsglobal.com/geochemistry

À: CORPORATION MÉTAUX PRÉCIEUX DU  
 QUÉBEC  
 1080, CÔTE DU BEAVER HALL  
 SUITE 2101  
 MONTRÉAL QC H2Z 1S8

Page: 5 - C  
 Nombre total de pages: 5 (A - C)  
 plus les pages d'annexe  
 Finalisée date: 9-DEC-2019  
 Compte: QPMCORP

Projet: OPINACA

**CERTIFICAT D'ANALYSE VO19292313**

Description échantillon	Méthode élément unités LDI	ME-ICP41	ME-ICP41	ME-ICP41	ME-ICP41	ME-ICP41	ME-ICP41
		Th	Ti	Tl	V	W	Zn
		ppm	%	ppm	ppm	ppm	ppm
		20	0.01	10	1	10	2
A0716771		<20	0.09	<10	20	<10	20
A0716772		<20	0.22	<10	81	<10	39
A0716773		<20	0.14	<10	85	<10	59
A0716774		<20	<0.01	<10	1	<10	3
A0716775		<20	0.21	<10	122	<10	80
A0716776		<20	0.24	<10	94	<10	43
A0716777		<20	0.15	<10	66	<10	238
A0716778		<20	0.18	<10	58	<10	59
A0716779		<20	0.12	<10	25	<10	11
A0716780		<20	0.18	<10	72	<10	36
A0716781		<20	0.22	<10	49	<10	17
A0716782		<20	0.12	<10	36	<10	33
A0716783		<20	0.09	<10	78	<10	32
A0716784		<20	0.13	<10	58	<10	42
A0716785		<20	0.10	<10	37	<10	39
A0716786		<20	0.11	<10	27	<10	59
A0716787		<20	0.11	<10	28	<10	224
A0716788		<20	0.10	<10	35	<10	17
A0716789		<20	0.09	<10	24	<10	12
A0716790		<20	0.13	<10	66	<10	33
A0716791		<20	0.16	<10	68	<10	38
A0716792		<20	0.12	<10	82	<10	83
A0716793		<20	0.22	<10	80	<10	32
A0716794		<20	0.16	<10	48	<10	18
A0716795		<20	0.14	<10	66	<10	29
A0716796		<20	0.15	<10	67	<10	30
A0716797		<20	0.20	<10	93	<10	74
A0716798		<20	0.17	<10	87	<10	33
A0716799		<20	0.10	<10	61	<10	29
A0716800		<20	0.32	<10	162	<10	203
A0716801		<20	0.36	<10	137	<10	117
A0716802		<20	0.12	<10	67	<10	62
A0716803		<20	0.17	<10	75	<10	32
A0716804		<20	0.21	<10	115	<10	54
A0716805		<20	0.23	<10	113	<10	57



ALS Canada Ltd.  
2103 Dollarton Hwy  
North Vancouver BC V7H 0A7  
Téléphone: +1 (604) 984 0221    Télécopieur: +1 (604) 984 0218  
www.alsglobal.com/geochemistry

À: CORPORATION MÉTAUX PRÉCIEUX DU  
QUÉBEC  
1080, CÔTE DU BEAVER HALL  
SUITE 2101  
MONTRÉAL QC H2Z 1S8

Page: Annexe 1  
Total # les pages d'annexe: 1  
Finalisée date: 9-DEC-2019  
Compte: QPMCORP

Projet: OPINACA

CERTIFICAT D'ANALYSE VO19292313

### COMMENTAIRE DE CERTIFICAT

#### ADRESSE DE LABORATOIRE

Applique à la Méthode:	Traité à ALS Val d'Or, 1324 Rue Turcotte, Val d'Or, QC, Canada.		
	Au-AA23	CRU-31	CRU-QC
	PUL-31	PUL-QC	SPL-21
			LOG-21
			WEI-21
Applique à la Méthode:	Traité à ALS Vancouver, 2103 Dollarton Hwy, North Vancouver, BC, Canada.		
	ME-ICP41		